

ÉTUDE D'IMPACT DU CHANGEMENT CLIMATIQUE SUR LA STATION DE LES 2 ALPES

Méthodologie et terminologie

Fiches stations









15 novembre 2021

Table des matières

1	$\mathbf{M}\mathbf{\acute{E}}$	THODOLOGIE ET TERMINOLOGIE
	1.1	Objectifs et enjeux de l'étude
	1.2	Projections climatiques
		Modélisation de l'enneigement
	1.4	Représentation des domaines skiables
	1.5	Indicateurs nivo-météorologiques
2	LES	S DEUX ALPES
		BAS-DES-PISTES
	2.2	CRETES-TOURA-FEE
	2.3	DIABLE
	2.4	GLACIER
	2.5	VALLEE-BLANCHE
	2.6	LES-DEUX-ALPES

1 MÉTHODOLOGIE ET TERMINOLOGIE

1.1 Objectifs et enjeux de l'étude

Le contexte et la problématique

Les territoires de montagne n'échappent pas à l'évolution climatique qui influe directement sur la durabilité de l'enneigement. Il importe d'en mesurer rigoureusement les valeurs afin d'en tirer les conséquences et d'adapter les stratégies touristiques des territoires et des stations.

- Quel sera à court et long terme le poids des activités liées directement à la neige dans les économies des massifs montagneux?
- Quelles orientations pour l'évolution des produits touristiques?
- Quel sera le prix du confortement des "activités neige"? Sur quel périmètre?
- Comment aborder des périodes de transition?

Autant de questions qui se posent, certes à des degrés divers, à l'ensemble des espaces valléens dont les économies et la vie sociale sont du ressort de l'enneigement, qu'il soit naturel ou de culture. Dans ce contexte, la Région Sud a souhaité s'engager dans une démarche visant à objectiver l'impact du changement climatique sur l'évolution de la couverture nivale de ses stations de ski, afin d'anticiper les contraintes qui semblent se dessiner pour l'avenir et d'adapter l'offre touristique à moyen et long terme.

La solution apportée

La méthodologie des études CLIMSNOW, développée par le consortium comprenant INRAE, Météo-France et Dianeige, permet de :

- quantifier les effets du changement climatique sur les évolutions attendues des principales variables nivo-météorologiques et sur la fiabilité de l'enneigement,
- comparer les conditions d'exploitation à l'horizon 2050, avec une prise en compte directe de la topographie et des techniques de gestion de la neige (damage, neige de culture),
- définir des éléments concrets permettant de guider les exploitants dans leurs choix d'investissement et leurs stratégies de diversification des activités touristiques.

Le principal résultat de cette approche est de quantifier, à diverses échéances, la fiabilité de l'enneigement (neige naturelle damée, avec/sans neige de culture), sa variabilité et la capacité de chaque station de ski à maintenir son exploitation selon quels efforts, selon quelles modalités et ce, à différentes échéances. Afin d'appréhender les effets du changement climatique sur les conditions d'enneigement des stations dans les prochaines décennies, CLIMSNOW utilise l'état de l'art des outils de la recherche scientifique (projections climatiques avec scénarios d'émissions de gaz à effet de serre, modélisation physique de l'évolution du manteau neigeux en intégrant le damage et la neige de culture, prise en compte de la topographie locale des stations). En sortie, une série d'indicateurs sont calculés et analysés : indice de fiabilité de l'enneigement, taux de retour des mauvaises saisons, durées d'enneigement. Pour la neige de culture, l'étude simule l'évolution future du potentiel de froid et les volumes d'eau à consommer.

1.2 Projections climatiques

Les projections climatiques dépendent des scénarios d'émissions de gaz à effet de serre (scénarios RCP). La chaine de modélisation de CLIMSNOW se sert des observations nivo-météorologiques et du réseau de mesures de Météo-France pour fournir un état historique et existant, à partir duquel l'évolution future est calculée, en exploitant les dernières projections climatiques du GIEC, pour permettre d'estimer les évolutions nivo-météorologiques à différentes échéances. Une méthode de descente d'échelle permet d'adapter les projections climatiques aux zones de montagne françaises.

1.3 Modélisation de l'enneigement

Pour la modélisation de la neige, CLIMSNOW se sert de la dernière version du modèle Crocus-Resort, développé par Météo-France, permettant de simuler l'évolution de la neige naturelle, les effets du damage (compactage et fraisage) et la production de neige de culture (en fonction de la période de la saison, du type d'enneigeur, de la température humide, de la vitesse du vent et de l'objectif de production).

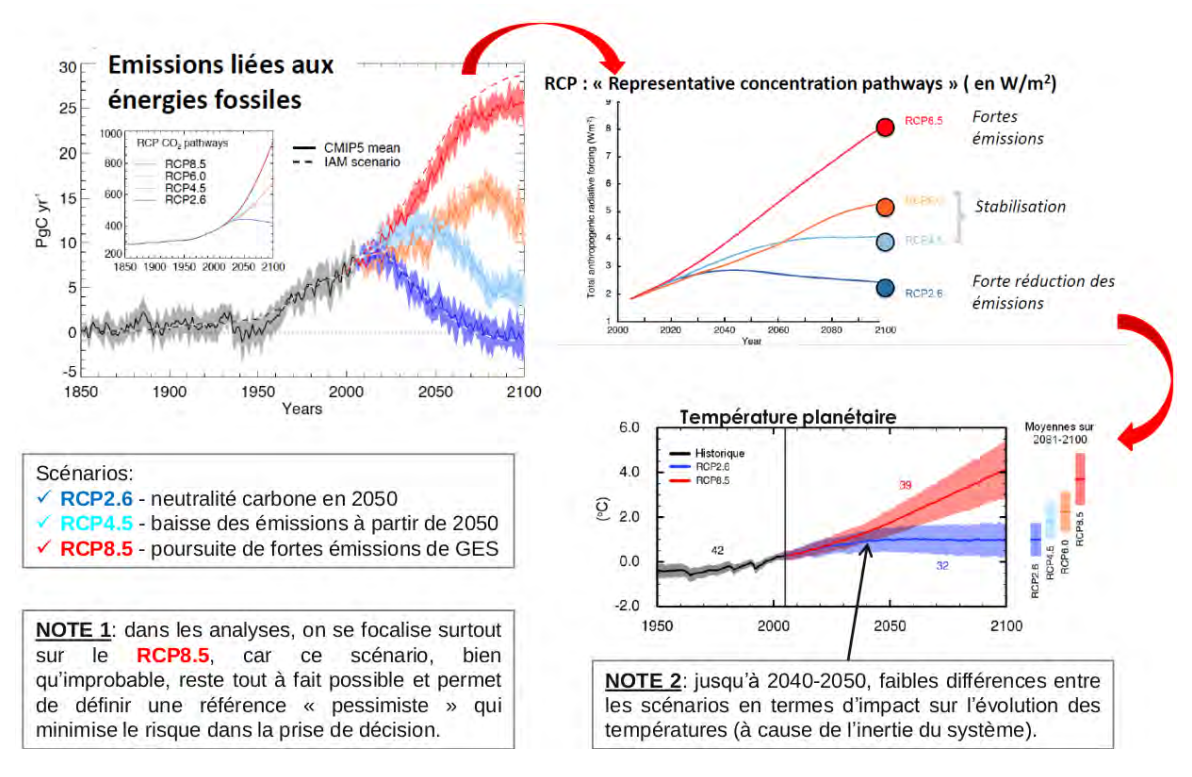


FIGURE 1 – Les projections climatiques dépendent des scénarios d'émissions de gaz à effet de serre.

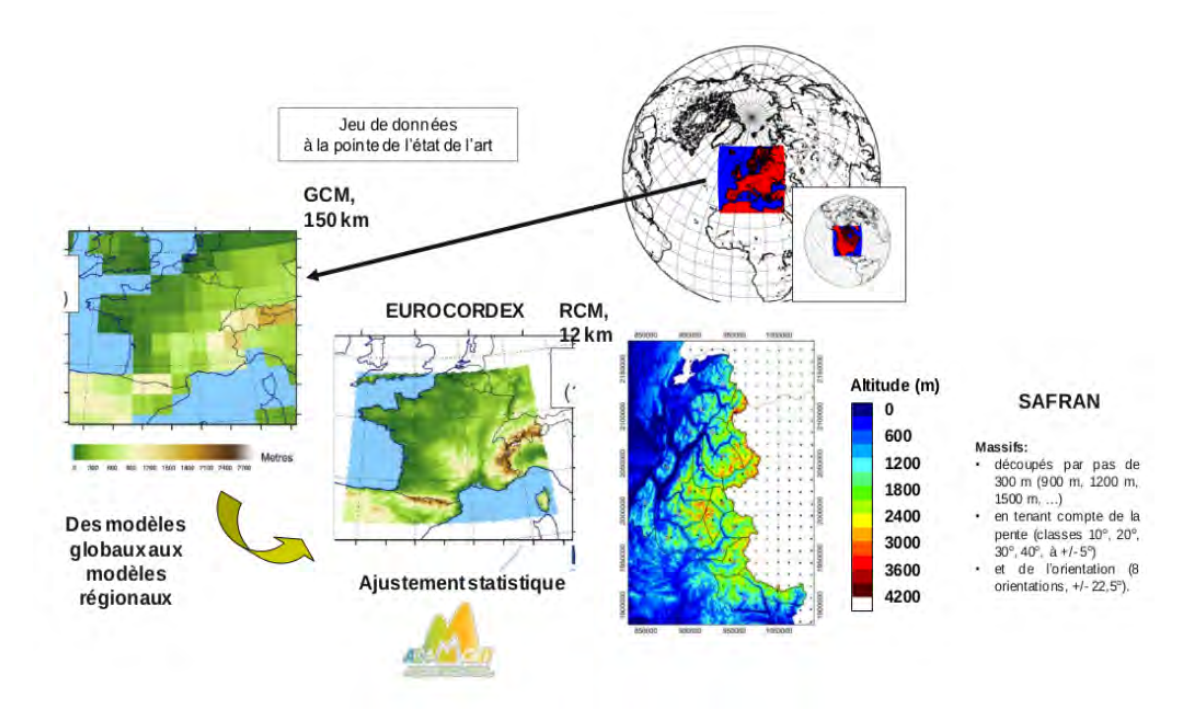


FIGURE 2 – Avec des niveaux de zoom progressifs, CLIMSNOW permet de passer des prévisions à grande échelle (qui couvrent toute la planète) à des prévisions locales (qui prennent en compte la topographie des stations de ski).

Paramétrisation de la neige de culture dans le modèle Crocus-Resort :

- Masse volumique de la neige de culture produite : 600 kg m⁻³
- Schéma de production de neige :
 - \bullet Production à partir du 01/11, sous contrainte des seuils de vent et de température humide, sans limite sur la disponibilité de la ressource en eau et avec des objectifs de production différents en fonction des périodes
 - \bullet Entre le 01/11 et le 15/12 : constitution d'une sous-couche avec une phase de production correspondant à 150 kg m $^{-2}$ d'eau convertie en neige de culture, soit 15 cm de neige de culture à 600 kg m $^{-3}$ en tenant compte de 40% de pertes d'eau
 - \bullet Entre le 15/12 et le 31/03 : production dès lors que l'épaisseur de neige devient inférieure à 60 cm, et ce jusqu'au 31/03
 - A partir du 31/03 : plus de production
- Seuil de vitesse du vent pour la production : 4,2 m/s (environ 15 km/h)
- Seuil de température humide : inférieur ou égal -2°C pour les mono-fluides et -6°C pour les bi-fluides

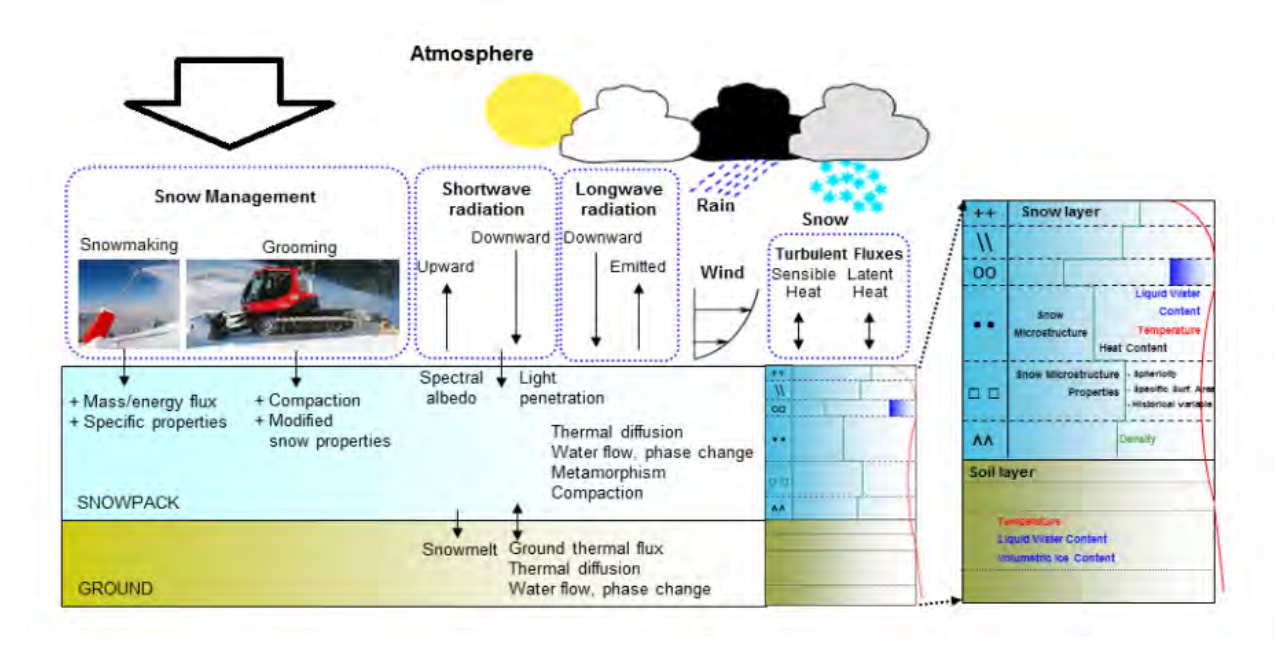


FIGURE 3 – Schéma du modèle de neige Crocus-Resort, intégrant la prise en compte de la neige de culture et du damage.

1.4 Représentation des domaines skiables

CLIMSNOW intègre les données cartographiques de chaque station, incluant le récolement des remontées mécaniques, les tracés de pistes et le réseau de neige de culture. Cette intégration se fait en plusieurs étapes :

- collecte de données auprès des opérateurs (remontées mécaniques, pistes, neige de culture),
- modélisation des enveloppes gravitaires (ensemble des points accessibles depuis le sommet des remontées mécaniques permettant de rejoindre le pied d'un appareil dans la même station),
- modélisation explicite de la couverture en neige de culture.

La chaine de modélisation permet de simuler l'évolution des variables nivo-météorologiques de façon très locale au sein d'un domaine skiable, avec la prise en compte des différentes altitudes, orientations et pentes. La représentation spatiale se fait par bandes verticales de 300 m (900 m, 1200 m, 1500 m etc.), avec 8 orientations par rapport au nord et 5 classes de pentes (de 0° à 40°).

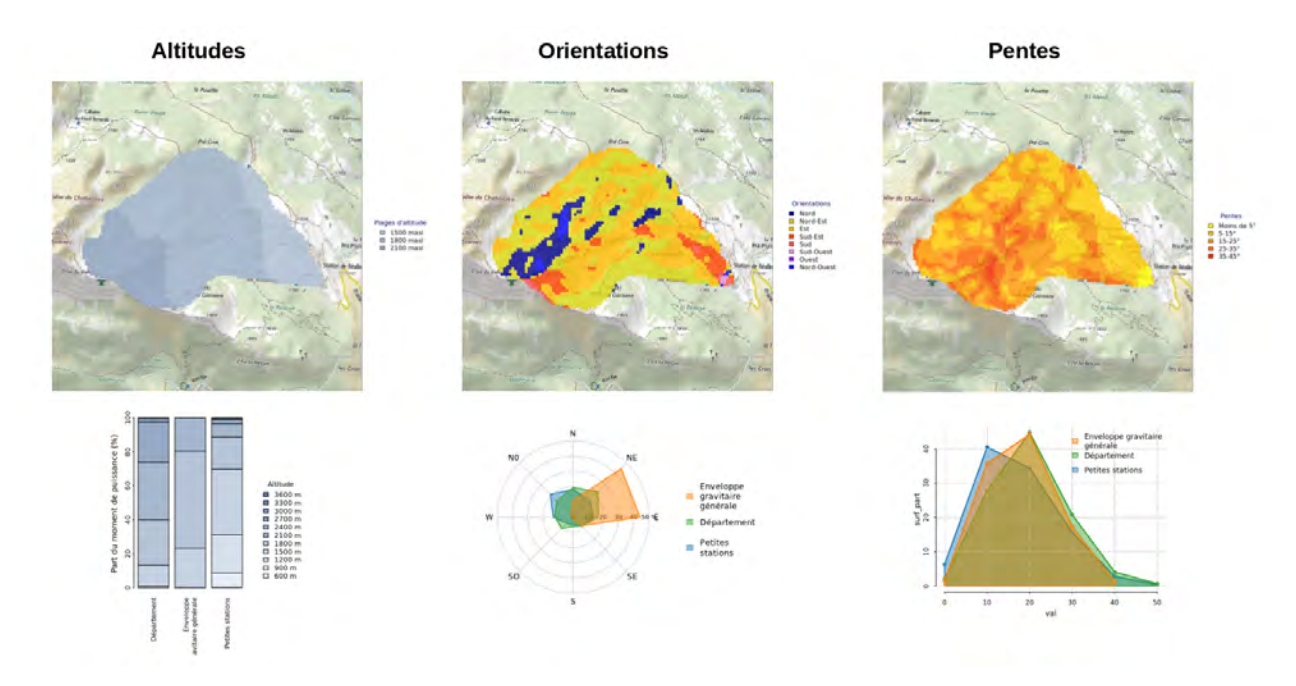


FIGURE 4 – Découpage d'une station de ski en fonction de ses altitudes, ses orientations et ses pentes. Cette approche permet de définir les zones sur lesquelles les simulations de l'enneigement sont lancées.

1.5 Indicateurs nivo-météorologiques

Dans CLIMSNOW, une série d'indicateurs permettent d'évaluer les effets du changement climatique sur les conditions nivo-météorologiques locales. Ces indicateurs sont fournis pour la période historique (depuis 1959) et pour la période future (jusqu'à 2100).

Indice de fiabilité de l'enneigement

Il représente la variabilité de l'enneigement sur les pistes et caractérise la fraction de surface de domaine skiable (entre 0% et 100%) disposant d'une quantité suffisante de neige pour la pratique du ski (20 cm de neige damée). Pour obtenir une valeur annuelle, les valeurs quotidiennes sont d'abord agrégées à l'échelle de la station en pondérant le poids de chaque secteur en fonction du moment de puissance des remontées mécaniques associées, et ensuite moyennées au cours de la période de vacances de fin d'année (du 20 décembre au 5 janvier, 15% du poids) et d'hiver (du 5 février au 5 mars, 85% du poids). Par défaut, cet indicateur est calculé en considérant un manteau neigeux constitué de neige naturelle damée. Pour les stations qui disposent d'un réseau de neige de culture, un deuxième indicateur est calculé en prenant en compte la production de neige de culture sur les secteurs concernés. A partir de l'indice de fiabilité de l'enneigement calculé pour chaque saison du passé, il est possible d'identifier les conditions d'enneigement correspondant aux "mauvaises saisons" (niveau typique d'enneigement défavorable rencontré une année sur cinq). Ce paramètre, appelé Q20, identifie le pourcentage d'un domaine skiable qui a pu être ouvert aux clients lors des conditions les plus défavorables rencontrées dans le passé.

Taux de retour des mauvaises saisons

Cet indicateur montre la fréquence de retour des hivers défavorables en termes d'enneigement, tels qu'ils sont définis par le Q20 sur la période historique. Par exemple, si le taux de retour en 2100 est égale à 100%, cela signifie que les conditions défavorables qui dans le passé ne se présentaient qu'une année sur 5 (20%) seront rencontrées toutes les années (100%) à la fin du siècle.

Fenêtres de froid

Nombre d'heures pendant lesquelles la température humide (paramètre clé pour la production de neige de culture) est inférieure à un certain seuil. Cet indicateur est calculé pour l'altitude la plus basse du domaine skiable et pour différentes périodes de la saison. Les plages de température humide considérées sont les suivantes : entre -1°C et -4°C, entre -4°C et -6°C et inférieures à -6°C.

Consommation en eau pour la production de neige de culture

Cet indicateur montre les volumes d'eau qu'il sera nécessaire de consommer sur les secteurs équipés en neige de culture, afin de faire face au manque de neige naturelle.

Durée d'enneigement

Nombre de jours où l'épaisseur de neige dépasse un certain seuil (20 cm de neige damée), en fonction de l'horizon temporel, de la présence de neige de culture et des scénarios d'émissions de gaz à effet de serre.

2 LES DEUX ALPES

2.1 BAS-DES-PISTES

2.1.1 Caractéristiques du domaine : RM, pistes, neige de culture

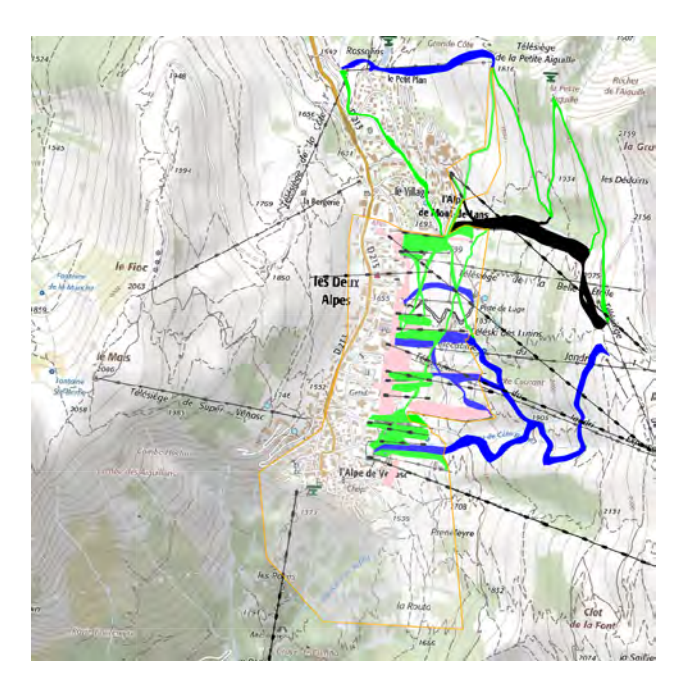




FIGURE 5 – A gauche : carte du domaine, avec ses remontées mécaniques et ses pistes (les couleurs correspondent aux niveaux de difficulté). A droite : zones couvertes par la neige de culture (comprenant les projets futurs en bleu clair).

2.1.2 Indice de fiabilité de l'enneigement

L'indice de fiabilité de l'enneigement est calculé chaque année pour l'ensemble du domaine skiable. Il traduit les conditions d'exploitation, en prenant en compte les caractéristiques topographiques des pistes et la répartition des remontées mécaniques en fonction de l'altitude. Cet indicateur peut être interprété comme la part du domaine skiable exploitable (entre 0% et 100%) et dépend donc non seulement du scénario d'émission de gaz à effet de serre, mais aussi des équipements de la station et des techniques de gestion de la neige (damage, production de neige de culture).

Les graphiques représentent l'évolution de l'indice de fiabilité de l'enneigement (pourcentage du domaine skiable qui peut être ouvert aux clients pendant toute la saison) sur une période de 15 années centrée sur l'année considérée (soit 2013-2027 pour l'année 2020). Le Q20 de l'indice de fiabilité de l'enneigement est calculé sur la période de référence passée (1986-2015) et correspond aux conditions d'enneigement qui permettent de séparer les 20 pires saisons sur un échantillon de 100. Par exemple, un Q20 de 33% signifie que, 1 saison sur 5, on a pu ouvrir moins de 1/3 du domaine. Les éléments représentés dans tous les graphiques de ce rapport sont les suivants :

- Courbes grises : analyses historiques
- Courbes noires : **observations**
- Courbes en couleurs : projections (RCP2.6, RCP4.5, RCP8.5)
- Traits en gras : 1 chance sur 2 (moyennes)
- Enveloppes: 1 chance sur 5 (meilleures et pires saisons)
- Lignes horizontales en pointillé : Q20 de la période de référence 1986- 2015

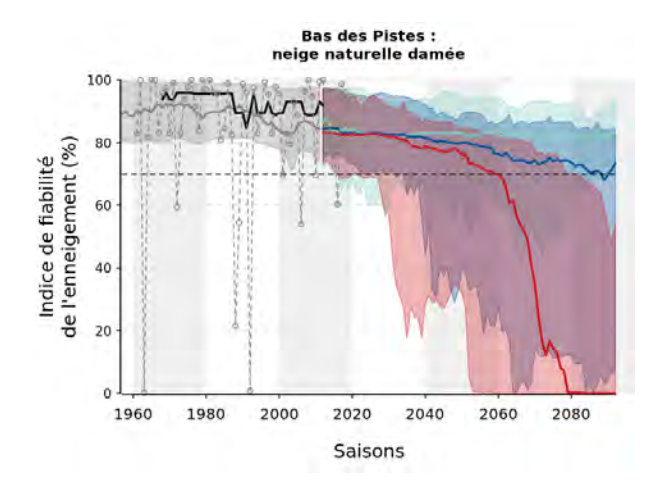


FIGURE 6 – Évolution de l'indice de fiabilité de l'enneigement en neige naturelle damée.

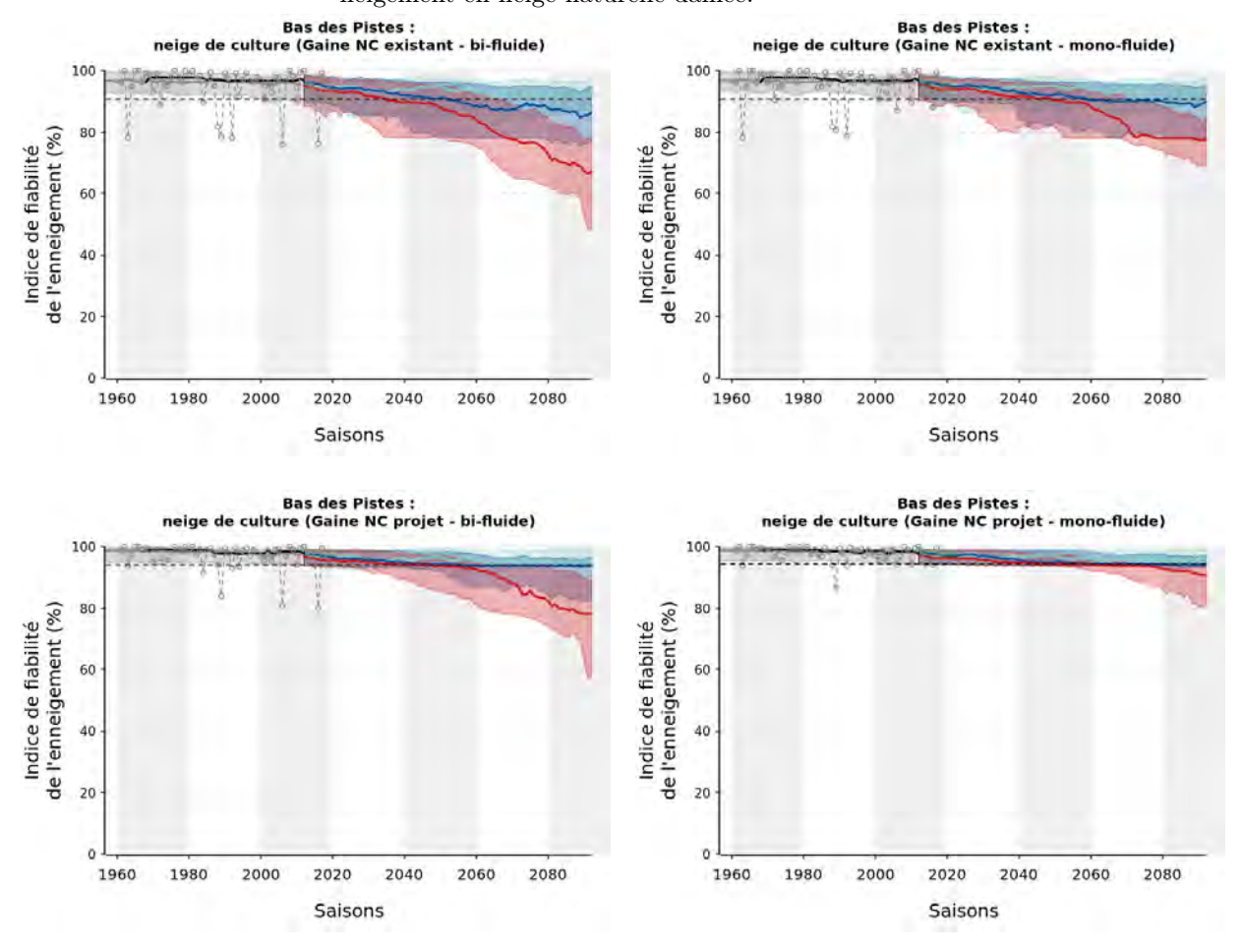


FIGURE 7 – Évolution de l'indice de fiabilité de l'enneigement avec des équipements de type "perches" (à gauche) et "ventilateurs" (à droite). Les graphiques du haut correspondent aux installations actuelles, ceux du bas aux installations prévues dans les prochaines années.

2.1.3 Taux de retour des mauvaises saisons

Plus que l'évolution de l'indice de fiabilité en tant que telle, la récurrence des saisons difficiles peut avoir un impact sur la possibilité de maintenir l'exploitation du domaine skiable. Le taux de retour des mauvaises saisons est donc un indicateur clé pour évaluer les effets du changement climatique dans les stations de ski : il représente la fréquence à laquelle les hivers faiblement enneigés (pires conditions susceptibles de se reproduire 1 année sur 5 durant la période de référence 1986-2015) vont se reproduire dans le futur.

Les graphiques représentent la probabilité de retour d'une saison avec un indice de fiabilité de l'enneigement en-dessous de celui défini, sur la période passée, par le Q20. Par exemple, si la fréquence à une certaine date est de 50%, cela signifie qu'à cette date on a 1 probabilité sur 2 de rencontrer les mêmes mauvaises conditions d'enneigement qui, dans le passé, se présentaient 1 année sur 5. Par définition, donc, l'indice de fiabilité décroit quand la fréquence de retour des mauvaises saisons augmente.

2.1.4 Fenêtres de froid

Le potentiel de froid pour la production de neige de culture est calculé à partir des températures humides pour l'altitude la plus basse du domaine skiable. Les graphiques montrent l'évolution de ce potentiel en fonction de la période de la saison (période "avant saison", du 01/11 au 20/12, et période de "confortement", du 21/12 au 31/01) et en fonction de l'intervalle de température considéré (entre -1°C et -4°C, entre -4°C et -6°C et <-6°C). Pour rappel, la courbe Q20 (la plus basse de chaque enveloppe) donne le potentiel de froid des 3 saisons les plus chaudes sur 15 centrées sur l'année considérée : si on dimensionnait une l'installation de neige de culture sur le potentiel de froid du Q20, on fiabiliserait 4 saisons sur 5.

2.1.5 Consommation en eau pour la production de neige de culture

Les volumes de consommation en eau simulés expriment un besoin pour la production de neige en fonction des pratiques actuelles et en fonction de l'évolution des conditions de production. Les simulations ne présument pas de la disponibilité de la ressource : l'eau n'est pas une contrainte et seul le climat a un impact sur l'évolution de la production. Indirectement, l'évolution de la consommation en eau traduit donc également la capacité de production. En effet, l'évolution du climat influe à la fois sur l'accroissement du besoin et sur la dégradation des facteurs de production qui dépendent également du climat (température humide, vent). Ainsi, en fin de siècle, une diminution de la consommation en eau traduit généralement une évolution vers des conditions de production défavorables plutôt qu'une diminution du besoin.

Significations d'un palier :

- hyp 1 : le potentiel froid est constant et le besoin en neige de culture est supérieur ou égal au volume permis par la capacité de production de l'installation,
- hyp 2 : le besoin en neige de culture est constant et le potentiel froid est suffisant pour produire la sous-couche et maintenir les 60 cm.

Signification d'une portion de courbe croissante :

— le besoin en neige de culture augmente et le potentiel froid est suffisant pour augmenter la production.

Signification d'une portion de courbe décroissante :

- hyp 1 : le besoin en neige de culture décroit,
- hyp 2: le besoin est stable ou croissant mais le potentiel froid diminue.

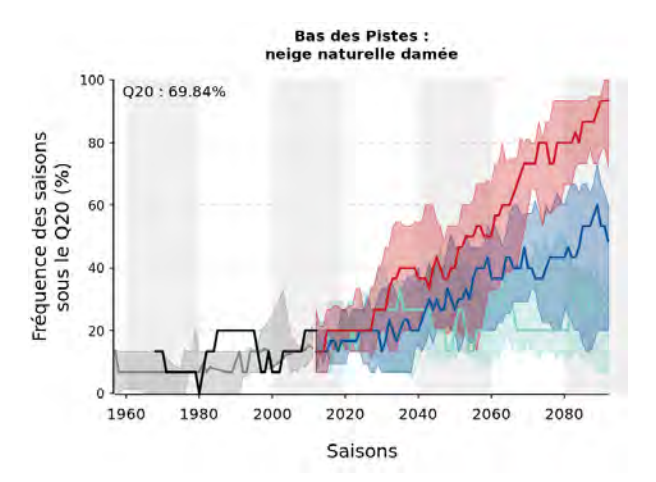


FIGURE 8 – Évolution du taux de retour des mauvaises saisons en neige naturelle damée.

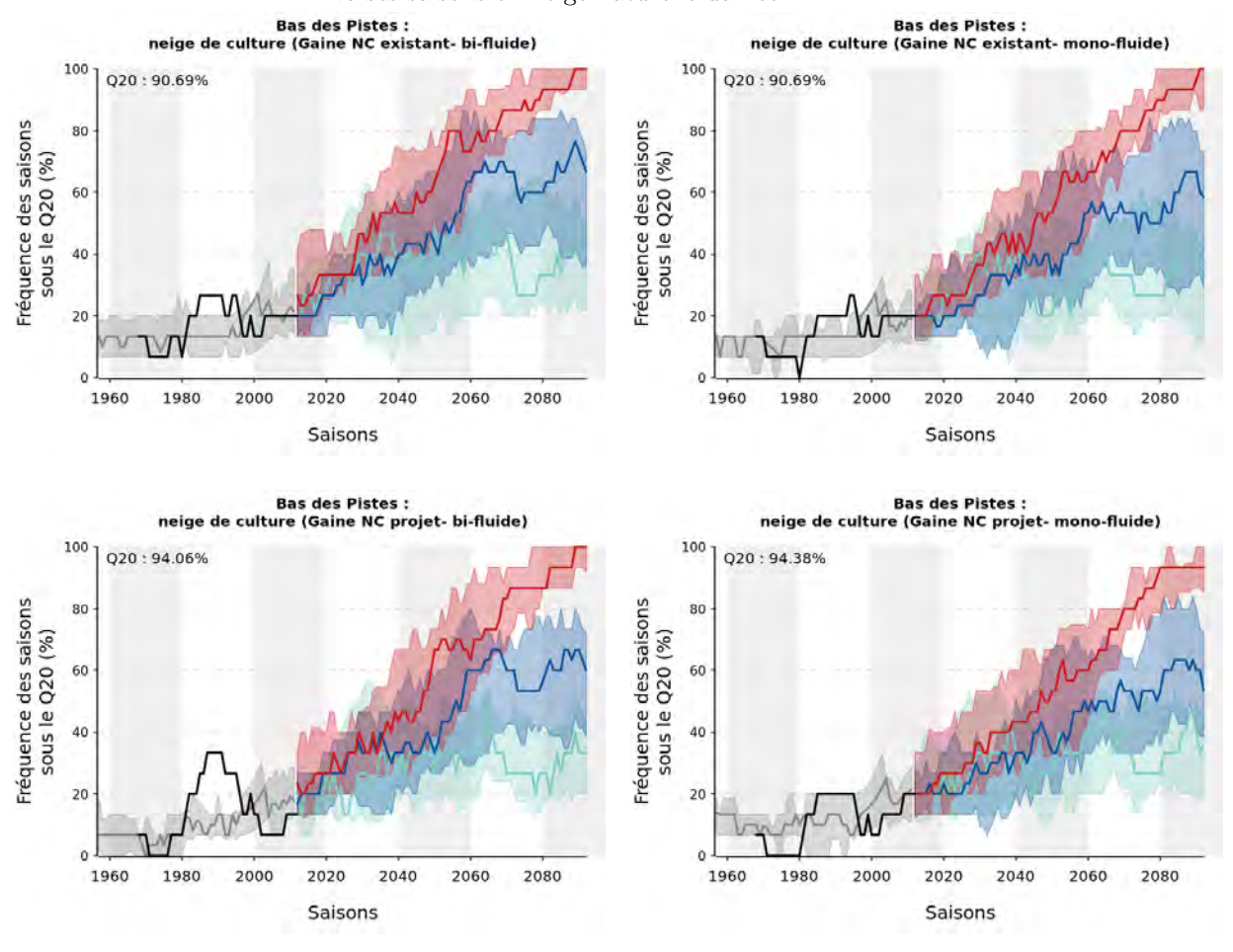


FIGURE 9 – Évolution du taux de retour des mauvaises saisons avec des équipements de type "perches" (à gauche) et "ventilateurs" (à droite). Les graphiques du haut correspondent aux installations actuelles, ceux du bas aux installations prévues dans les prochaines années.

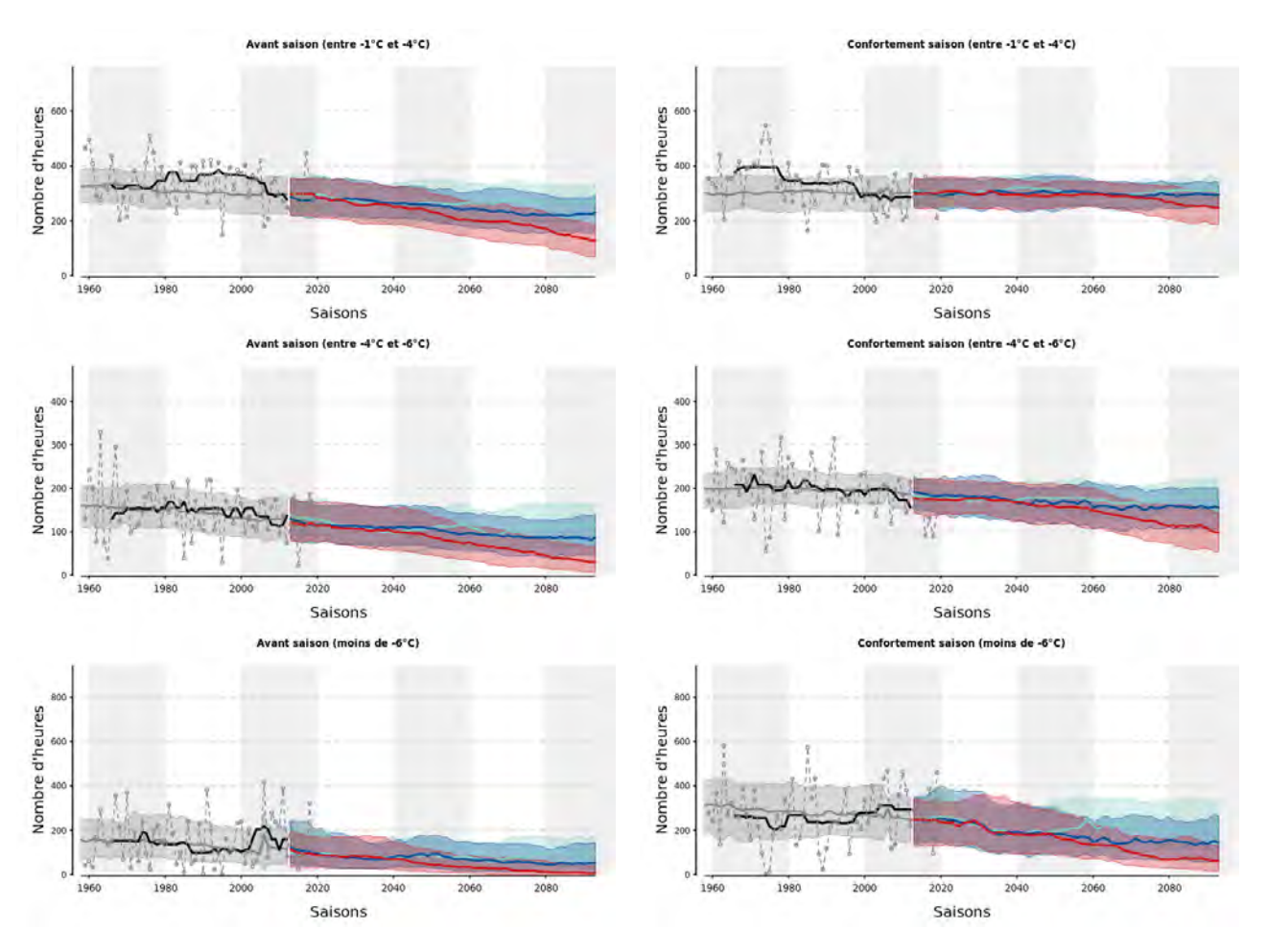


FIGURE 10 – Évolution du potentiel de froid à l'altitude la plus basse du domaine skiable, en fonction de la période de la saison (période "avant saison", du 01/11 au 20/12, et période de "confortement", du 21/12 au 31/01) et en fonction de l'intervalle de température considéré (entre -1°C et -4°C, entre -4°C et -6°C et <-6°C).

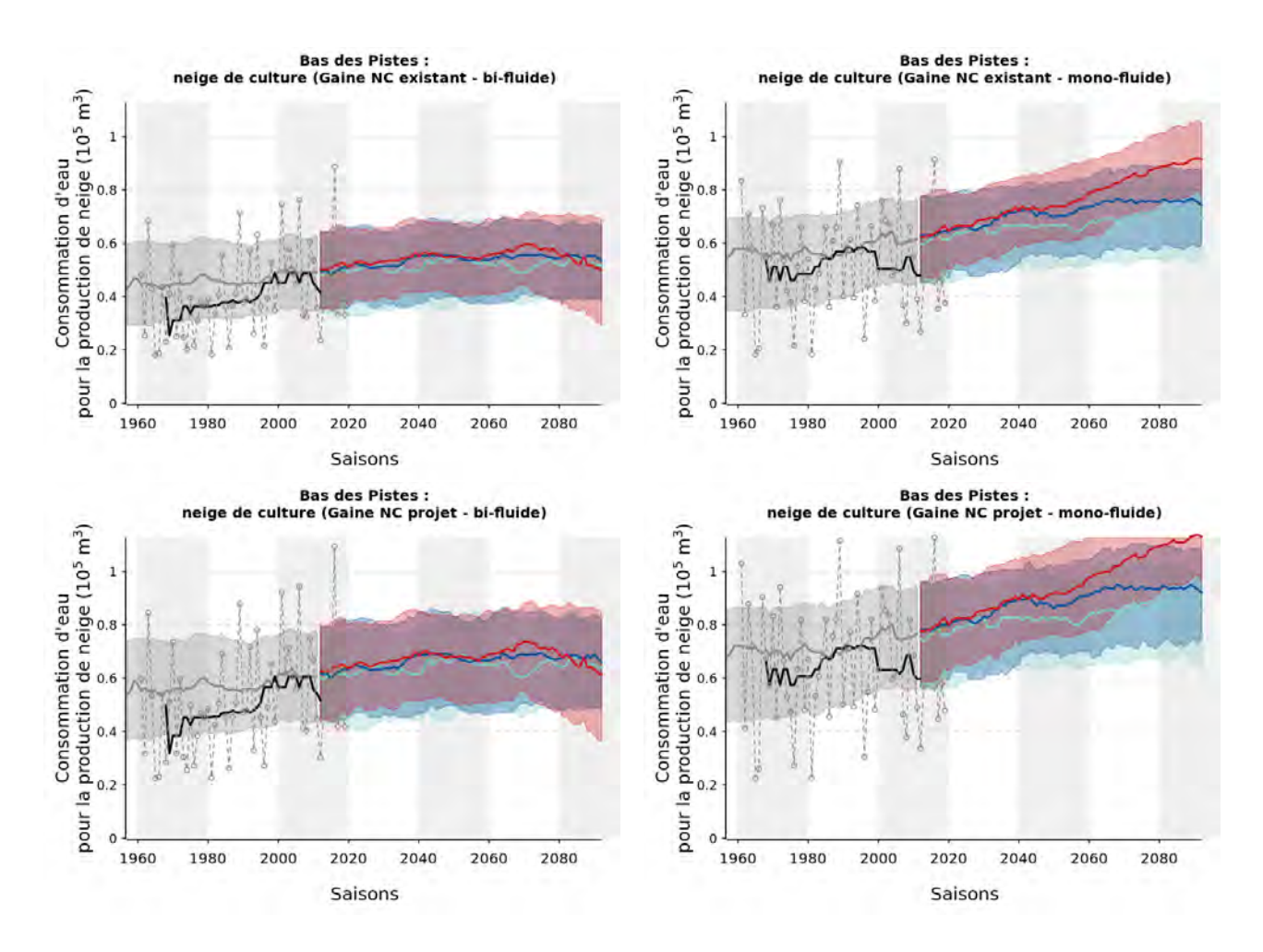


FIGURE 11 — Évolution de la consommation en eau pour la production de neige de culture avec des équipements de type "perches" (à gauche) et "ventilateurs" (à droite). Les graphiques du haut correspondent aux installations actuelles, ceux du bas aux installations prévues dans les prochaines années.

2.1.6 Durée d'enneigement

L'hétérogénéité spatiale des conditions d'enneigement est représentée à l'aide de matrices et de cartes 2D, qui montrent le nombre de jours durant lesquels le niveau d'enneigement dépasse un seuil défini comme la quantité de neige suffisante pour permettre la pratique du ski. Ce seuil est fixé à une quantité de neige équivalente à 20 cm de neige damée, quelle que soit son origine (précipitations naturelles ou production).

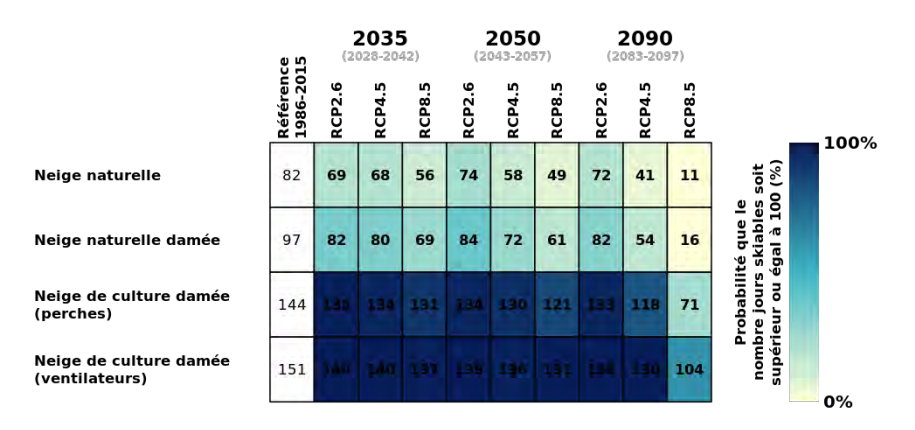
Les matrices permettent de comparer le nombre de jours pendant lesquels la pratique du ski sera possible, pour trois altitudes ciblées (bas, milieu et haut du domaine) et en fonction de la période future, du scénario climatique et des équipements installés. Les cartes 2D correspondent quand à elles au scénario RCP8.5 et à des installations existantes et futures de type "perches". Elles permettent de :

- comparer des dates différentes (2020, 2035 et 2050),
- comparer des conditions d'enneigement correspondant à des saisons moyennes (Q50) et à des saisons mauvaises (Q20),
- analyser la façon dont la station va faire face aux effets du changement climatique, si elle garde ses équipements actuels et avec la prise en compte des projets d'aménagement futurs.

2035 2090 2050 Référence 1986-2015 RCP2.6 RCP4.5 RCP8.5 RCP4.5 RCP2.6 RCP2.6 RCP8.5 100% Probabilité que le nombre jours skiables soit supérieur ou égal à 100 (%) 91 Neige naturelle 67 57 80 48 13 19 Neige naturelle damée 104 89 91 80 69 90 62 Neige de culture damée 147 78 (perches) Neige de culture damée 107 154 (ventilateurs) 0%

Altitude maximum (1754m)

Altitude moyenne (1680m)



Altitude minimum (1637m)

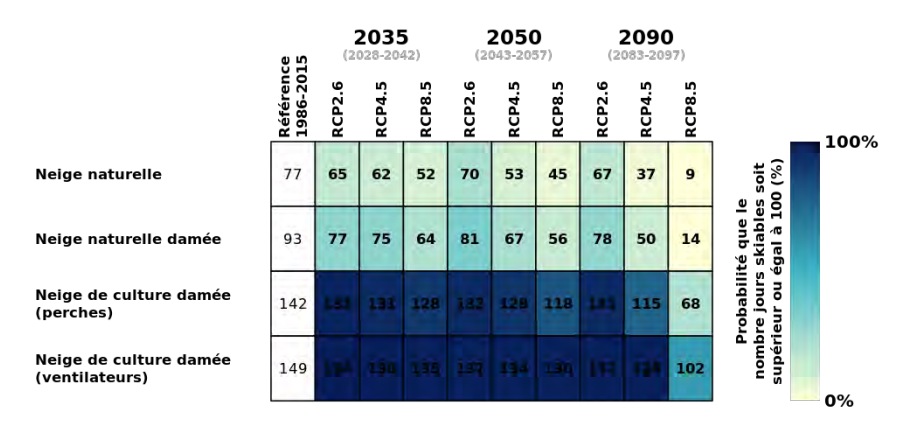


FIGURE 12 – Nombre de jours pendant lesquels la pratique du ski sera possible sur le domaine considéré, pour l'altitude minimum, moyenne et maximum (du bas vers le haut).

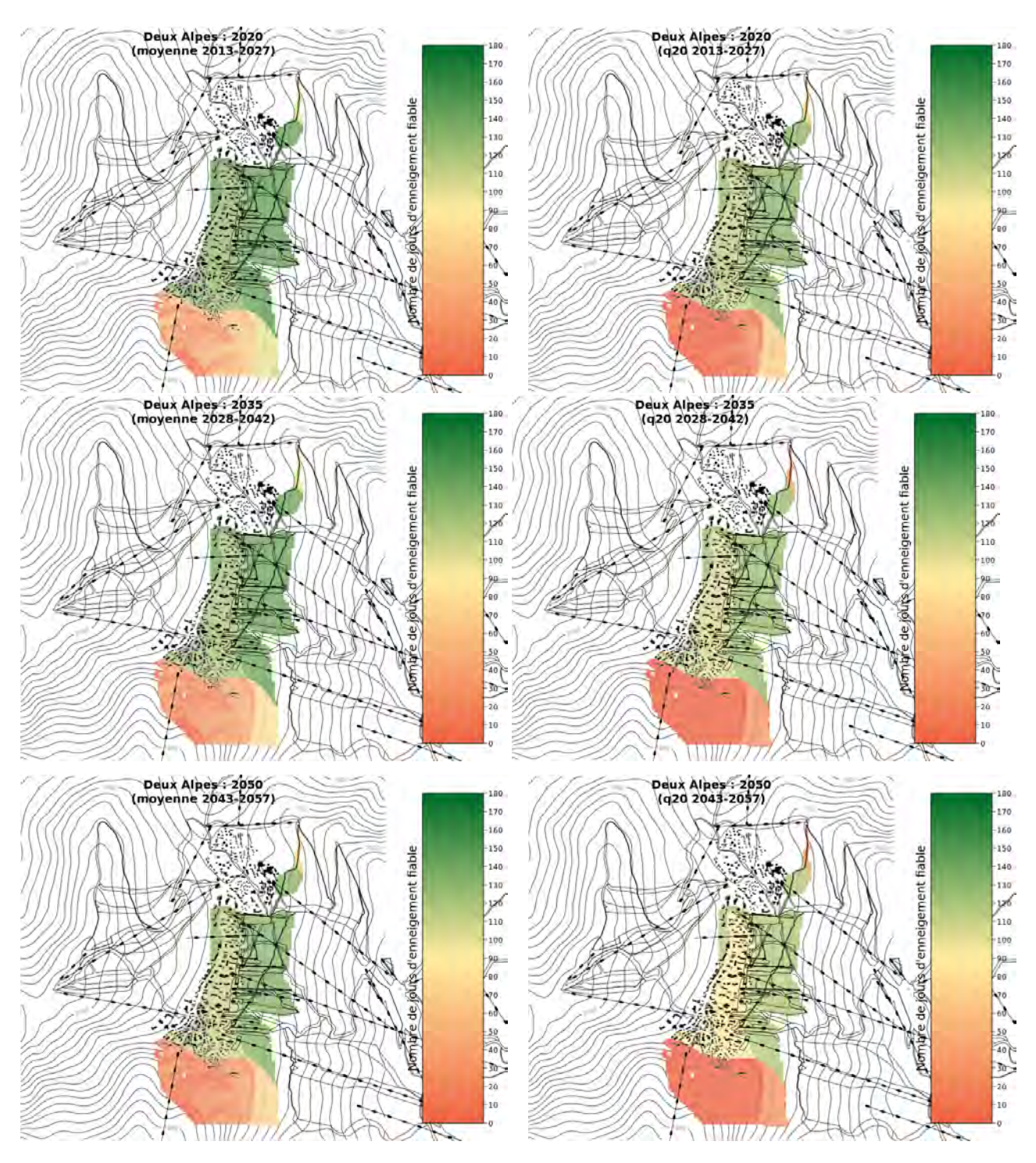


FIGURE 13 – Nombre de jours pendant lesquels la pratique du ski sera possible, en prenant en compte les équipements actuels et en fonction de l'horizon temporel considéré (du haut vers le bas : 2020, 2035, 2050). La colonne de gauche montre les conditions d'enneigement des saisons moyennes (Q50) et celle de droite les conditions d'enneigement des saisons mauvaises (Q20).

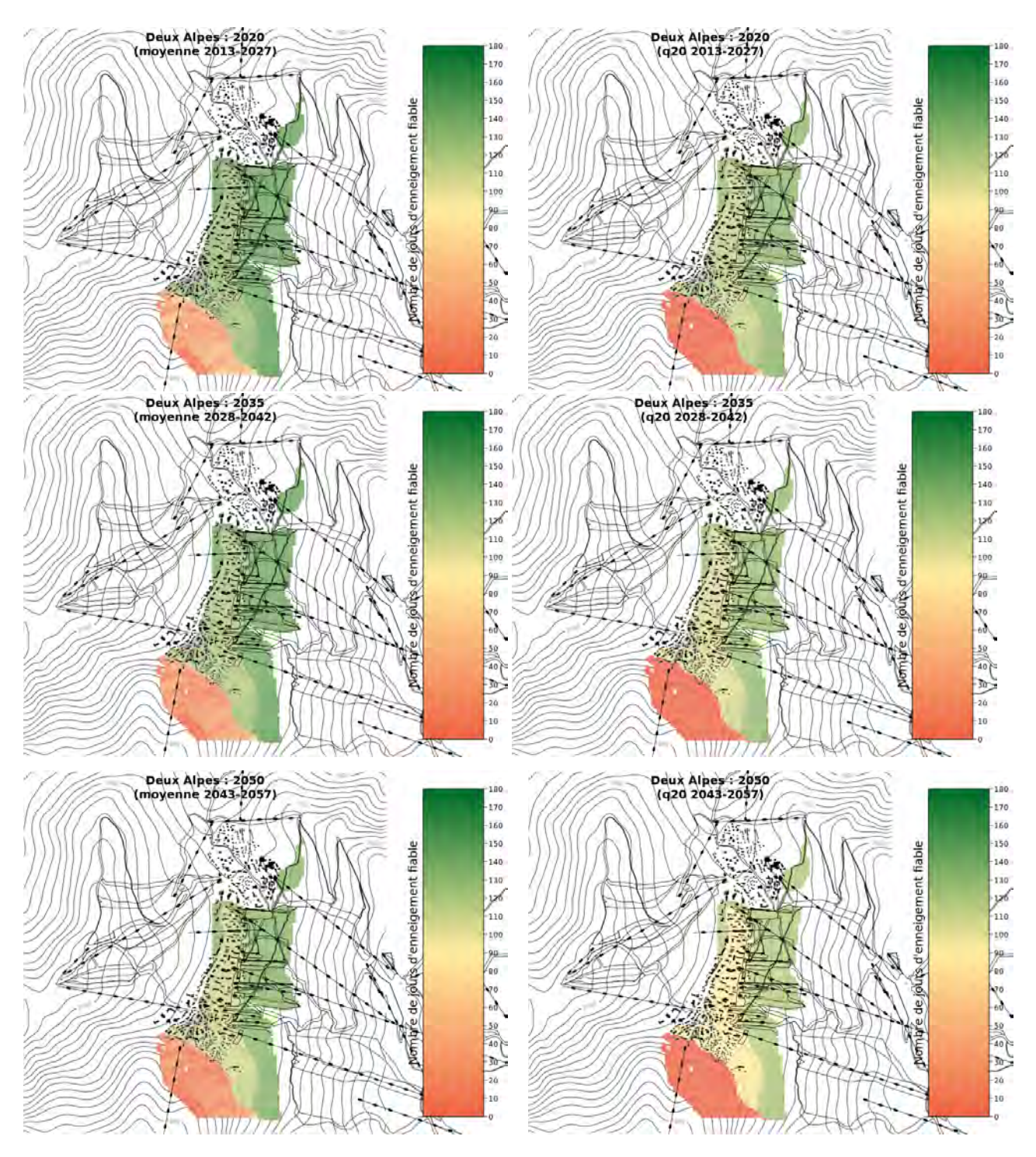
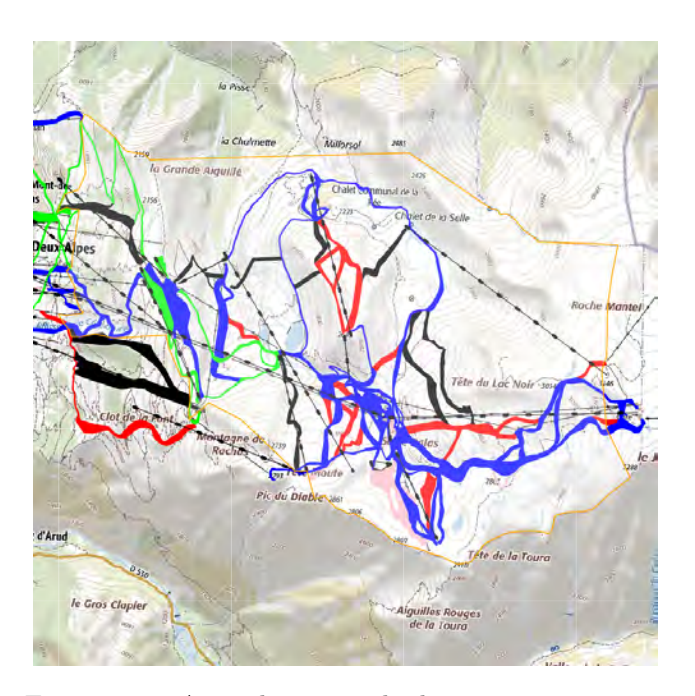


FIGURE 14 – Nombre de jours pendant lesquels la pratique du ski sera possible, en prenant en compte les projets d'aménagement futurs et en fonction de l'horizon temporel considéré (du haut vers le bas : 2020, 2035, 2050). La colonne de gauche montre les conditions d'enneigement des saisons moyennes (Q50) et celle de droite les conditions d'enneigement des saisons mauvaises (Q20).

2.2 CRETES-TOURA-FEE

2.2.1 Caractéristiques du domaine : RM, pistes, neige de culture



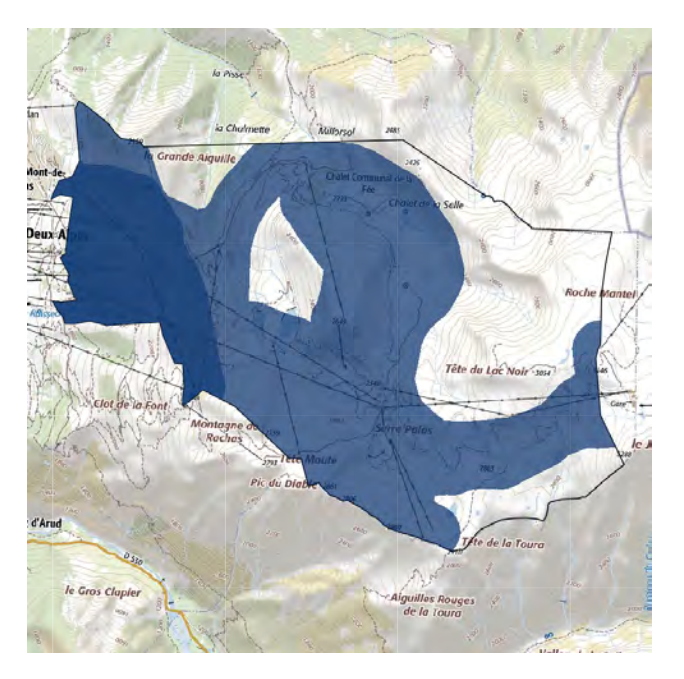


FIGURE 15 – A gauche : carte du domaine, avec ses remontées mécaniques et ses pistes (les couleurs correspondent aux niveaux de difficulté). A droite : zones couvertes par la neige de culture (comprenant les projets futurs en bleu clair).

2.2.2 Indice de fiabilité de l'enneigement

L'indice de fiabilité de l'enneigement est calculé chaque année pour l'ensemble du domaine skiable. Il traduit les conditions d'exploitation, en prenant en compte les caractéristiques topographiques des pistes et la répartition des remontées mécaniques en fonction de l'altitude. Cet indicateur peut être interprété comme la part du domaine skiable exploitable (entre 0% et 100%) et dépend donc non seulement du scénario d'émission de gaz à effet de serre, mais aussi des équipements de la station et des techniques de gestion de la neige (damage, production de neige de culture).

Les graphiques représentent l'évolution de l'indice de fiabilité de l'enneigement (pourcentage du domaine skiable qui peut être ouvert aux clients pendant toute la saison) sur une période de 15 années centrée sur l'année considérée (soit 2013-2027 pour l'année 2020). Le Q20 de l'indice de fiabilité de l'enneigement est calculé sur la période de référence passée (1986-2015) et correspond aux conditions d'enneigement qui permettent de séparer les 20 pires saisons sur un échantillon de 100. Par exemple, un Q20 de 33% signifie que, 1 saison sur 5, on a pu ouvrir moins de 1/3 du domaine. Les éléments représentés dans tous les graphiques de ce rapport sont les suivants :

- Courbes grises : analyses historiques
- Courbes noires : **observations**
- Courbes en couleurs : projections (RCP2.6, RCP4.5, RCP8.5)
- Traits en gras: 1 chance sur 2 (moyennes)
- Enveloppes: 1 chance sur 5 (meilleures et pires saisons)
- Lignes horizontales en pointillé : Q20 de la période de référence 1986- 2015

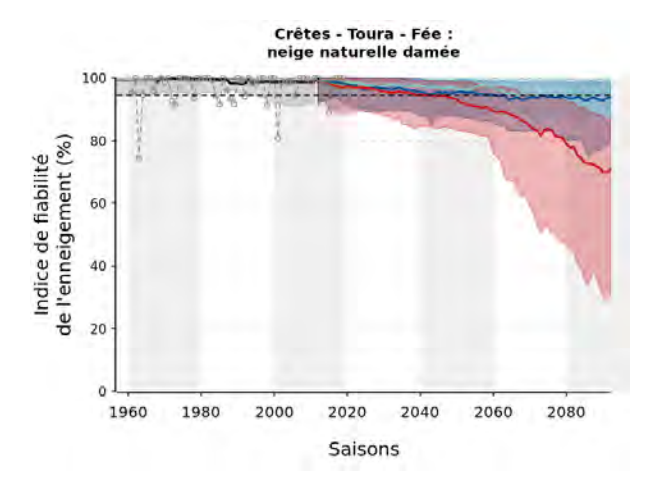


FIGURE 16 – Évolution de l'indice de fiabilité de l'enneigement en neige naturelle damée.

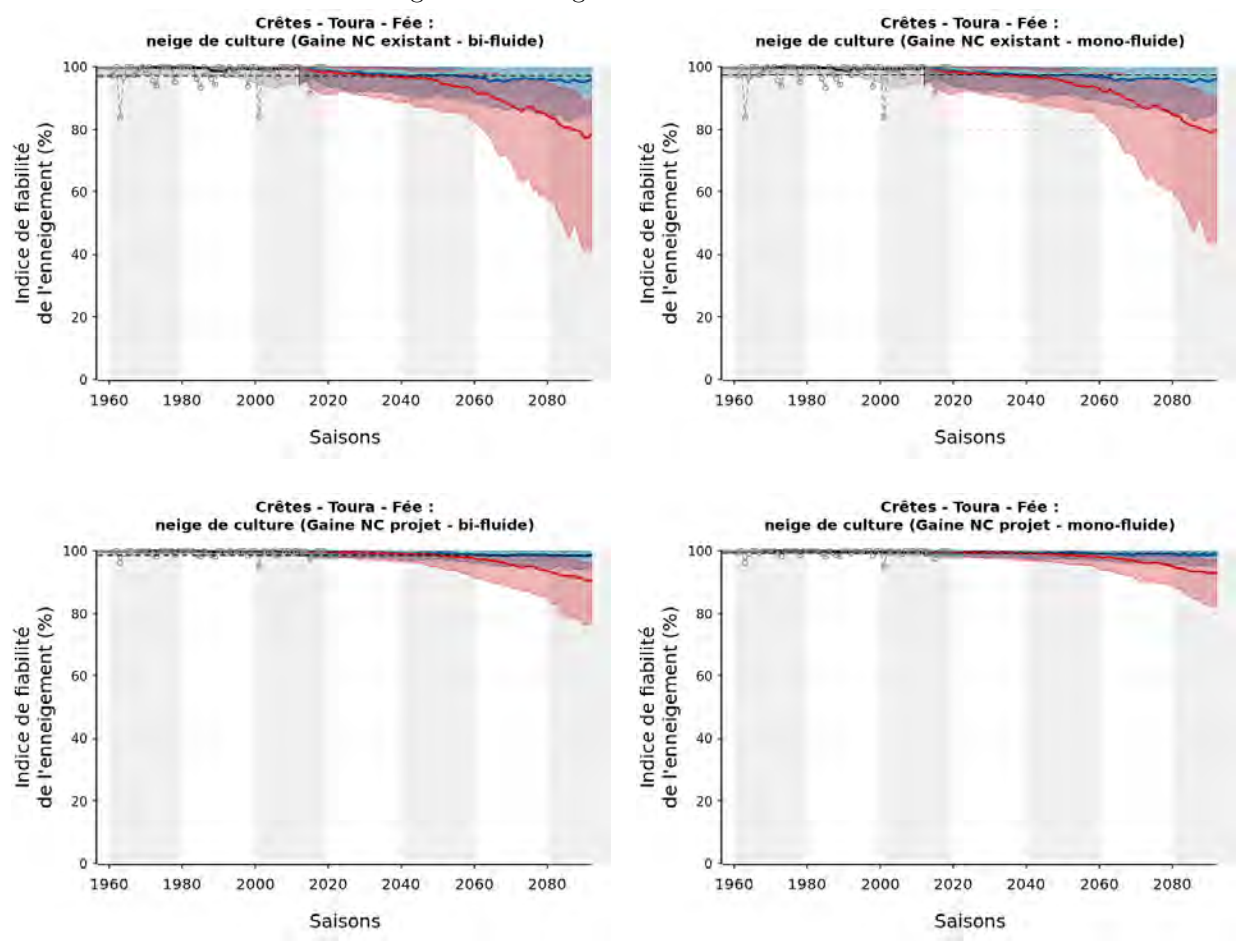


FIGURE 17 – Évolution de l'indice de fiabilité de l'enneigement avec des équipements de type "perches" (à gauche) et "ventilateurs" (à droite). Les graphiques du haut correspondent aux installations actuelles, ceux du bas aux installations prévues dans les prochaines années.

2.2.3 Taux de retour des mauvaises saisons

Plus que l'évolution de l'indice de fiabilité en tant que telle, la récurrence des saisons difficiles peut avoir un impact sur la possibilité de maintenir l'exploitation du domaine skiable. Le taux de retour des mauvaises saisons est donc un indicateur clé pour évaluer les effets du changement climatique dans les stations de ski : il représente la fréquence à laquelle les hivers faiblement enneigés (pires conditions susceptibles de se reproduire 1 année sur 5 durant la période de référence 1986-2015) vont se reproduire dans le futur.

Les graphiques représentent la probabilité de retour d'une saison avec un indice de fiabilité de l'enneigement en-dessous de celui défini, sur la période passée, par le Q20. Par exemple, si la fréquence à une certaine date est de 50%, cela signifie qu'à cette date on a 1 probabilité sur 2 de rencontrer les mêmes mauvaises conditions d'enneigement qui, dans le passé, se présentaient 1 année sur 5. Par définition, donc, l'indice de fiabilité décroit quand la fréquence de retour des mauvaises saisons augmente.

2.2.4 Fenêtres de froid

Le potentiel de froid pour la production de neige de culture est calculé à partir des températures humides pour l'altitude la plus basse du domaine skiable. Les graphiques montrent l'évolution de ce potentiel en fonction de la période de la saison (période "avant saison", du 01/11 au 20/12, et période de "confortement", du 21/12 au 31/01) et en fonction de l'intervalle de température considéré (entre -1°C et -4°C, entre -4°C et -6°C et <-6°C). Pour rappel, la courbe Q20 (la plus basse de chaque enveloppe) donne le potentiel de froid des 3 saisons les plus chaudes sur 15 centrées sur l'année considérée : si on dimensionnait une l'installation de neige de culture sur le potentiel de froid du Q20, on fiabiliserait 4 saisons sur 5.

2.2.5 Consommation en eau pour la production de neige de culture

Les volumes de consommation en eau simulés expriment un besoin pour la production de neige en fonction des pratiques actuelles et en fonction de l'évolution des conditions de production. Les simulations ne présument pas de la disponibilité de la ressource : l'eau n'est pas une contrainte et seul le climat a un impact sur l'évolution de la production. Indirectement, l'évolution de la consommation en eau traduit donc également la capacité de production. En effet, l'évolution du climat influe à la fois sur l'accroissement du besoin et sur la dégradation des facteurs de production qui dépendent également du climat (température humide, vent). Ainsi, en fin de siècle, une diminution de la consommation en eau traduit généralement une évolution vers des conditions de production défavorables plutôt qu'une diminution du besoin.

Significations d'un palier :

- hyp 1 : le potentiel froid est constant et le besoin en neige de culture est supérieur ou égal au volume permis par la capacité de production de l'installation,
- hyp 2 : le besoin en neige de culture est constant et le potentiel froid est suffisant pour produire la sous-couche et maintenir les 60 cm.

Signification d'une portion de courbe croissante :

— le besoin en neige de culture augmente et le potentiel froid est suffisant pour augmenter la production.

Signification d'une portion de courbe décroissante :

- hyp 1 : le besoin en neige de culture décroit,
- hyp 2: le besoin est stable ou croissant mais le potentiel froid diminue.

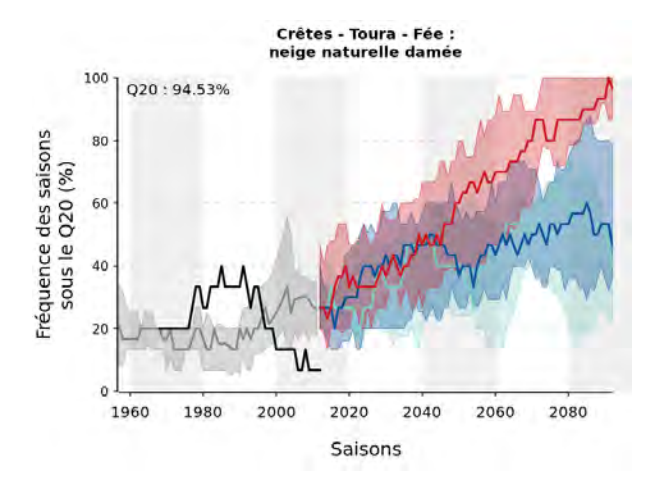


FIGURE 18 – Évolution du taux de retour des mauvaises saisons en neige naturelle damée.

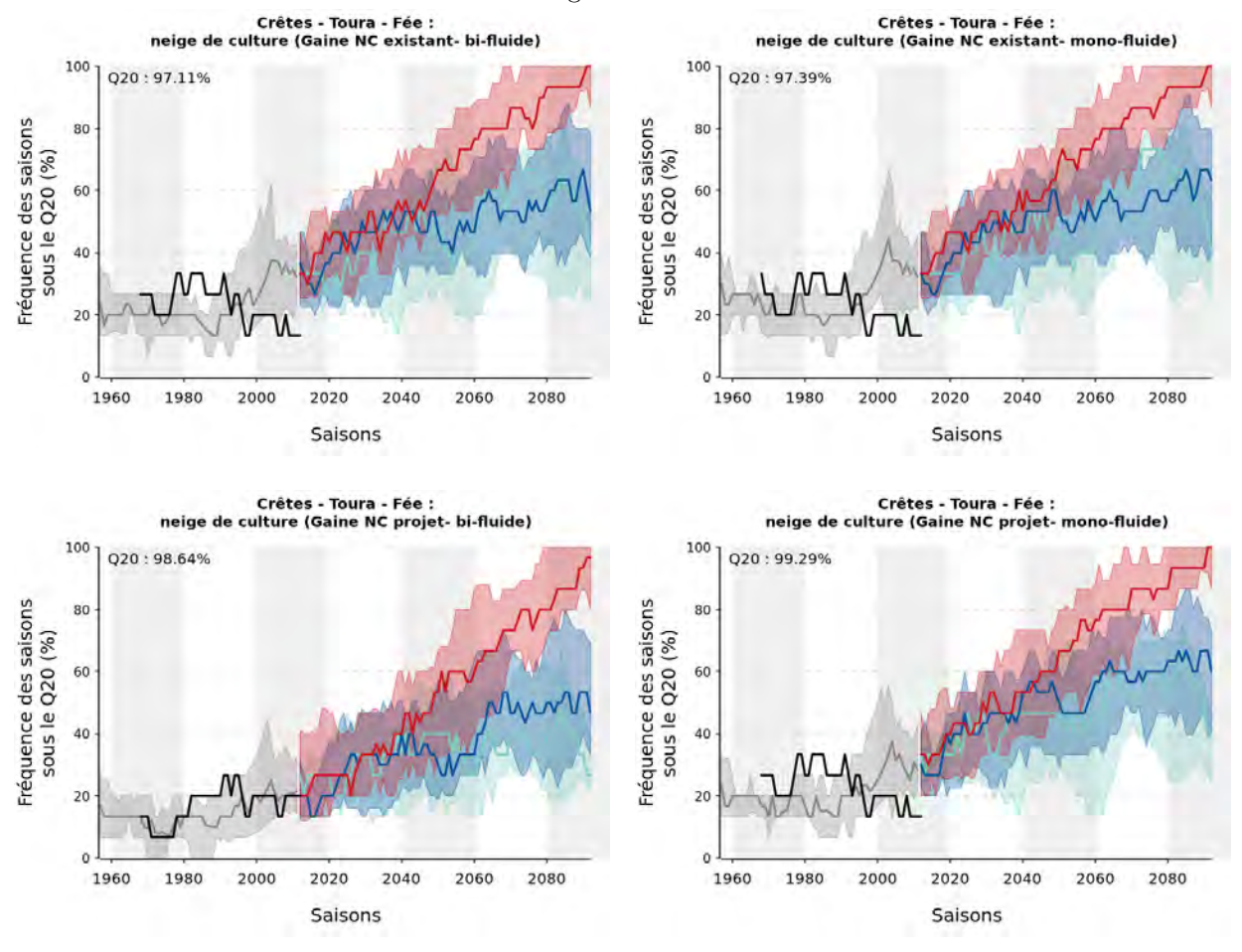


FIGURE 19 – Évolution du taux de retour des mauvaises saisons avec des équipements de type "perches" (à gauche) et "ventilateurs" (à droite). Les graphiques du haut correspondent aux installations actuelles, ceux du bas aux installations prévues dans les prochaines années.

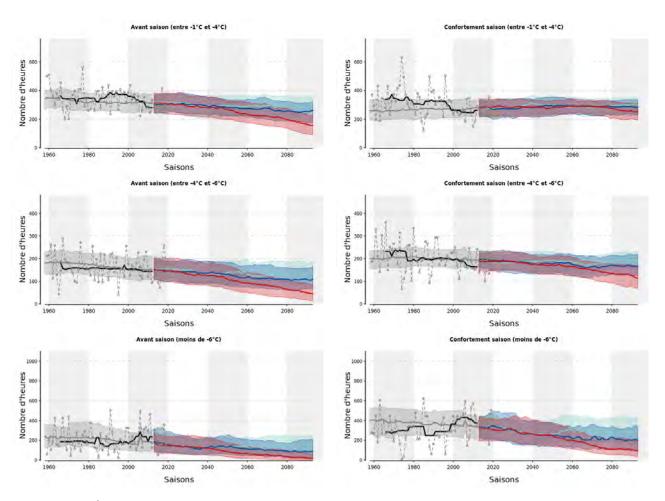


FIGURE 20 – Évolution du potentiel de froid à l'altitude la plus basse du domaine skiable, en fonction de la période de la saison (période "avant saison", du 01/11 au 20/12, et période de "confortement", du 21/12 au 31/01) et en fonction de l'intervalle de température considéré (entre -1°C et -4°C, entre -4°C et -6°C et <-6°C).

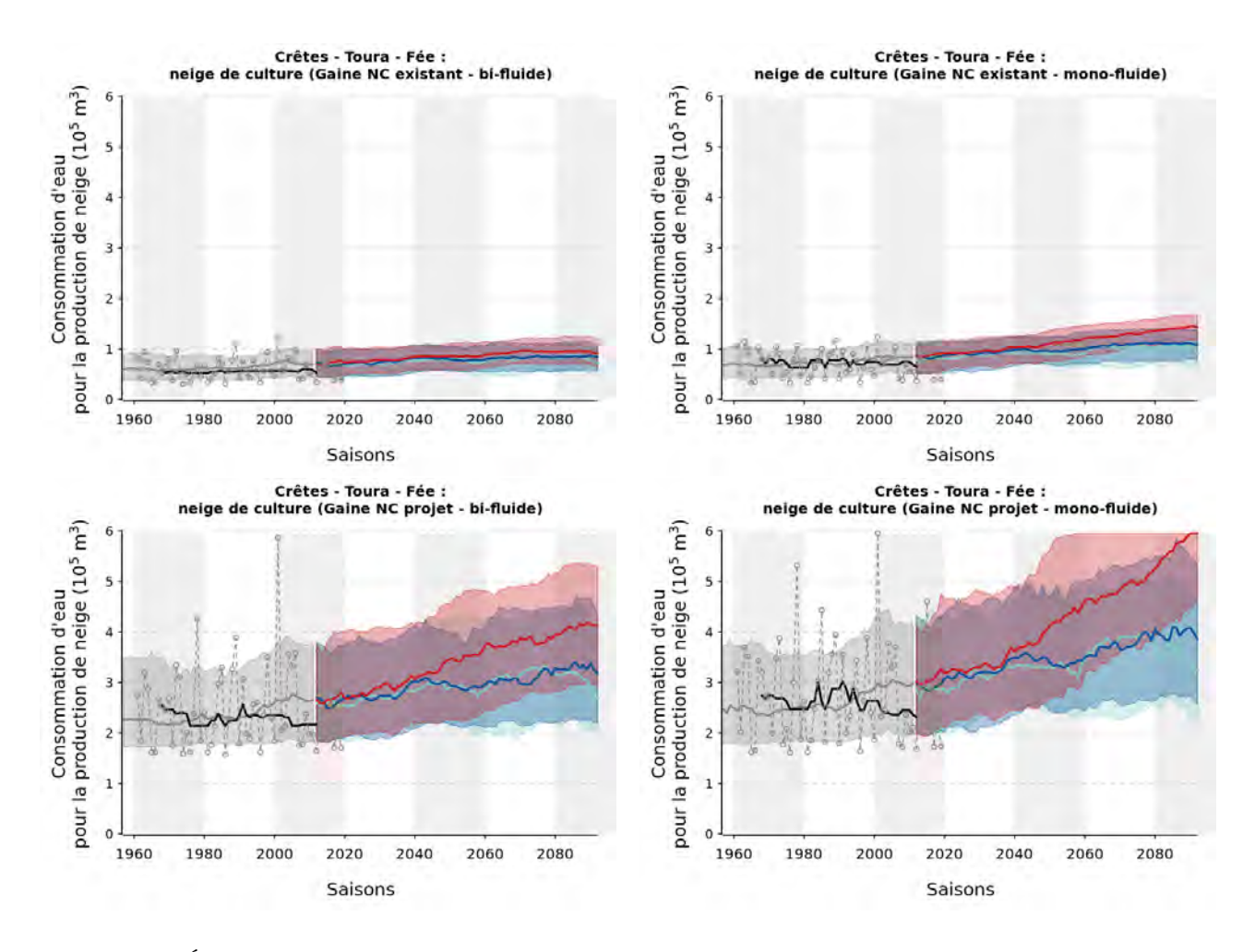


FIGURE 21 — Évolution de la consommation en eau pour la production de neige de culture avec des équipements de type "perches" (à gauche) et "ventilateurs" (à droite). Les graphiques du haut correspondent aux installations actuelles, ceux du bas aux installations prévues dans les prochaines années.

2.2.6 Durée d'enneigement

L'hétérogénéité spatiale des conditions d'enneigement est représentée à l'aide de matrices et de cartes 2D, qui montrent le nombre de jours durant lesquels le niveau d'enneigement dépasse un seuil défini comme la quantité de neige suffisante pour permettre la pratique du ski. Ce seuil est fixé à une quantité de neige équivalente à 20 cm de neige damée, quelle que soit son origine (précipitations naturelles ou production).

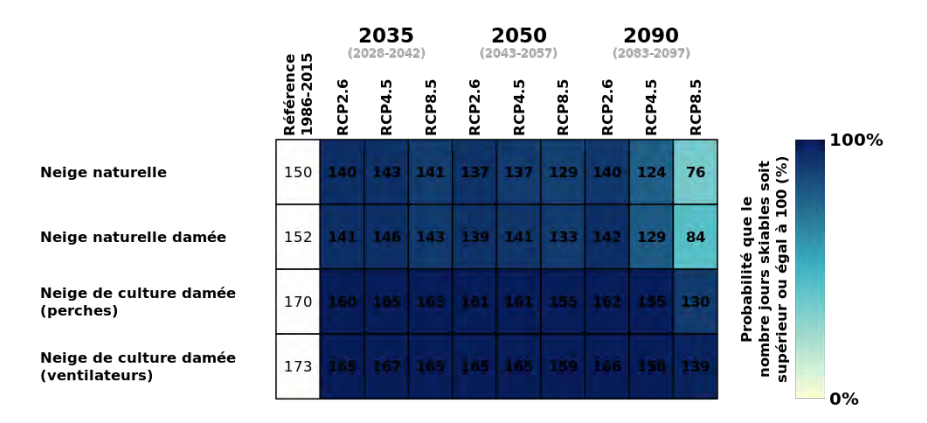
Les matrices permettent de comparer le nombre de jours pendant lesquels la pratique du ski sera possible, pour trois altitudes ciblées (bas, milieu et haut du domaine) et en fonction de la période future, du scénario climatique et des équipements installés. Les cartes 2D correspondent quand à elles au scénario RCP8.5 et à des installations existantes et futures de type "perches". Elles permettent de :

- comparer des dates différentes (2020, 2035 et 2050),
- comparer des conditions d'enneigement correspondant à des saisons moyennes (Q50) et à des saisons mauvaises (Q20),
- analyser la façon dont la station va faire face aux effets du changement climatique, si elle garde ses équipements actuels et avec la prise en compte des projets d'aménagement futurs.

Altitude maximum (3144m) 2090 2035 2050 Référence 1986-2015 RCP2.6 RCP4.5 100% Probabilité que le nombre jours skiables soit supérieur ou égal à 100 (%) Neige naturelle Neige naturelle damée Neige de culture damée 178 (perches) Neige de culture damée (ventilateurs)

Altitude moyenne (2426m)

0%



Altitude minimum (1701m)

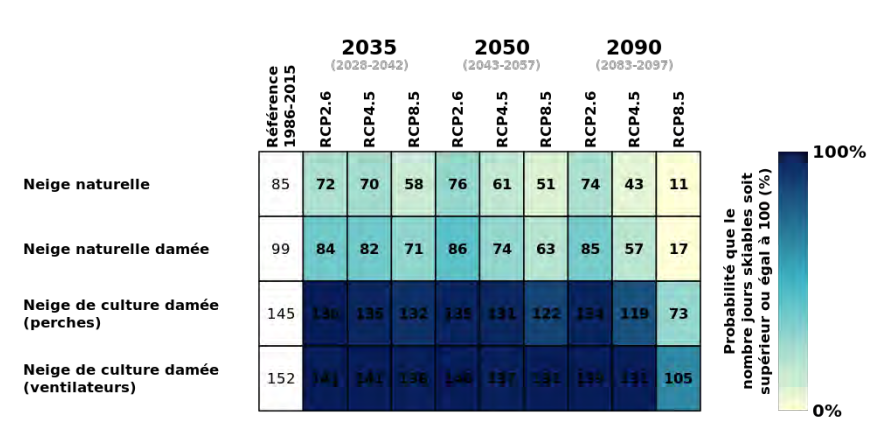


FIGURE 22 – Nombre de jours pendant lesquels la pratique du ski sera possible sur le domaine considéré, pour l'altitude minimum, moyenne et maximum (du bas vers le haut).

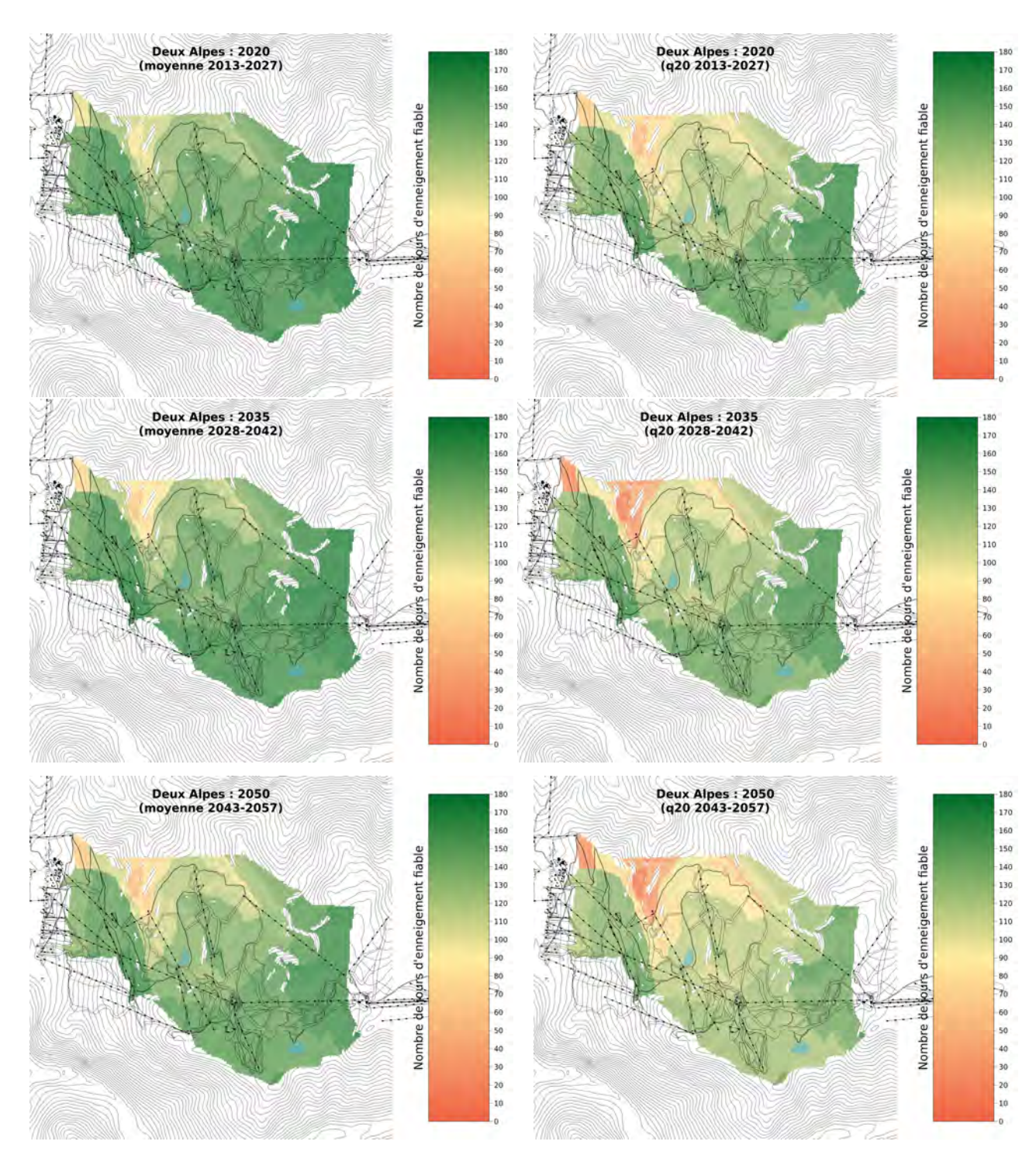


FIGURE 23 – Nombre de jours pendant lesquels la pratique du ski sera possible, en prenant en compte les équipements actuels et en fonction de l'horizon temporel considéré (du haut vers le bas : 2020, 2035, 2050). La colonne de gauche montre les conditions d'enneigement des saisons moyennes (Q50) et celle de droite les conditions d'enneigement des saisons mauvaises (Q20).

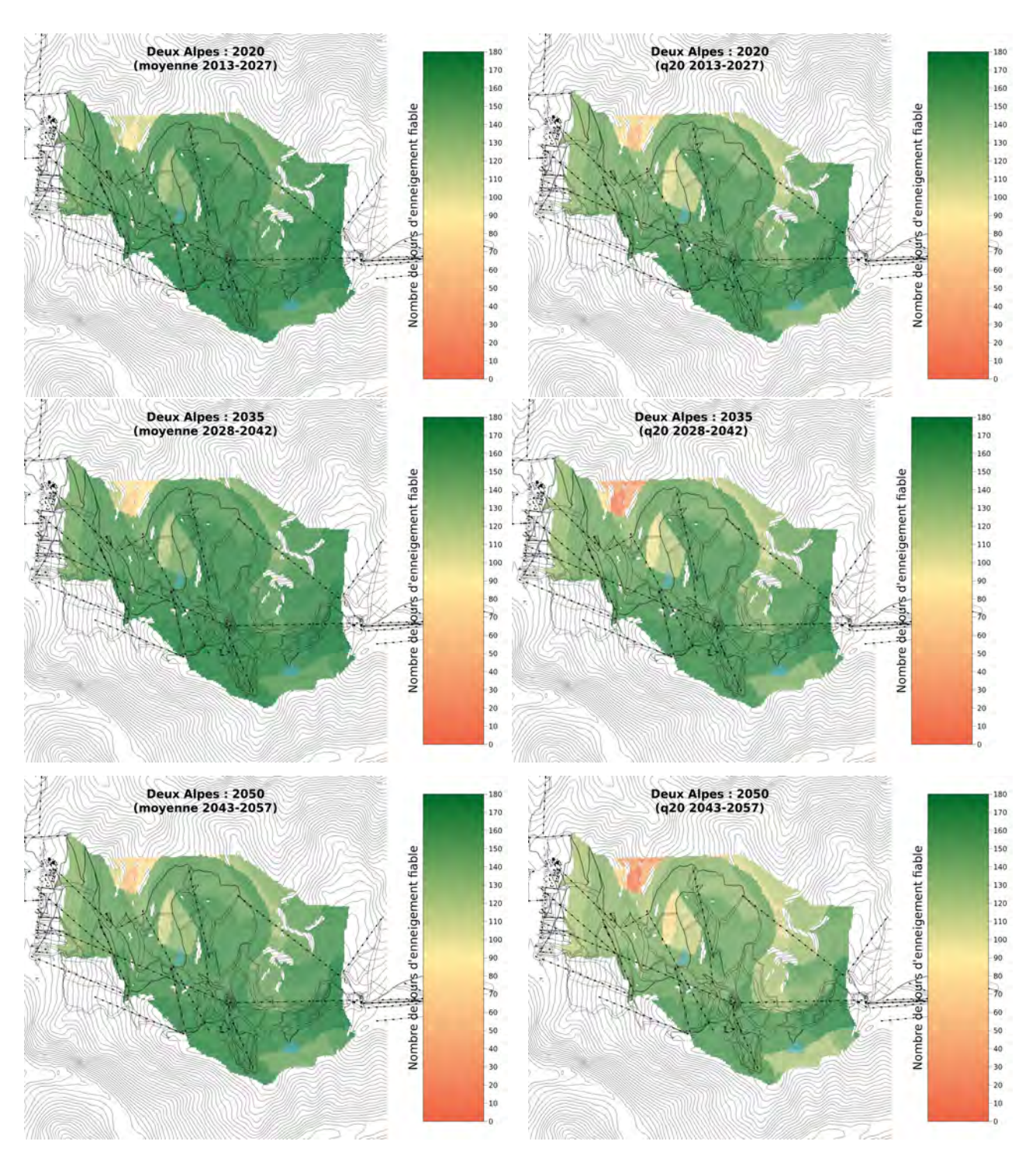


FIGURE 24 – Nombre de jours pendant lesquels la pratique du ski sera possible, en prenant en compte les projets d'aménagement futurs et en fonction de l'horizon temporel considéré (du haut vers le bas : 2020, 2035, 2050). La colonne de gauche montre les conditions d'enneigement des saisons moyennes (Q50) et celle de droite les conditions d'enneigement des saisons mauvaises (Q20).

2.3 DIABLE

2.3.1 Caractéristiques du domaine : RM, pistes, neige de culture

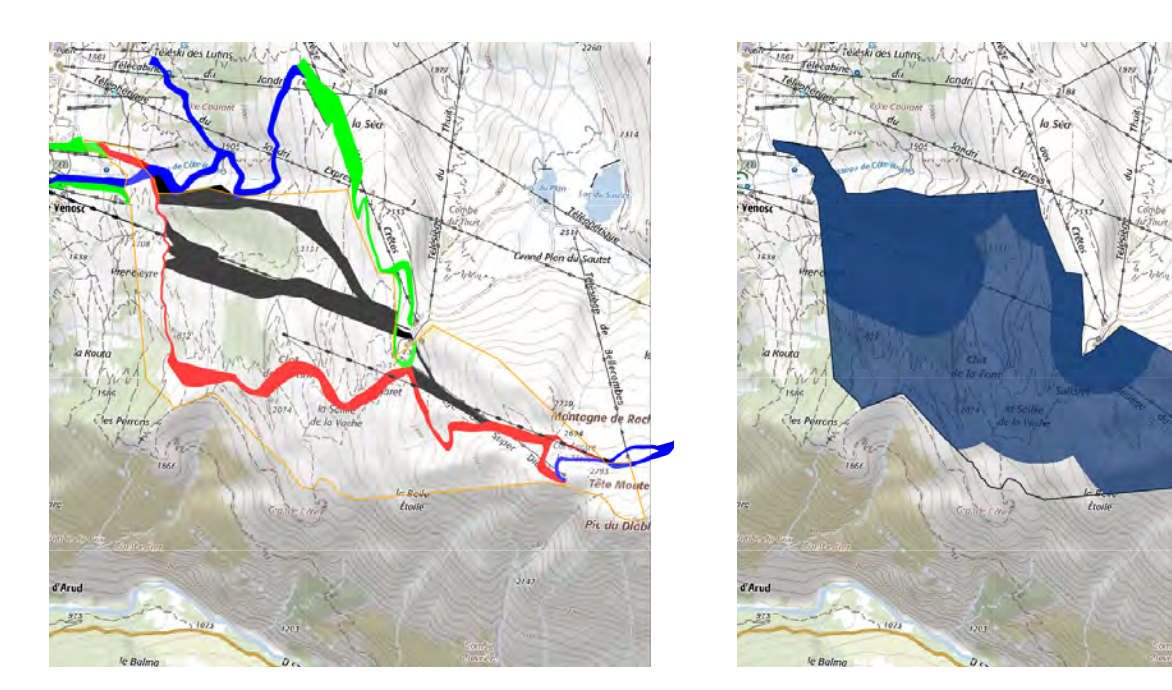


FIGURE 25 – A gauche : carte du domaine, avec ses remontées mécaniques et ses pistes (les couleurs correspondent aux niveaux de difficulté). A droite : zones couvertes par la neige de culture (comprenant les projets futurs en bleu clair).

2.3.2 Indice de fiabilité de l'enneigement

L'indice de fiabilité de l'enneigement est calculé chaque année pour l'ensemble du domaine skiable. Il traduit les conditions d'exploitation, en prenant en compte les caractéristiques topographiques des pistes et la répartition des remontées mécaniques en fonction de l'altitude. Cet indicateur peut être interprété comme la part du domaine skiable exploitable (entre 0% et 100%) et dépend donc non seulement du scénario d'émission de gaz à effet de serre, mais aussi des équipements de la station et des techniques de gestion de la neige (damage, production de neige de culture).

Les graphiques représentent l'évolution de l'indice de fiabilité de l'enneigement (pourcentage du domaine skiable qui peut être ouvert aux clients pendant toute la saison) sur une période de 15 années centrée sur l'année considérée (soit 2013-2027 pour l'année 2020). Le Q20 de l'indice de fiabilité de l'enneigement est calculé sur la période de référence passée (1986-2015) et correspond aux conditions d'enneigement qui permettent de séparer les 20 pires saisons sur un échantillon de 100. Par exemple, un Q20 de 33% signifie que, 1 saison sur 5, on a pu ouvrir moins de 1/3 du domaine. Les éléments représentés dans tous les graphiques de ce rapport sont les suivants :

- Courbes grises : analyses historiques
- Courbes noires : **observations**
- Courbes en couleurs : projections (RCP2.6, RCP4.5, RCP8.5)
- Traits en gras: 1 chance sur 2 (moyennes)
- Enveloppes: 1 chance sur 5 (meilleures et pires saisons)
- Lignes horizontales en pointillé : Q20 de la période de référence 1986- 2015

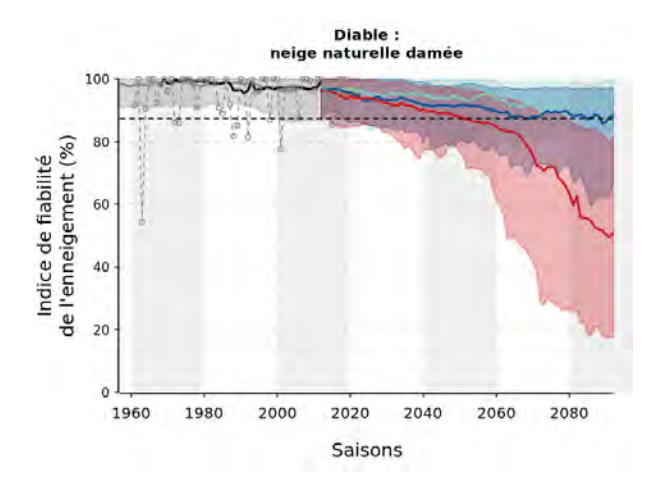


FIGURE 26 – Évolution de l'indice de fiabilité de l'enneigement en neige naturelle damée.

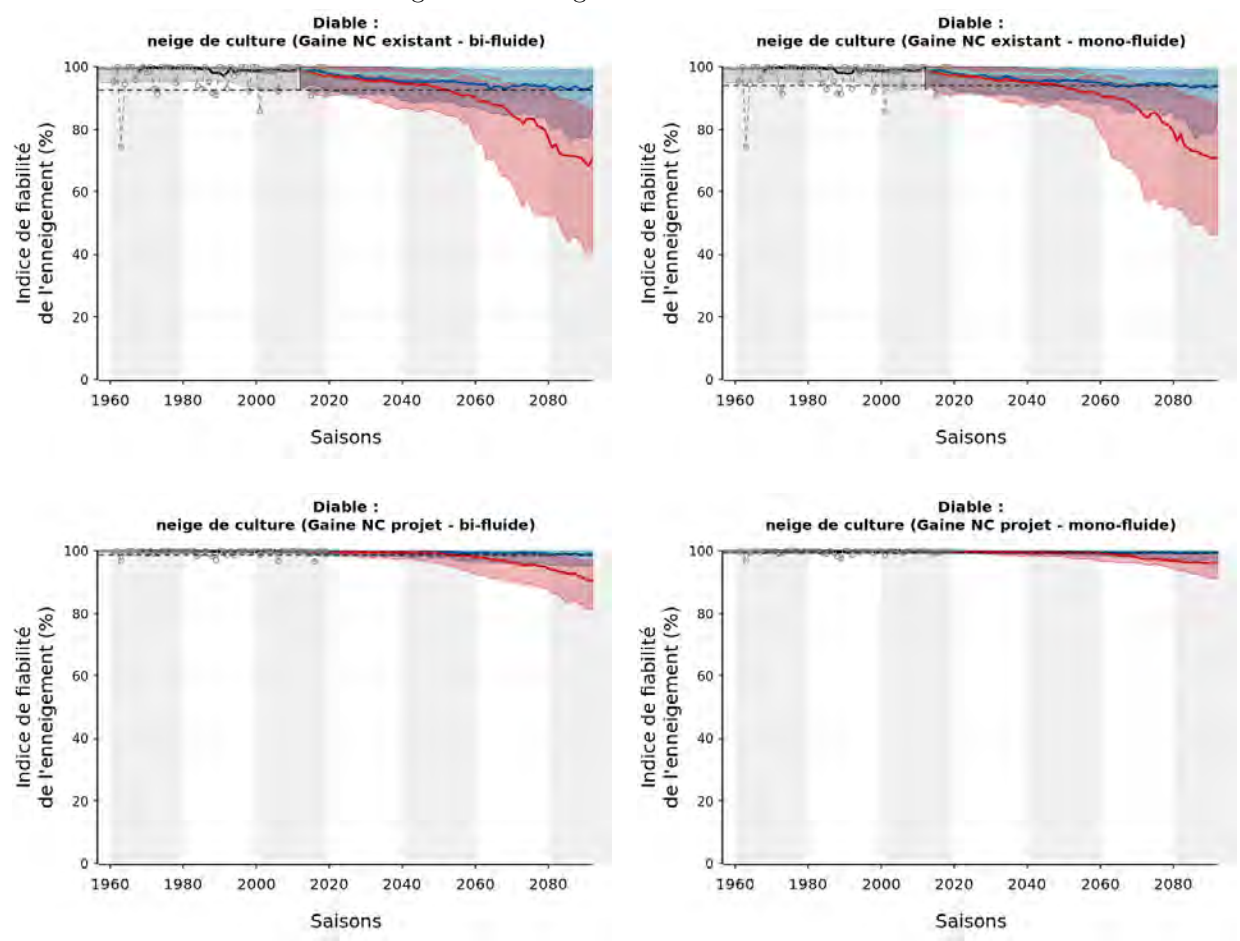


FIGURE 27 – Évolution de l'indice de fiabilité de l'enneigement avec des équipements de type "perches" (à gauche) et "ventilateurs" (à droite). Les graphiques du haut correspondent aux installations actuelles, ceux du bas aux installations prévues dans les prochaines années.

2.3.3 Taux de retour des mauvaises saisons

Plus que l'évolution de l'indice de fiabilité en tant que telle, la récurrence des saisons difficiles peut avoir un impact sur la possibilité de maintenir l'exploitation du domaine skiable. Le taux de retour des mauvaises saisons est donc un indicateur clé pour évaluer les effets du changement climatique dans les stations de ski : il représente la fréquence à laquelle les hivers faiblement enneigés (pires conditions susceptibles de se reproduire 1 année sur 5 durant la période de référence 1986-2015) vont se reproduire dans le futur.

Les graphiques représentent la probabilité de retour d'une saison avec un indice de fiabilité de l'enneigement en-dessous de celui défini, sur la période passée, par le Q20. Par exemple, si la fréquence à une certaine date est de 50%, cela signifie qu'à cette date on a 1 probabilité sur 2 de rencontrer les mêmes mauvaises conditions d'enneigement qui, dans le passé, se présentaient 1 année sur 5. Par définition, donc, l'indice de fiabilité décroit quand la fréquence de retour des mauvaises saisons augmente.

2.3.4 Fenêtres de froid

Le potentiel de froid pour la production de neige de culture est calculé à partir des températures humides pour l'altitude la plus basse du domaine skiable. Les graphiques montrent l'évolution de ce potentiel en fonction de la période de la saison (période "avant saison", du 01/11 au 20/12, et période de "confortement", du 21/12 au 31/01) et en fonction de l'intervalle de température considéré (entre -1°C et -4°C, entre -4°C et -6°C et <-6°C). Pour rappel, la courbe Q20 (la plus basse de chaque enveloppe) donne le potentiel de froid des 3 saisons les plus chaudes sur 15 centrées sur l'année considérée : si on dimensionnait une l'installation de neige de culture sur le potentiel de froid du Q20, on fiabiliserait 4 saisons sur 5.

2.3.5 Consommation en eau pour la production de neige de culture

Les volumes de consommation en eau simulés expriment un besoin pour la production de neige en fonction des pratiques actuelles et en fonction de l'évolution des conditions de production. Les simulations ne présument pas de la disponibilité de la ressource : l'eau n'est pas une contrainte et seul le climat a un impact sur l'évolution de la production. Indirectement, l'évolution de la consommation en eau traduit donc également la capacité de production. En effet, l'évolution du climat influe à la fois sur l'accroissement du besoin et sur la dégradation des facteurs de production qui dépendent également du climat (température humide, vent). Ainsi, en fin de siècle, une diminution de la consommation en eau traduit généralement une évolution vers des conditions de production défavorables plutôt qu'une diminution du besoin.

Significations d'un palier :

- hyp 1 : le potentiel froid est constant et le besoin en neige de culture est supérieur ou égal au volume permis par la capacité de production de l'installation,
- hyp 2 : le besoin en neige de culture est constant et le potentiel froid est suffisant pour produire la sous-couche et maintenir les 60 cm.

Signification d'une portion de courbe croissante :

— le besoin en neige de culture augmente et le potentiel froid est suffisant pour augmenter la production.

Signification d'une portion de courbe décroissante :

- hyp 1 : le besoin en neige de culture décroit,
- hyp 2: le besoin est stable ou croissant mais le potentiel froid diminue.

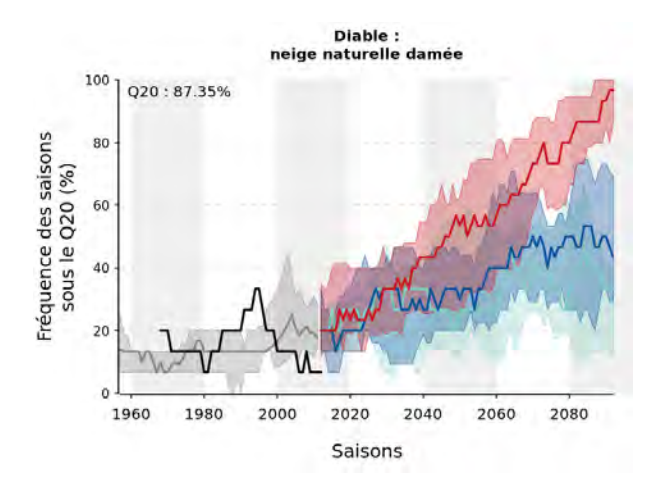


FIGURE 28 – Évolution du taux de retour des mauvaises saisons en neige naturelle damée.

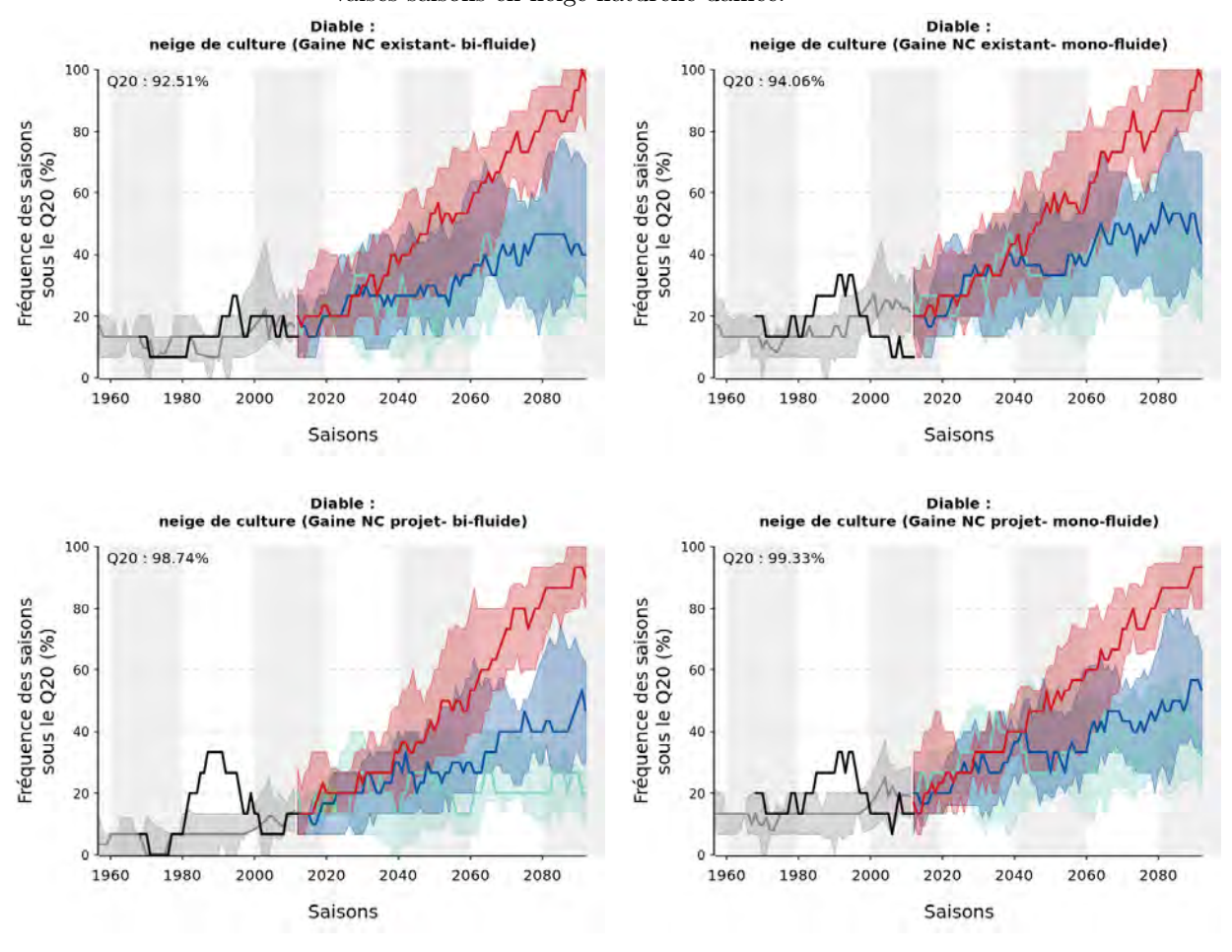


FIGURE 29 – Évolution du taux de retour des mauvaises saisons avec des équipements de type "perches" (à gauche) et "ventilateurs" (à droite). Les graphiques du haut correspondent aux installations actuelles, ceux du bas aux installations prévues dans les prochaines années.

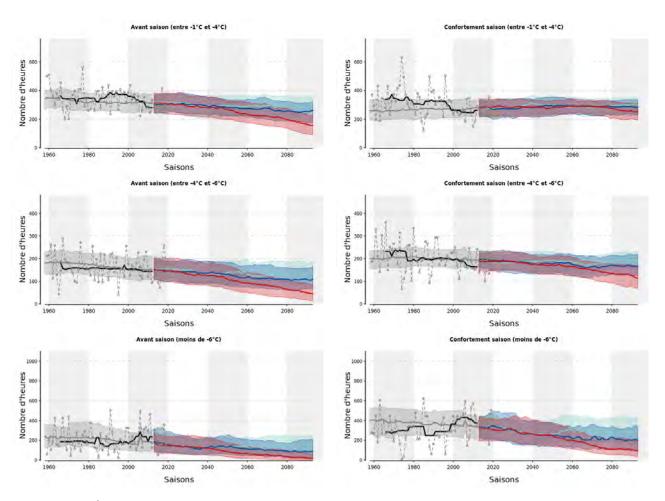


FIGURE 30 – Évolution du potentiel de froid à l'altitude la plus basse du domaine skiable, en fonction de la période de la saison (période "avant saison", du 01/11 au 20/12, et période de "confortement", du 21/12 au 31/01) et en fonction de l'intervalle de température considéré (entre -1°C et -4°C, entre -4°C et -6°C et <-6°C).

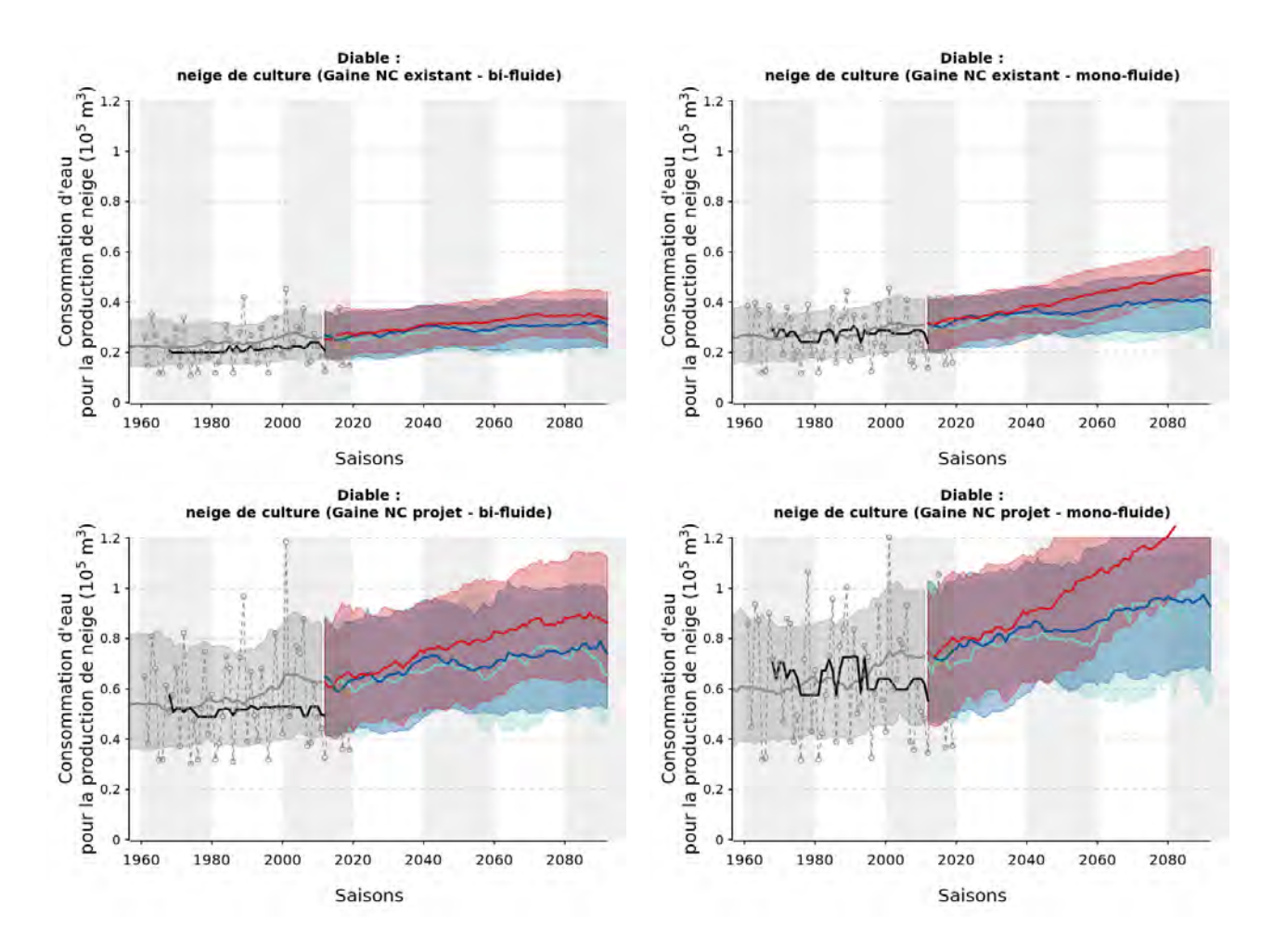


FIGURE 31 – Évolution de la consommation en eau pour la production de neige de culture avec des équipements de type "perches" (à gauche) et "ventilateurs" (à droite). Les graphiques du haut correspondent aux installations actuelles, ceux du bas aux installations prévues dans les prochaines années.

2.3.6 Durée d'enneigement

L'hétérogénéité spatiale des conditions d'enneigement est représentée à l'aide de matrices et de cartes 2D, qui montrent le nombre de jours durant lesquels le niveau d'enneigement dépasse un seuil défini comme la quantité de neige suffisante pour permettre la pratique du ski. Ce seuil est fixé à une quantité de neige équivalente à 20 cm de neige damée, quelle que soit son origine (précipitations naturelles ou production).

Les matrices permettent de comparer le nombre de jours pendant lesquels la pratique du ski sera possible, pour trois altitudes ciblées (bas, milieu et haut du domaine) et en fonction de la période future, du scénario climatique et des équipements installés. Les cartes 2D correspondent quand à elles au scénario RCP8.5 et à des installations existantes et futures de type "perches". Elles permettent de :

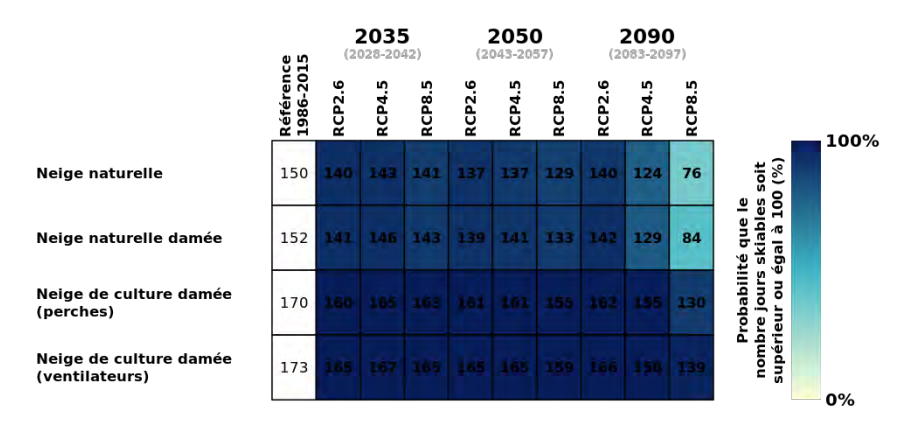
- comparer des dates différentes (2020, 2035 et 2050),
- comparer des conditions d'enneigement correspondant à des saisons moyennes (Q50) et à des saisons mauvaises (Q20),
- analyser la façon dont la station va faire face aux effets du changement climatique, si elle garde ses équipements actuels et avec la prise en compte des projets d'aménagement futurs.

2090 2035 2050 Référence 1986-2015 RCP4.5 RCP8.5 RCP2.6 100% Probabilité que le nombre jours skiables soit supérieur ou égal à 100 (%) Neige naturelle Neige naturelle damée 165 Neige de culture damée 174 (perches) Neige de culture damée (ventilateurs)

Altitude maximum (2720m)

Altitude moyenne (2426m)

0%



Altitude minimum (2132m)

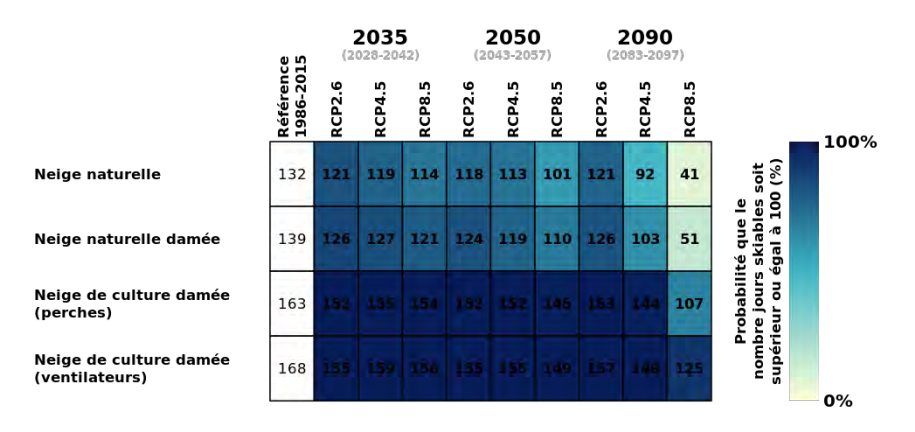


FIGURE 32 – Nombre de jours pendant lesquels la pratique du ski sera possible sur le domaine considéré, pour l'altitude minimum, moyenne et maximum (du bas vers le haut).

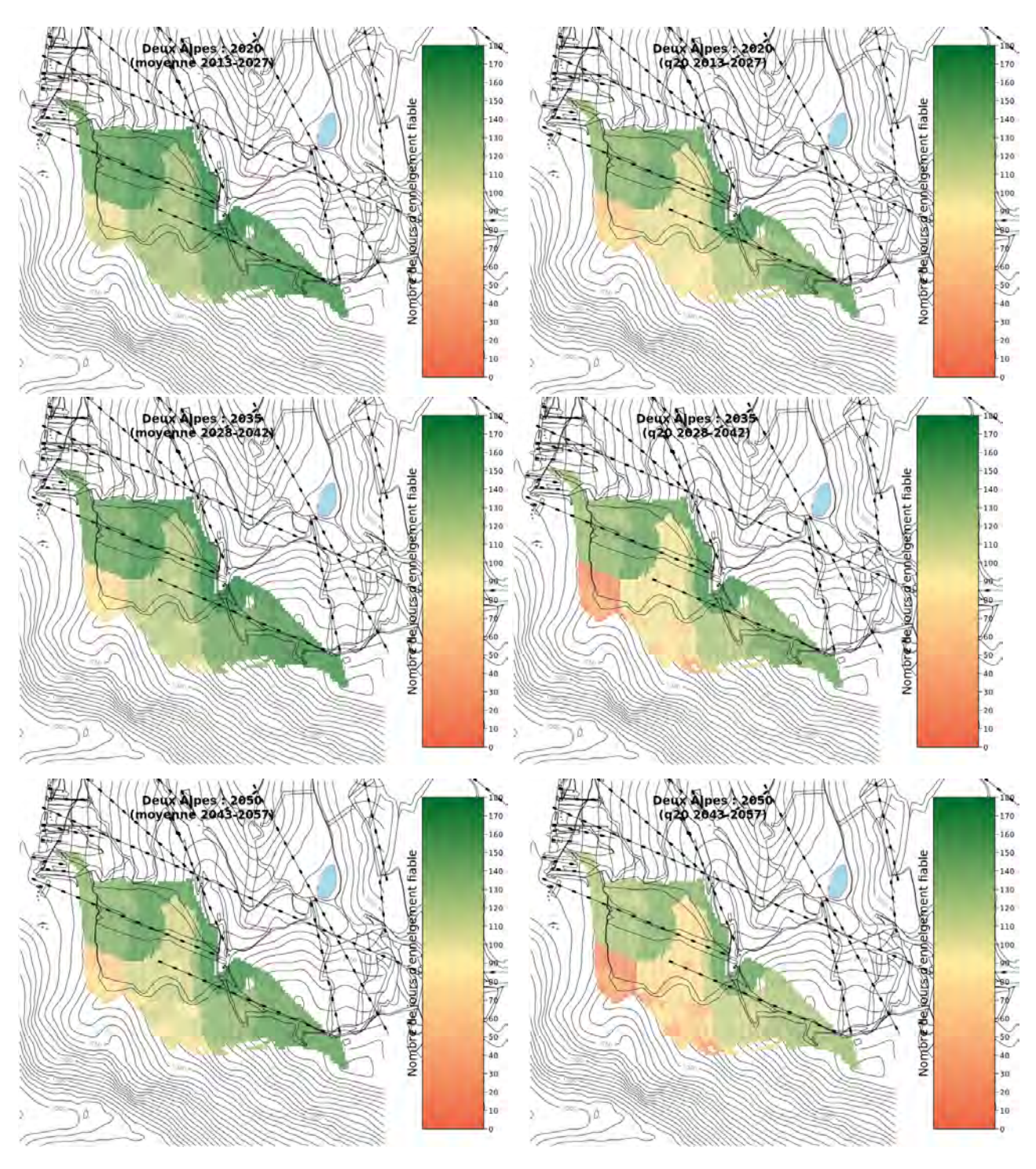


FIGURE 33 – Nombre de jours pendant lesquels la pratique du ski sera possible, en prenant en compte les équipements actuels et en fonction de l'horizon temporel considéré (du haut vers le bas : 2020, 2035, 2050). La colonne de gauche montre les conditions d'enneigement des saisons moyennes (Q50) et celle de droite les conditions d'enneigement des saisons mauvaises (Q20).

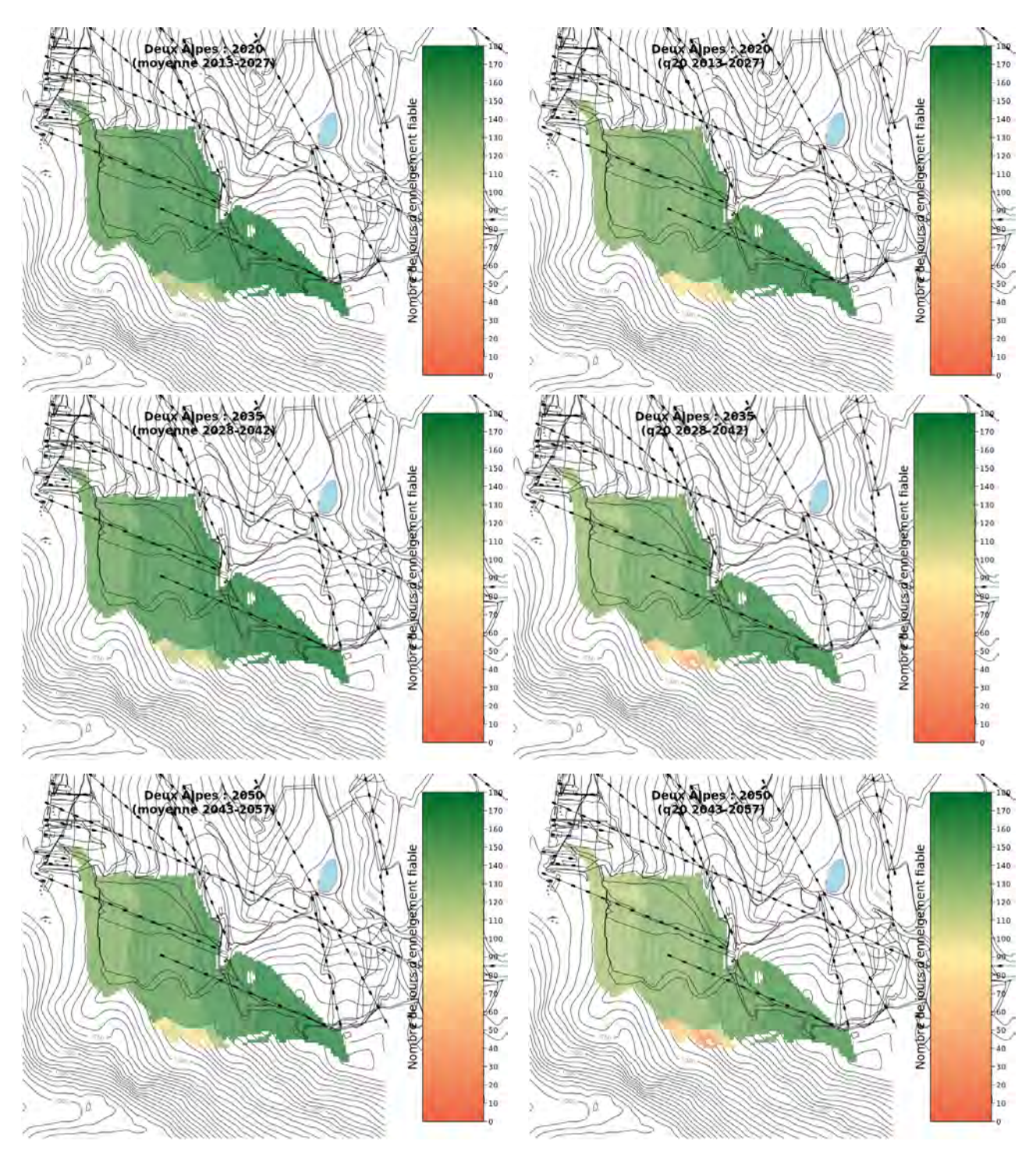


FIGURE 34 – Nombre de jours pendant lesquels la pratique du ski sera possible, en prenant en compte les projets d'aménagement futurs et en fonction de l'horizon temporel considéré (du haut vers le bas : 2020, 2035, 2050). La colonne de gauche montre les conditions d'enneigement des saisons moyennes (Q50) et celle de droite les conditions d'enneigement des saisons mauvaises (Q20).

2.4 GLACIER

2.4.1 Caractéristiques du domaine : RM, pistes, neige de culture

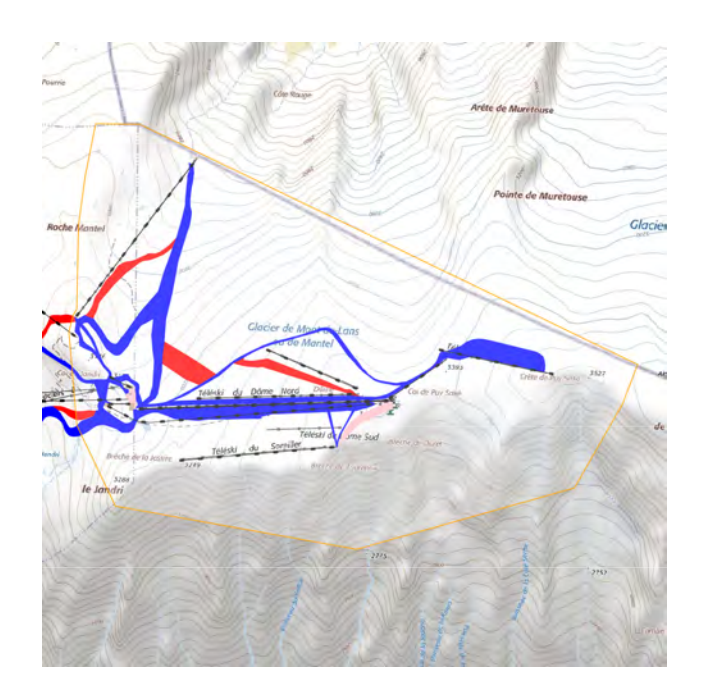




FIGURE 35 – A gauche : carte du domaine, avec ses remontées mécaniques et ses pistes (les couleurs correspondent aux niveaux de difficulté). A droite : zones couvertes par la neige de culture (comprenant les projets futurs en bleu clair).

2.4.2 Indice de fiabilité de l'enneigement

L'indice de fiabilité de l'enneigement est calculé chaque année pour l'ensemble du domaine skiable. Il traduit les conditions d'exploitation, en prenant en compte les caractéristiques topographiques des pistes et la répartition des remontées mécaniques en fonction de l'altitude. Cet indicateur peut être interprété comme la part du domaine skiable exploitable (entre 0% et 100%) et dépend donc non seulement du scénario d'émission de gaz à effet de serre, mais aussi des équipements de la station et des techniques de gestion de la neige (damage, production de neige de culture).

Les graphiques représentent l'évolution de l'indice de fiabilité de l'enneigement (pourcentage du domaine skiable qui peut être ouvert aux clients pendant toute la saison) sur une période de 15 années centrée sur l'année considérée (soit 2013-2027 pour l'année 2020). Le Q20 de l'indice de fiabilité de l'enneigement est calculé sur la période de référence passée (1986-2015) et correspond aux conditions d'enneigement qui permettent de séparer les 20 pires saisons sur un échantillon de 100. Par exemple, un Q20 de 33% signifie que, 1 saison sur 5, on a pu ouvrir moins de 1/3 du domaine. Les éléments représentés dans tous les graphiques de ce rapport sont les suivants :

- Courbes grises : analyses historiques
- Courbes noires : **observations**
- Courbes en couleurs : projections (RCP2.6, RCP4.5, RCP8.5)
- Traits en gras: 1 chance sur 2 (moyennes)
- Enveloppes: 1 chance sur 5 (meilleures et pires saisons)
- Lignes horizontales en pointillé : Q20 de la période de référence 1986- 2015

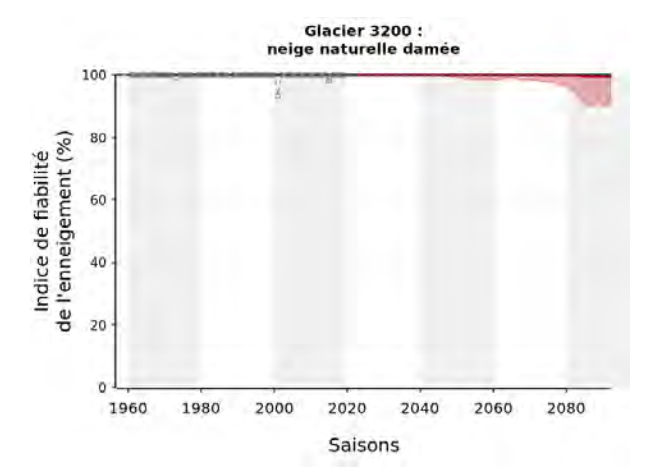


FIGURE 36 – Évolution de l'indice de fiabilité de l'enneigement en neige naturelle damée.

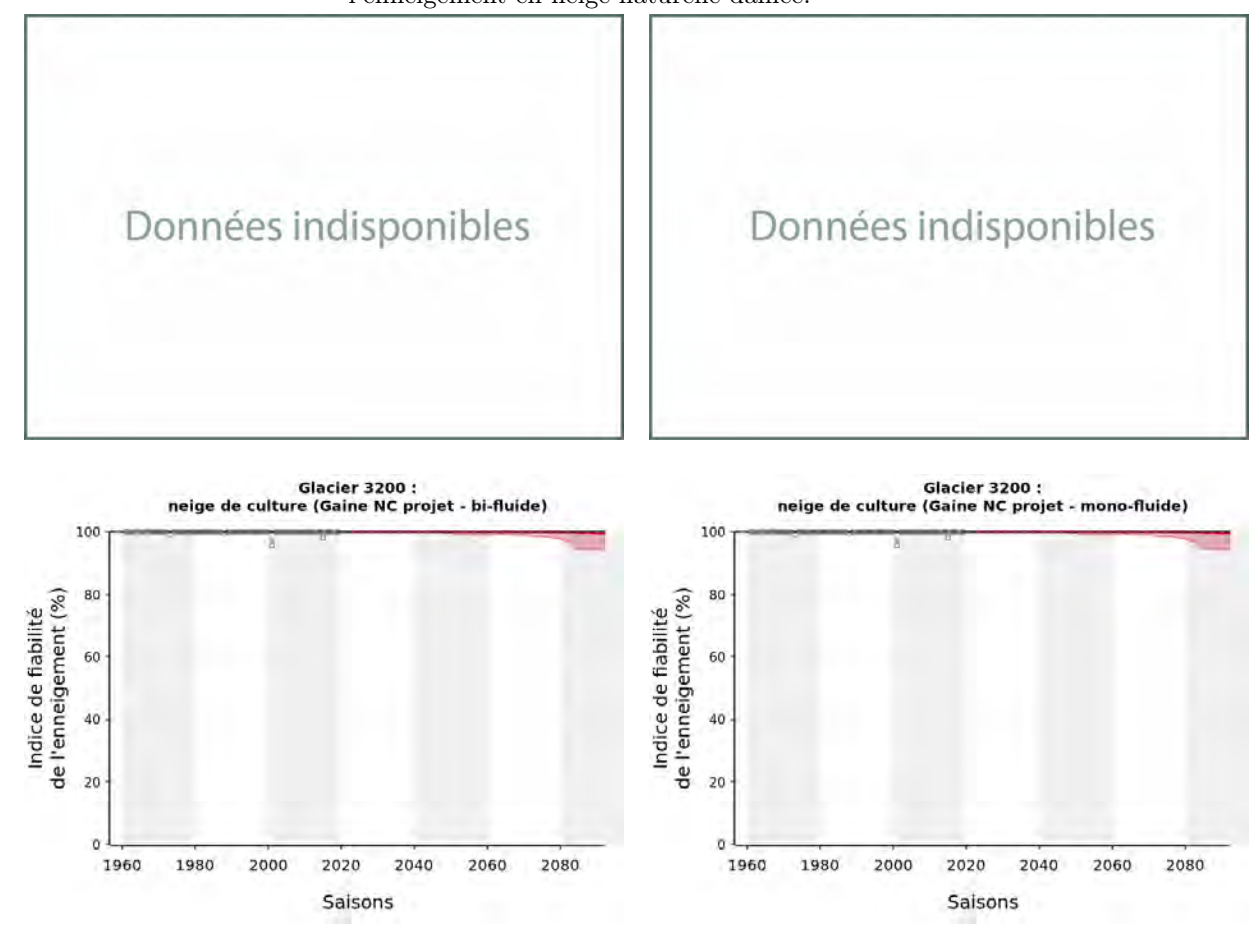


FIGURE 37 – Évolution de l'indice de fiabilité de l'enneigement avec des équipements de type "perches" (à gauche) et "ventilateurs" (à droite). Les graphiques du haut correspondent aux installations actuelles, ceux du bas aux installations prévues dans les prochaines années.

2.4.3 Taux de retour des mauvaises saisons

Plus que l'évolution de l'indice de fiabilité en tant que telle, la récurrence des saisons difficiles peut avoir un impact sur la possibilité de maintenir l'exploitation du domaine skiable. Le taux de retour des mauvaises saisons est donc un indicateur clé pour évaluer les effets du changement climatique dans les stations de ski : il représente la fréquence à laquelle les hivers faiblement enneigés (pires conditions susceptibles de se reproduire 1 année sur 5 durant la période de référence 1986-2015) vont se reproduire dans le futur.

Les graphiques représentent la probabilité de retour d'une saison avec un indice de fiabilité de l'enneigement en-dessous de celui défini, sur la période passée, par le Q20. Par exemple, si la fréquence à une certaine date est de 50%, cela signifie qu'à cette date on a 1 probabilité sur 2 de rencontrer les mêmes mauvaises conditions d'enneigement qui, dans le passé, se présentaient 1 année sur 5. Par définition, donc, l'indice de fiabilité décroit quand la fréquence de retour des mauvaises saisons augmente.

2.4.4 Fenêtres de froid

Le potentiel de froid pour la production de neige de culture est calculé à partir des températures humides pour l'altitude la plus basse du domaine skiable. Les graphiques montrent l'évolution de ce potentiel en fonction de la période de la saison (période "avant saison", du 01/11 au 20/12, et période de "confortement", du 21/12 au 31/01) et en fonction de l'intervalle de température considéré (entre -1°C et -4°C, entre -4°C et -6°C et <-6°C). Pour rappel, la courbe Q20 (la plus basse de chaque enveloppe) donne le potentiel de froid des 3 saisons les plus chaudes sur 15 centrées sur l'année considérée : si on dimensionnait une l'installation de neige de culture sur le potentiel de froid du Q20, on fiabiliserait 4 saisons sur 5.

2.4.5 Consommation en eau pour la production de neige de culture

Les volumes de consommation en eau simulés expriment un besoin pour la production de neige en fonction des pratiques actuelles et en fonction de l'évolution des conditions de production. Les simulations ne présument pas de la disponibilité de la ressource : l'eau n'est pas une contrainte et seul le climat a un impact sur l'évolution de la production. Indirectement, l'évolution de la consommation en eau traduit donc également la capacité de production. En effet, l'évolution du climat influe à la fois sur l'accroissement du besoin et sur la dégradation des facteurs de production qui dépendent également du climat (température humide, vent). Ainsi, en fin de siècle, une diminution de la consommation en eau traduit généralement une évolution vers des conditions de production défavorables plutôt qu'une diminution du besoin.

Significations d'un palier :

- hyp 1 : le potentiel froid est constant et le besoin en neige de culture est supérieur ou égal au volume permis par la capacité de production de l'installation,
- hyp 2 : le besoin en neige de culture est constant et le potentiel froid est suffisant pour produire la sous-couche et maintenir les 60 cm.

Signification d'une portion de courbe croissante :

— le besoin en neige de culture augmente et le potentiel froid est suffisant pour augmenter la production.

Signification d'une portion de courbe décroissante :

- hyp 1 : le besoin en neige de culture décroit,
- hyp 2: le besoin est stable ou croissant mais le potentiel froid diminue.

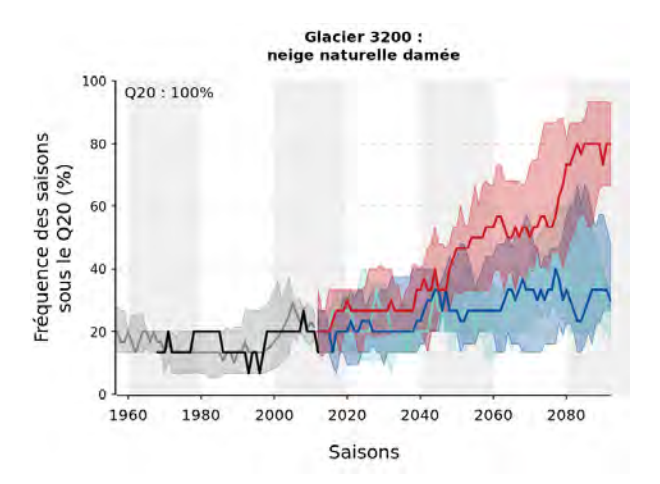


FIGURE 38 – Évolution du taux de retour des mauvaises saisons en neige naturelle damée.

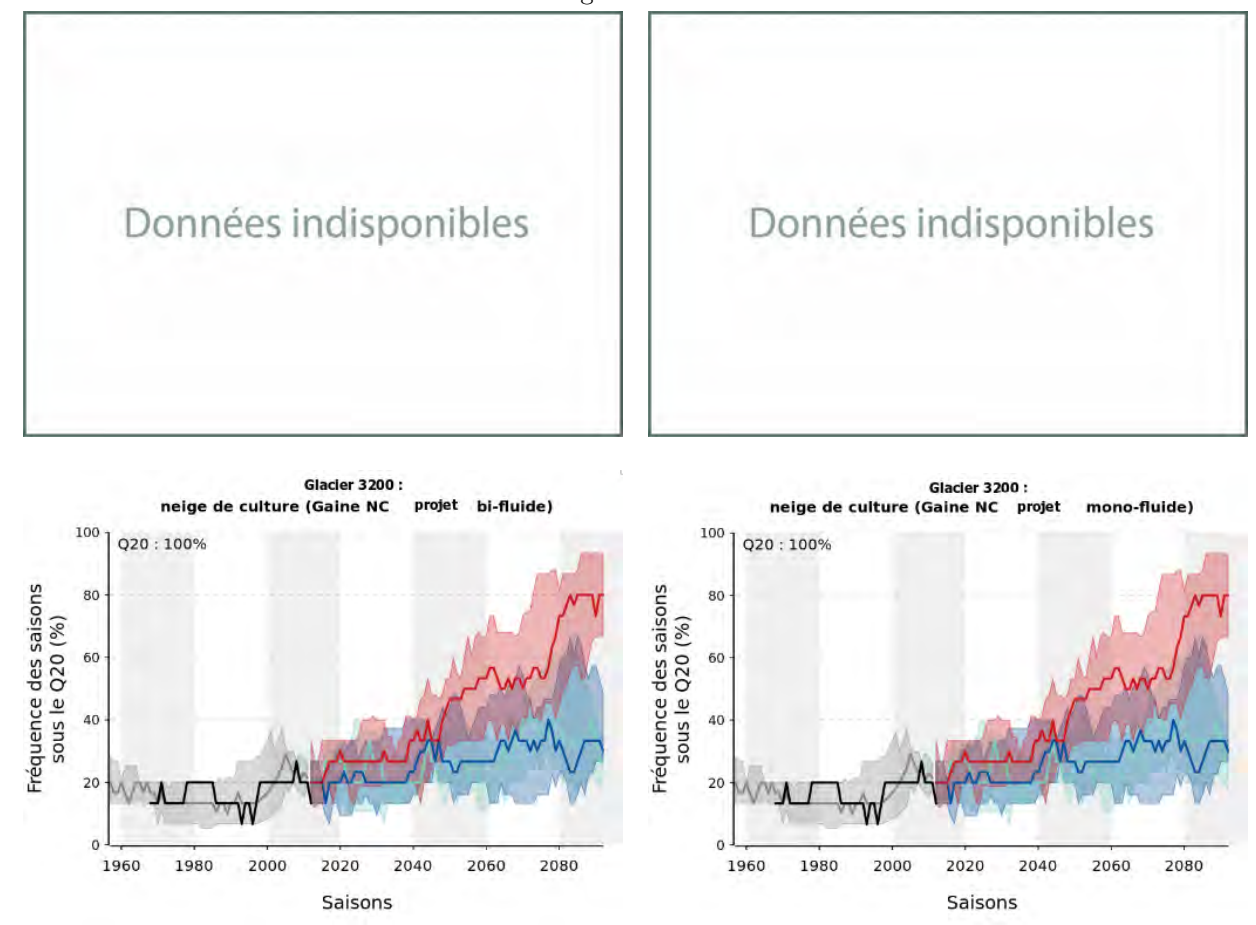


FIGURE 39 – Évolution du taux de retour des mauvaises saisons avec des équipements de type "perches" (à gauche) et "ventilateurs" (à droite). Les graphiques du haut correspondent aux installations actuelles, ceux du bas aux installations prévues dans les prochaines années.

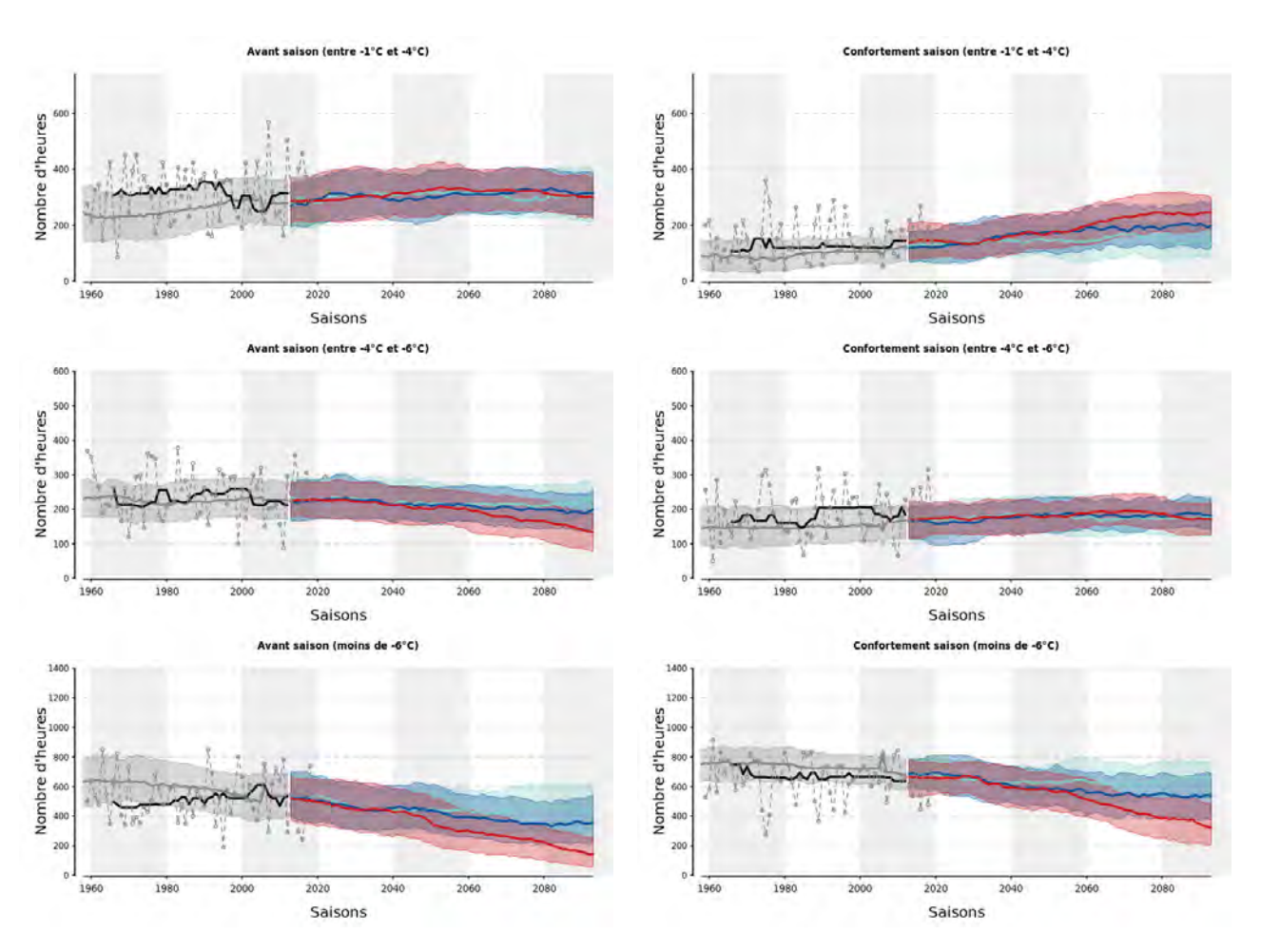


FIGURE 40 – Évolution du potentiel de froid à l'altitude la plus basse du domaine skiable, en fonction de la période de la saison (période "avant saison", du 01/11 au 20/12, et période de "confortement", du 21/12 au 31/01) et en fonction de l'intervalle de température considéré (entre -1°C et -4°C, entre -4°C et -6°C et <-6°C).

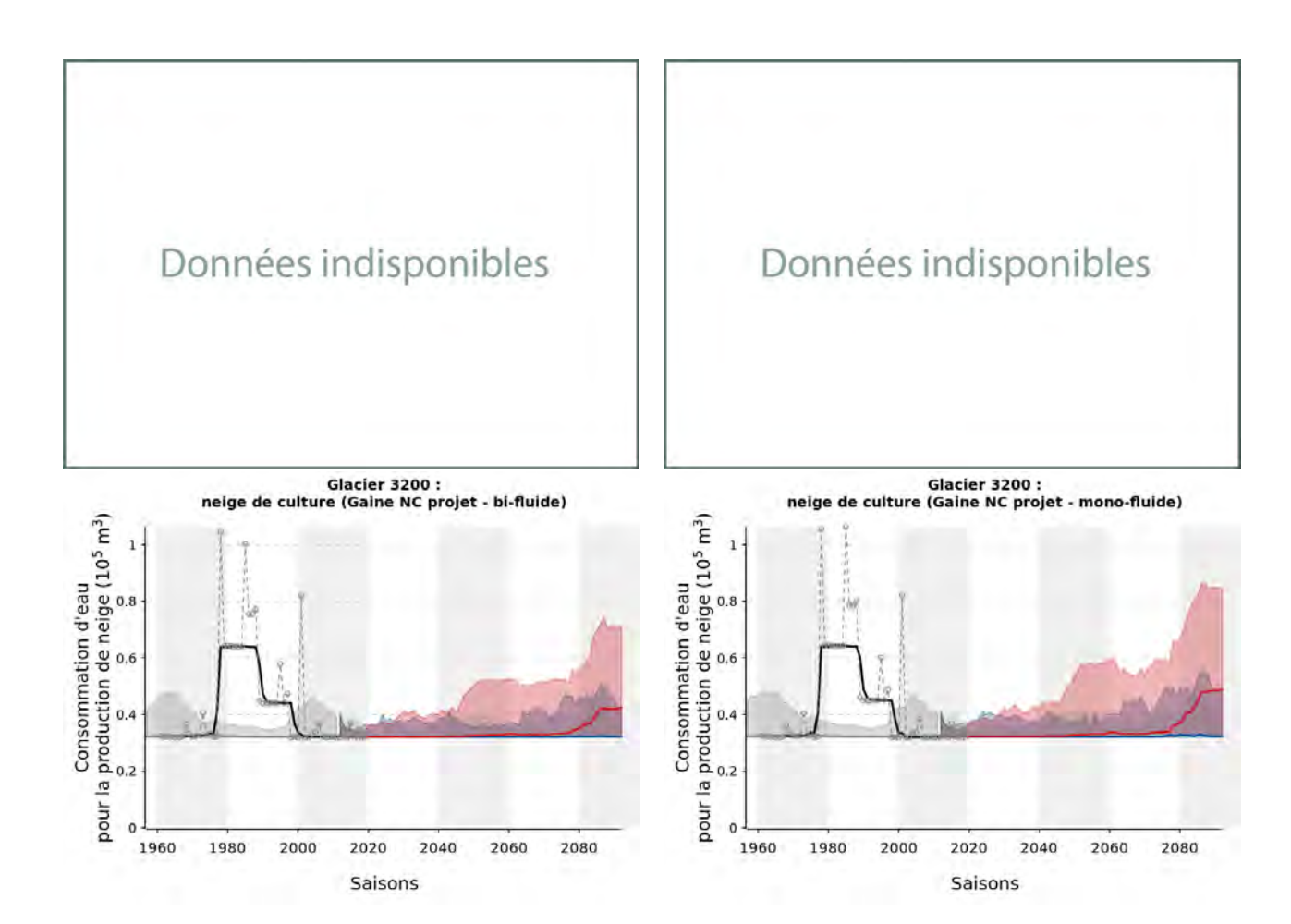


FIGURE 41 – Évolution de la consommation en eau pour la production de neige de culture avec des équipements de type "perches" (à gauche) et "ventilateurs" (à droite). Les graphiques du haut correspondent aux installations actuelles, ceux du bas aux installations prévues dans les prochaines années.

2.4.6 Durée d'enneigement

L'hétérogénéité spatiale des conditions d'enneigement est représentée à l'aide de matrices et de cartes 2D, qui montrent le nombre de jours durant lesquels le niveau d'enneigement dépasse un seuil défini comme la quantité de neige suffisante pour permettre la pratique du ski. Ce seuil est fixé à une quantité de neige équivalente à 20 cm de neige damée, quelle que soit son origine (précipitations naturelles ou production).

Les matrices permettent de comparer le nombre de jours pendant lesquels la pratique du ski sera possible, pour trois altitudes ciblées (bas, milieu et haut du domaine) et en fonction de la période future, du scénario climatique et des équipements installés. Les cartes 2D correspondent quand à elles au scénario RCP8.5 et à des installations existantes et futures de type "perches". Elles permettent de :

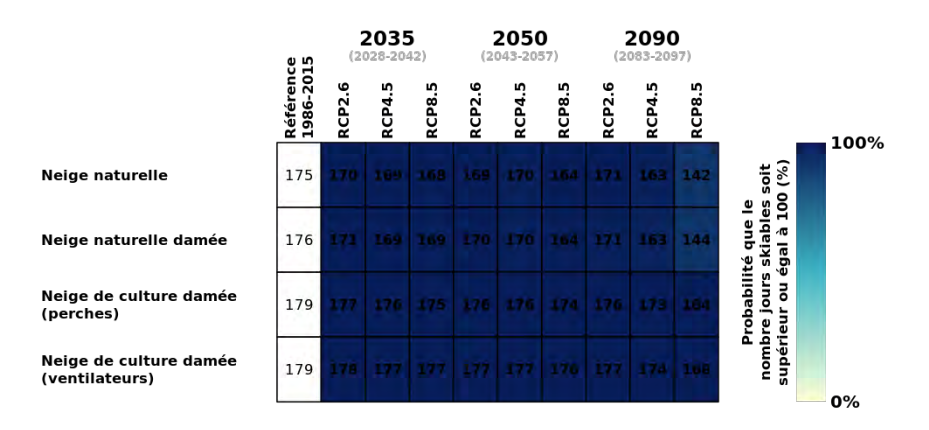
- comparer des dates différentes (2020, 2035 et 2050),
- comparer des conditions d'enneigement correspondant à des saisons moyennes (Q50) et à des saisons mauvaises (Q20),
- analyser la façon dont la station va faire face aux effets du changement climatique, si elle garde ses équipements actuels et avec la prise en compte des projets d'aménagement futurs.

| 2035 | 2050 | 2090 | (2043-2057) | (2043-2057) | (2043-2057) | (2043-2057) | (2043-2057) | (2043-2057) | (2043-2057) | (2043-2057) | (2043-2057) | (2043-2057) | (2043-2057) | (2043-2057) | (2043-2057) | (2043-2057) | (2043-2057) | (2043-2057) | (2043-2057) | (2043-2057) | (2043-2057) | (2043-2057) | (2043-2057) | (2043-2057) | (2043-2057) | (2043-2057) | (2043-2057) | (2043-2057) | (2043-2057) | (2043-2057) | (2043-2057) | (2043-2057) | (2043-2057) | (2043-2057) | (2043-2057) | (2043-2057) | (2043-2057) | (2043-2057) | (2043-2057) | (2043-2057) | (2043-2057) | (2043-2057) | (2043-2057) | (2043-2057) | (2043-2057) | (2043-2057) | (2043-2057) | (2043-2057) | (2043-2057) | (2043-2057) | (2043-2057) | (2043-2057) | (2043-2057) | (2043-2057) | (2043-2057) | (2043-2057) | (2043-2057) | (2043-2057) | (2043-2057) | (2043-2057) | (2043-2057) | (2043-2057) | (2043-2057) | (2043-2057) | (2043-2057) | (2043-2057) | (2043-2057) | (2043-2057) | (2043-2057) | (2043-2057) | (2043-2057) | (2043-2057) | (2043-2057) | (2043-2057) | (2043-2057) | (2043-2057) | (2043-2057) | (2043-2057) | (2043-2057) | (2043-2057) | (2043-2057) | (2043-2057) | (2043-2057) | (2043-2057) | (2043-2057) | (2043-2057) | (2043-2057) | (2043-2057) | (2043-2057) | (2043-2057) | (2043-2057) | (2043-2057) | (2043-2057) | (2043-2057) | (2043-2057) | (2043-2057) | (2043-2057) | (2043-2057) | (2043-2057) | (2043-2057) | (2043-2057) | (2043-2057) | (2043-2057) | (2043-2057) | (2043-2057) | (2043-2057) | (2043-2057) | (2043-2057) | (2043-2057) | (2043-2057) | (2043-2057) | (2043-2057) | (2043-2057) | (2043-2057) | (2043-2057) | (2043-2057) | (2043-2057) | (2043-2057) | (2043-2057) | (2043-2057) | (2043-2057) | (2043-2057) | (2043-2057) | (2043-2057) | (2043-2057) | (2043-2057) | (2043-2057) | (2043-2057) | (2043-2057) | (2043-2057) | (2043-2057) | (2043-2057) | (2043-2057) | (2043-2057) | (2043-2057) | (2043-2057) | (2043-2057) | (2043-2057) | (2043-2057) | (2043-2057) | (2043-2057) | (2043-2057) | (2043-2057) | (2043-2057) | (2043-2057) | (2043-2057) | (2043-2

Altitude maximum (3521m)

Altitude moyenne (3203m)

0%



Altitude minimum (2804m)

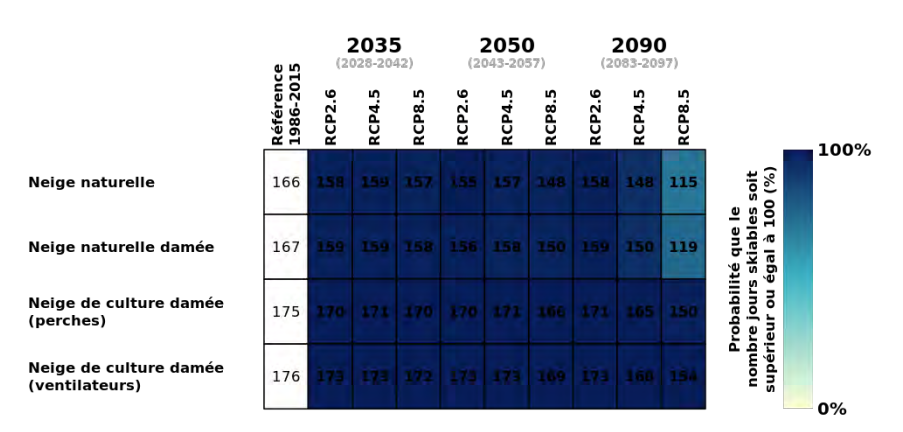


FIGURE 42 – Nombre de jours pendant lesquels la pratique du ski sera possible sur le domaine considéré, pour l'altitude minimum, moyenne et maximum (du bas vers le haut).

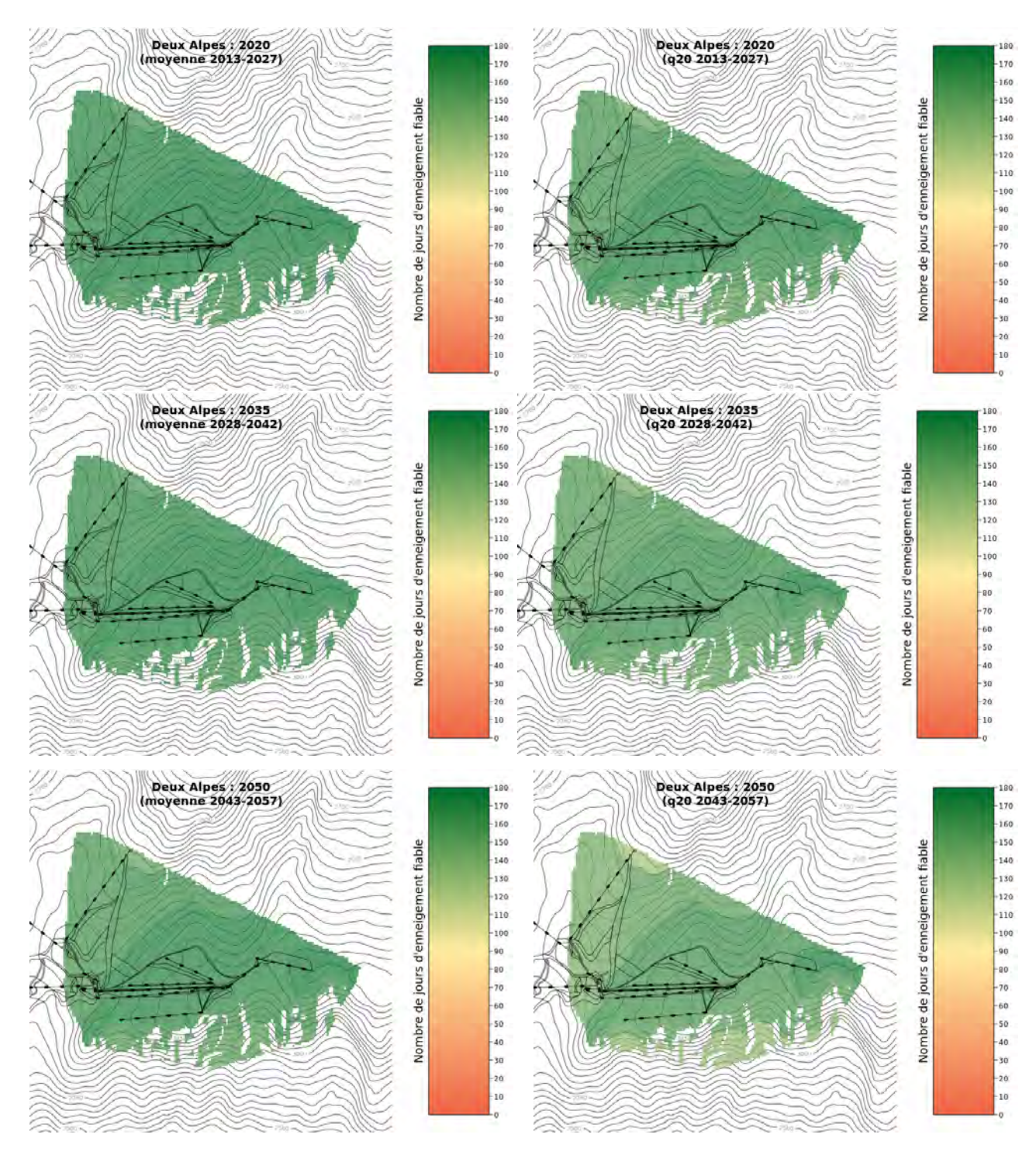


FIGURE 43 – Nombre de jours pendant lesquels la pratique du ski sera possible, en prenant en compte les équipements actuels et en fonction de l'horizon temporel considéré (du haut vers le bas : 2020, 2035, 2050). La colonne de gauche montre les conditions d'enneigement des saisons moyennes (Q50) et celle de droite les conditions d'enneigement des saisons mauvaises (Q20).

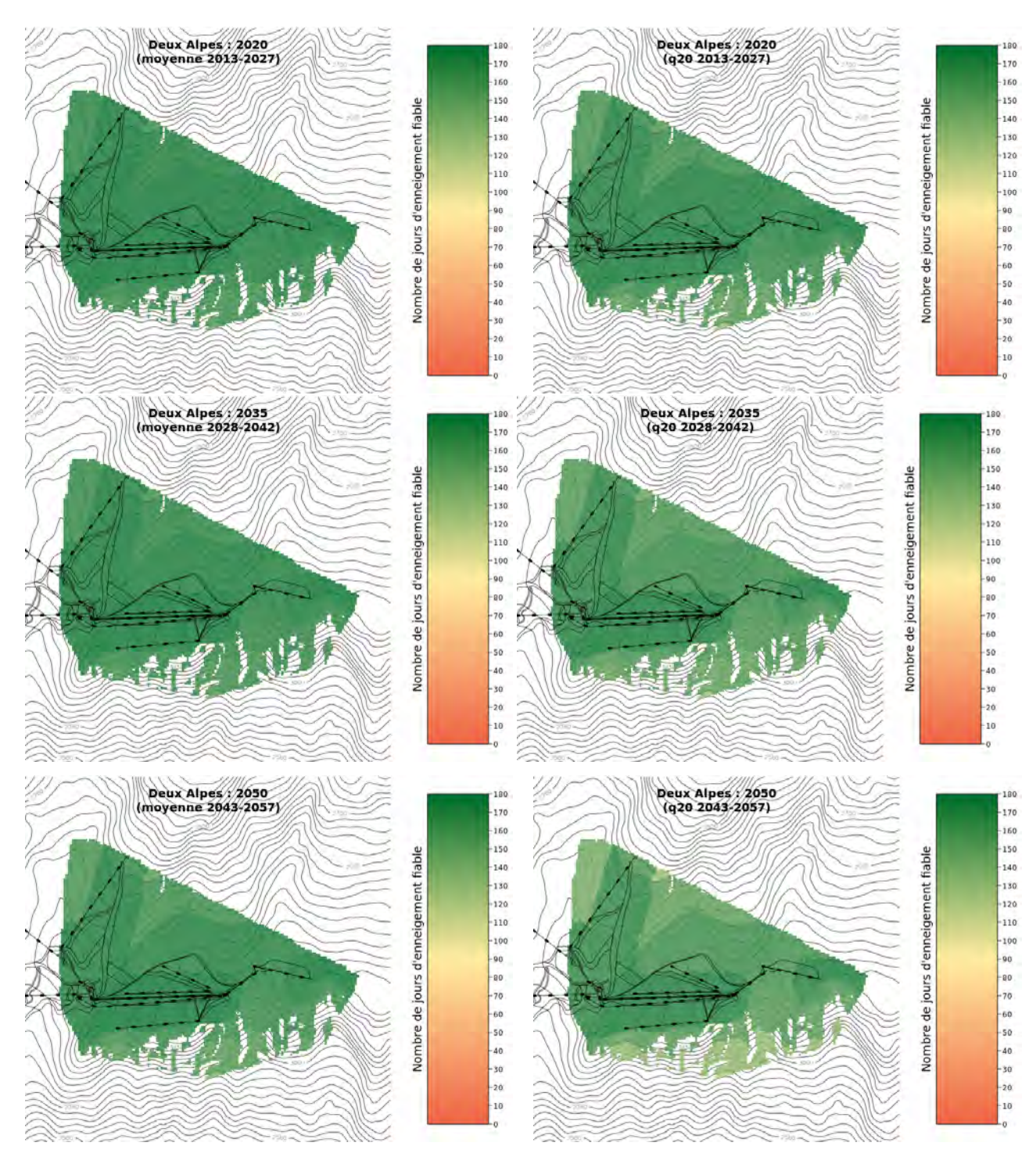


FIGURE 44 – Nombre de jours pendant lesquels la pratique du ski sera possible, en prenant en compte les projets d'aménagement futurs et en fonction de l'horizon temporel considéré (du haut vers le bas : 2020, 2035, 2050). La colonne de gauche montre les conditions d'enneigement des saisons moyennes (Q50) et celle de droite les conditions d'enneigement des saisons mauvaises (Q20).

2.5 VALLEE-BLANCHE

2.5.1 Caractéristiques du domaine : RM, pistes, neige de culture

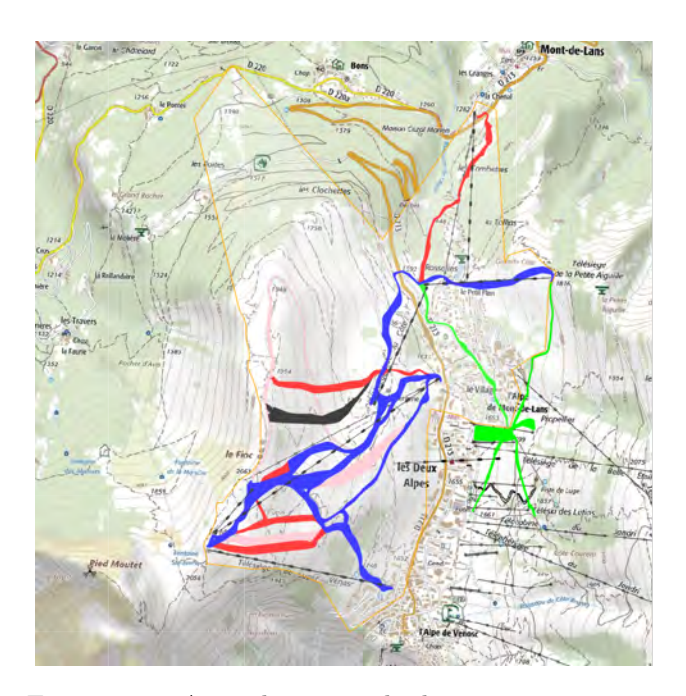




FIGURE 45 – A gauche : carte du domaine, avec ses remontées mécaniques et ses pistes (les couleurs correspondent aux niveaux de difficulté). A droite : zones couvertes par la neige de culture (comprenant les projets futurs en bleu clair).

2.5.2 Indice de fiabilité de l'enneigement

L'indice de fiabilité de l'enneigement est calculé chaque année pour l'ensemble du domaine skiable. Il traduit les conditions d'exploitation, en prenant en compte les caractéristiques topographiques des pistes et la répartition des remontées mécaniques en fonction de l'altitude. Cet indicateur peut être interprété comme la part du domaine skiable exploitable (entre 0% et 100%) et dépend donc non seulement du scénario d'émission de gaz à effet de serre, mais aussi des équipements de la station et des techniques de gestion de la neige (damage, production de neige de culture).

Les graphiques représentent l'évolution de l'indice de fiabilité de l'enneigement (pourcentage du domaine skiable qui peut être ouvert aux clients pendant toute la saison) sur une période de 15 années centrée sur l'année considérée (soit 2013-2027 pour l'année 2020). Le Q20 de l'indice de fiabilité de l'enneigement est calculé sur la période de référence passée (1986-2015) et correspond aux conditions d'enneigement qui permettent de séparer les 20 pires saisons sur un échantillon de 100. Par exemple, un Q20 de 33% signifie que, 1 saison sur 5, on a pu ouvrir moins de 1/3 du domaine. Les éléments représentés dans tous les graphiques de ce rapport sont les suivants :

- Courbes grises : analyses historiques
- Courbes noires : **observations**
- Courbes en couleurs : projections (RCP2.6, RCP4.5, RCP8.5)
- Traits en gras: 1 chance sur 2 (moyennes)
- Enveloppes: 1 chance sur 5 (meilleures et pires saisons)
- Lignes horizontales en pointillé : Q20 de la période de référence 1986- 2015

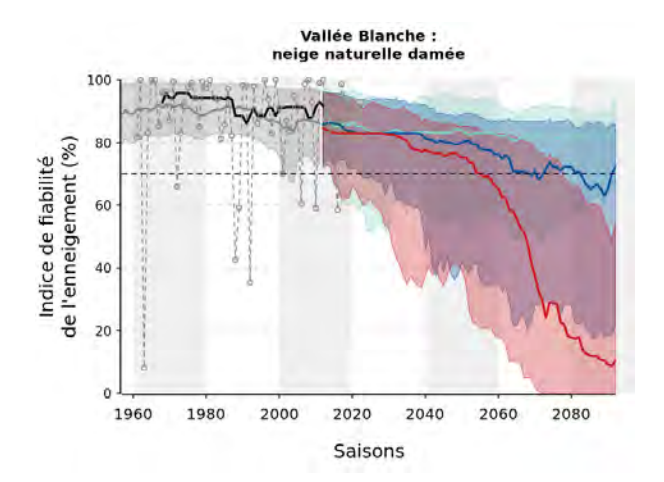


FIGURE 46 – Évolution de l'indice de fiabilité de l'enneigement en neige naturelle damée.

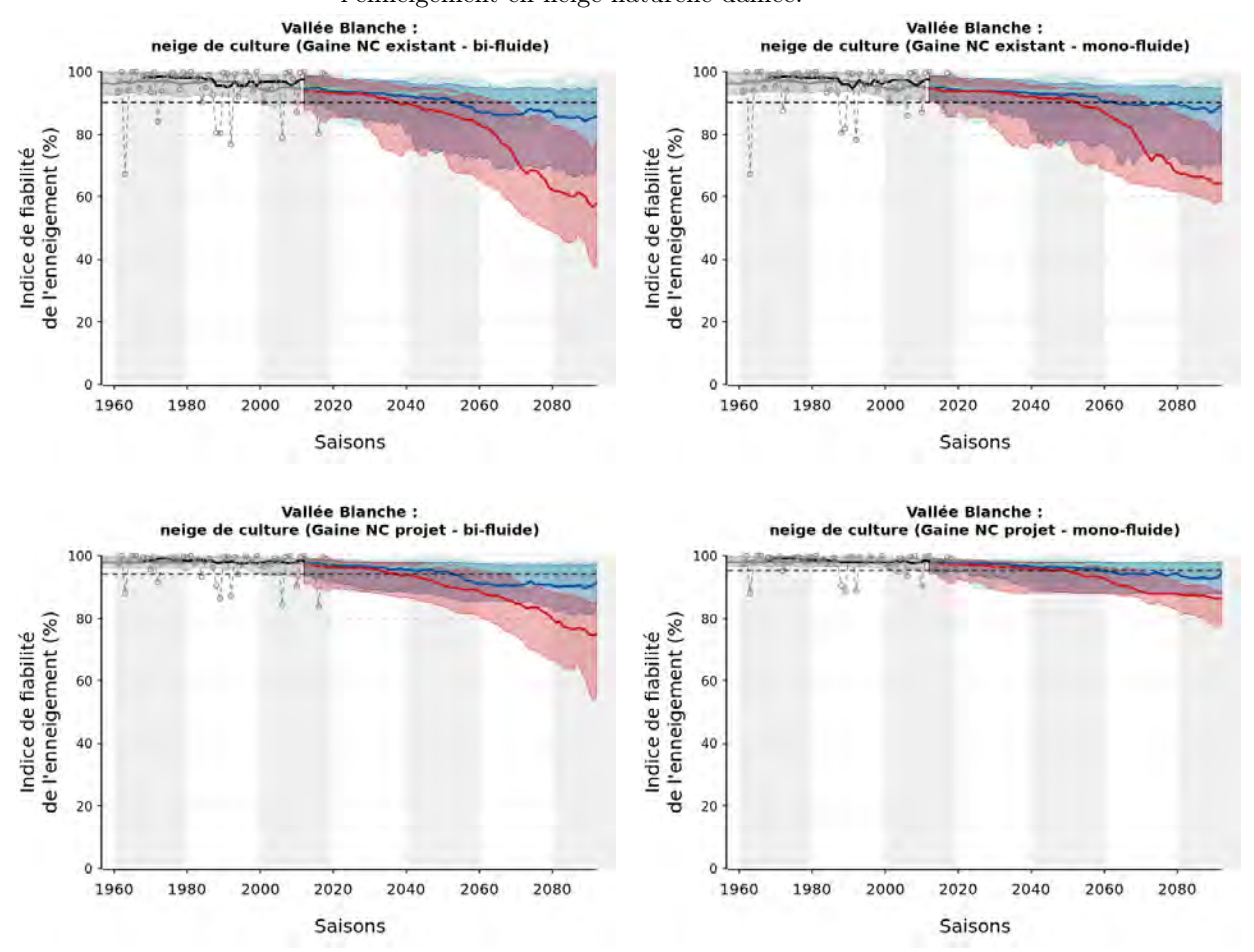


FIGURE 47 – Évolution de l'indice de fiabilité de l'enneigement avec des équipements de type "perches" (à gauche) et "ventilateurs" (à droite). Les graphiques du haut correspondent aux installations actuelles, ceux du bas aux installations prévues dans les prochaines années.

2.5.3 Taux de retour des mauvaises saisons

Plus que l'évolution de l'indice de fiabilité en tant que telle, la récurrence des saisons difficiles peut avoir un impact sur la possibilité de maintenir l'exploitation du domaine skiable. Le taux de retour des mauvaises saisons est donc un indicateur clé pour évaluer les effets du changement climatique dans les stations de ski : il représente la fréquence à laquelle les hivers faiblement enneigés (pires conditions susceptibles de se reproduire 1 année sur 5 durant la période de référence 1986-2015) vont se reproduire dans le futur.

Les graphiques représentent la probabilité de retour d'une saison avec un indice de fiabilité de l'enneigement en-dessous de celui défini, sur la période passée, par le Q20. Par exemple, si la fréquence à une certaine date est de 50%, cela signifie qu'à cette date on a 1 probabilité sur 2 de rencontrer les mêmes mauvaises conditions d'enneigement qui, dans le passé, se présentaient 1 année sur 5. Par définition, donc, l'indice de fiabilité décroit quand la fréquence de retour des mauvaises saisons augmente.

2.5.4 Fenêtres de froid

Le potentiel de froid pour la production de neige de culture est calculé à partir des températures humides pour l'altitude la plus basse du domaine skiable. Les graphiques montrent l'évolution de ce potentiel en fonction de la période de la saison (période "avant saison", du 01/11 au 20/12, et période de "confortement", du 21/12 au 31/01) et en fonction de l'intervalle de température considéré (entre -1°C et -4°C, entre -4°C et -6°C et <-6°C). Pour rappel, la courbe Q20 (la plus basse de chaque enveloppe) donne le potentiel de froid des 3 saisons les plus chaudes sur 15 centrées sur l'année considérée : si on dimensionnait une l'installation de neige de culture sur le potentiel de froid du Q20, on fiabiliserait 4 saisons sur 5.

2.5.5 Consommation en eau pour la production de neige de culture

Les volumes de consommation en eau simulés expriment un besoin pour la production de neige en fonction des pratiques actuelles et en fonction de l'évolution des conditions de production. Les simulations ne présument pas de la disponibilité de la ressource : l'eau n'est pas une contrainte et seul le climat a un impact sur l'évolution de la production. Indirectement, l'évolution de la consommation en eau traduit donc également la capacité de production. En effet, l'évolution du climat influe à la fois sur l'accroissement du besoin et sur la dégradation des facteurs de production qui dépendent également du climat (température humide, vent). Ainsi, en fin de siècle, une diminution de la consommation en eau traduit généralement une évolution vers des conditions de production défavorables plutôt qu'une diminution du besoin.

Significations d'un palier :

- hyp 1 : le potentiel froid est constant et le besoin en neige de culture est supérieur ou égal au volume permis par la capacité de production de l'installation,
- hyp 2 : le besoin en neige de culture est constant et le potentiel froid est suffisant pour produire la sous-couche et maintenir les 60 cm.

Signification d'une portion de courbe croissante :

 le besoin en neige de culture augmente et le potentiel froid est suffisant pour augmenter la production.

Signification d'une portion de courbe décroissante :

- hyp 1 : le besoin en neige de culture décroit,
- hyp 2: le besoin est stable ou croissant mais le potentiel froid diminue.

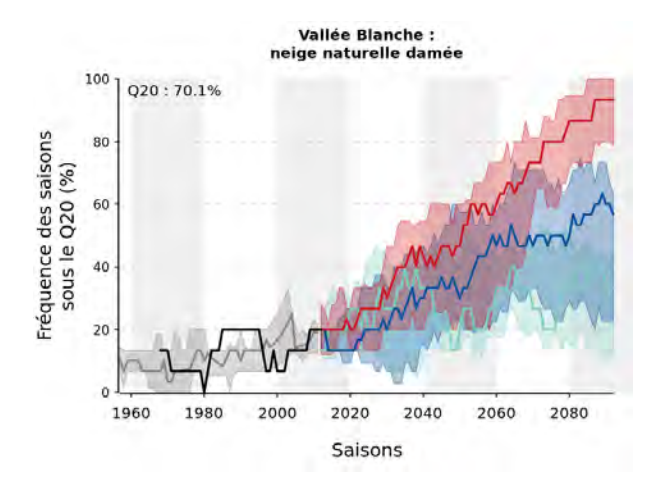


FIGURE 48 – Évolution du taux de retour des mauvaises saisons en neige naturelle damée.

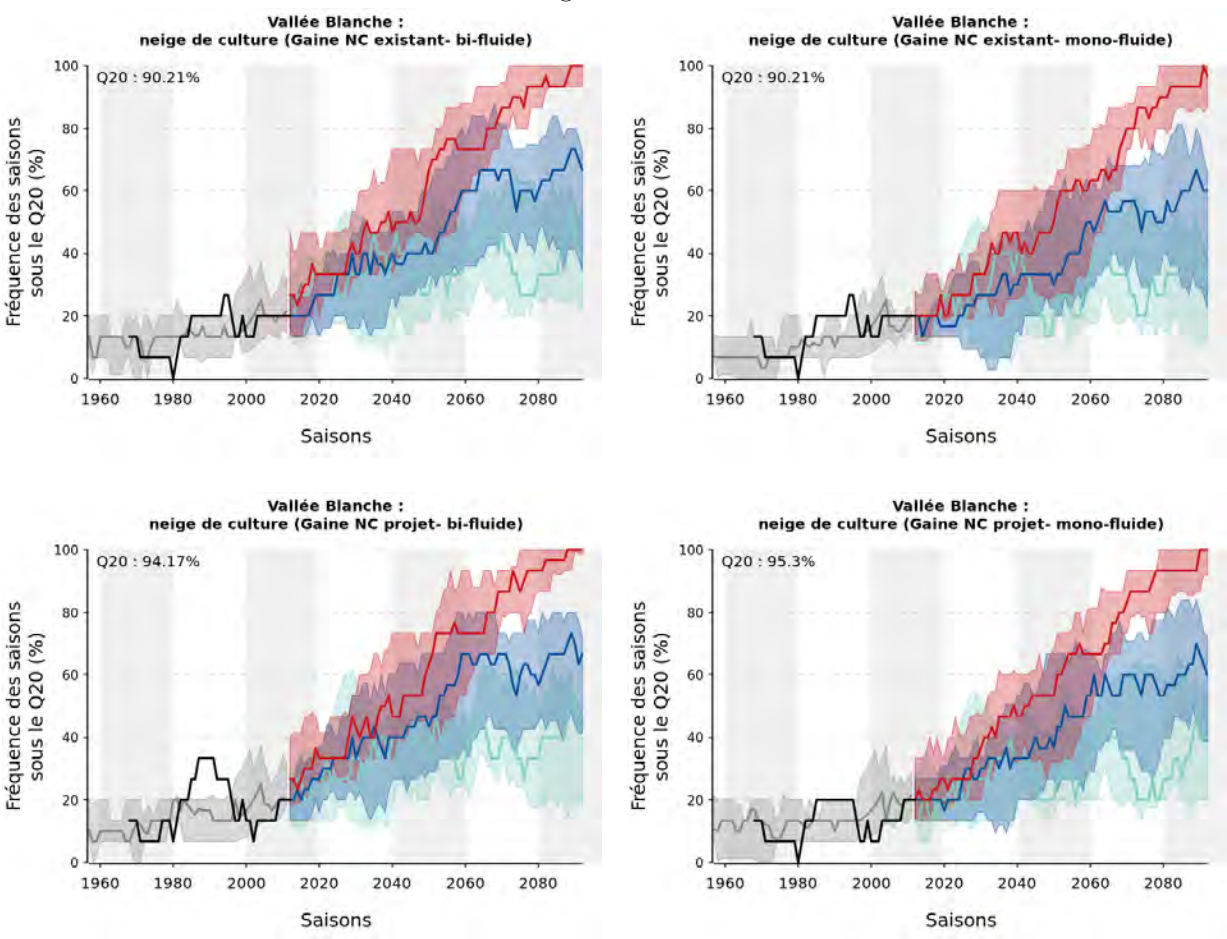


FIGURE 49 – Évolution du taux de retour des mauvaises saisons avec des équipements de type "perches" (à gauche) et "ventilateurs" (à droite). Les graphiques du haut correspondent aux installations actuelles, ceux du bas aux installations prévues dans les prochaines années.

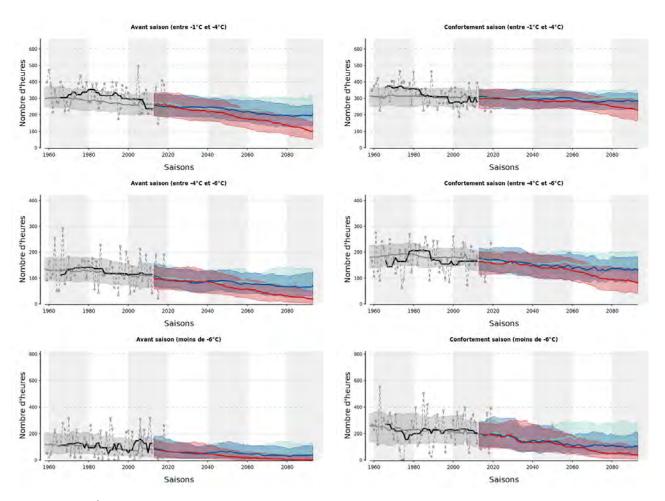


FIGURE 50 – Évolution du potentiel de froid à l'altitude la plus basse du domaine skiable, en fonction de la période de la saison (période "avant saison", du 01/11 au 20/12, et période de "confortement", du 21/12 au 31/01) et en fonction de l'intervalle de température considéré (entre -1°C et -4°C, entre -4°C et -6°C et <-6°C).

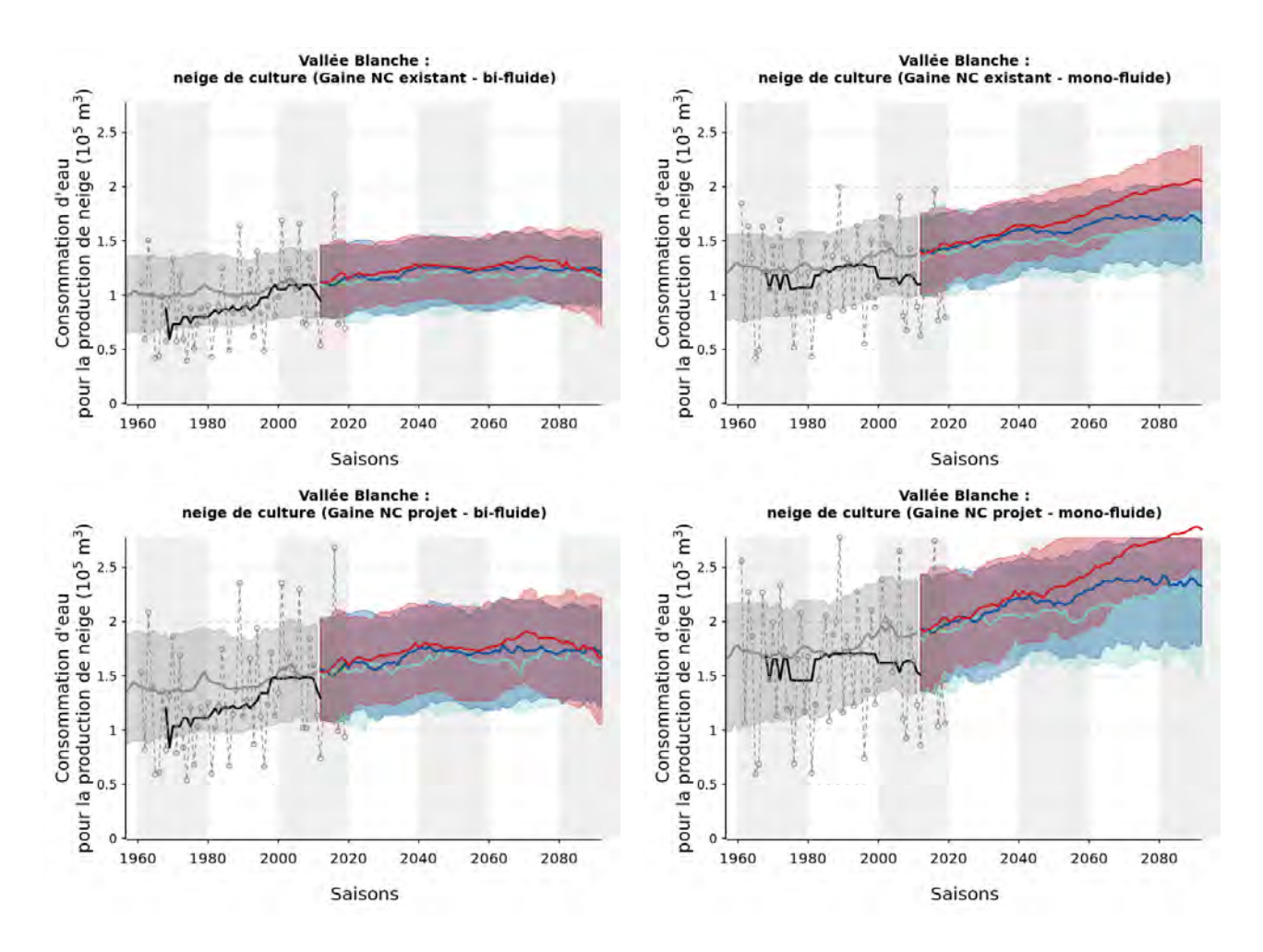


FIGURE 51 – Évolution de la consommation en eau pour la production de neige de culture avec des équipements de type "perches" (à gauche) et "ventilateurs" (à droite). Les graphiques du haut correspondent aux installations actuelles, ceux du bas aux installations prévues dans les prochaines années.

2.5.6 Durée d'enneigement

L'hétérogénéité spatiale des conditions d'enneigement est représentée à l'aide de matrices et de cartes 2D, qui montrent le nombre de jours durant lesquels le niveau d'enneigement dépasse un seuil défini comme la quantité de neige suffisante pour permettre la pratique du ski. Ce seuil est fixé à une quantité de neige équivalente à 20 cm de neige damée, quelle que soit son origine (précipitations naturelles ou production).

Les matrices permettent de comparer le nombre de jours pendant lesquels la pratique du ski sera possible, pour trois altitudes ciblées (bas, milieu et haut du domaine) et en fonction de la période future, du scénario climatique et des équipements installés. Les cartes 2D correspondent quand à elles au scénario RCP8.5 et à des installations existantes et futures de type "perches". Elles permettent de :

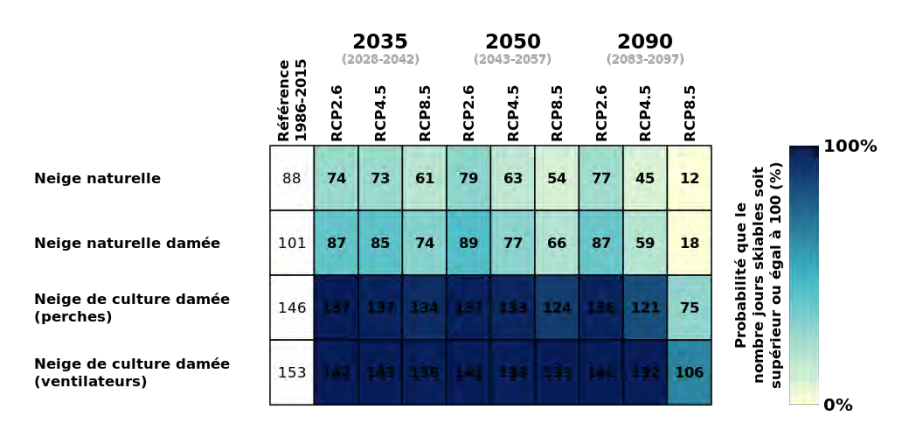
- comparer des dates différentes (2020, 2035 et 2050),
- comparer des conditions d'enneigement correspondant à des saisons moyennes (Q50) et à des saisons mauvaises (Q20),
- analyser la façon dont la station va faire face aux effets du changement climatique, si elle garde ses équipements actuels et avec la prise en compte des projets d'aménagement futurs.

2035 2090 2050 Référence 1986-2015 RCP2.6 RCP4.5 RCP8.5 RCP4.5 RCP2.6 RCP8.5 100% Probabilité que le nombre jours skiables soit supérieur ou égal à 100 (%) Neige naturelle 128 116 107 117 45 Neige naturelle damée 136 115 105 98 Neige de culture damée 103 161 (perches) Neige de culture damée 166 (ventilateurs)

Altitude maximum (2079m)

Altitude moyenne (1726m)

0%



Altitude minimum (1276m)

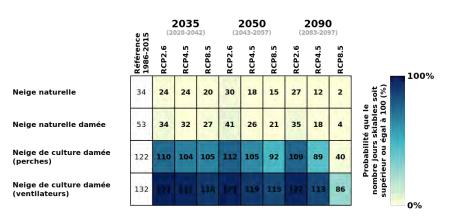


FIGURE 52 – Nombre de jours pendant lesquels la pratique du ski sera possible sur le domaine considéré, pour l'altitude minimum, moyenne et maximum (du bas vers le haut).

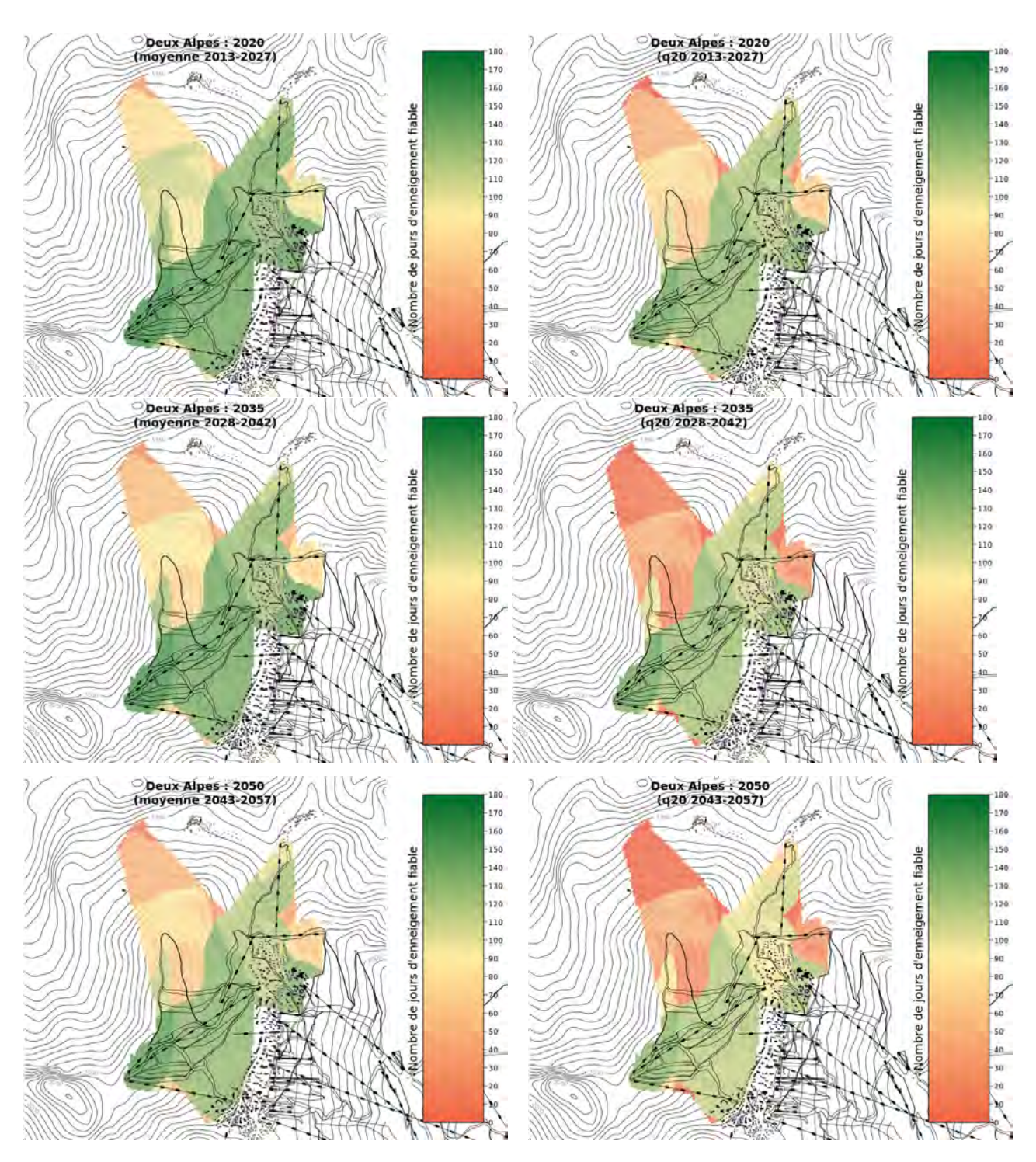


FIGURE 53 – Nombre de jours pendant lesquels la pratique du ski sera possible, en prenant en compte les équipements actuels et en fonction de l'horizon temporel considéré (du haut vers le bas : 2020, 2035, 2050). La colonne de gauche montre les conditions d'enneigement des saisons moyennes (Q50) et celle de droite les conditions d'enneigement des saisons mauvaises (Q20).

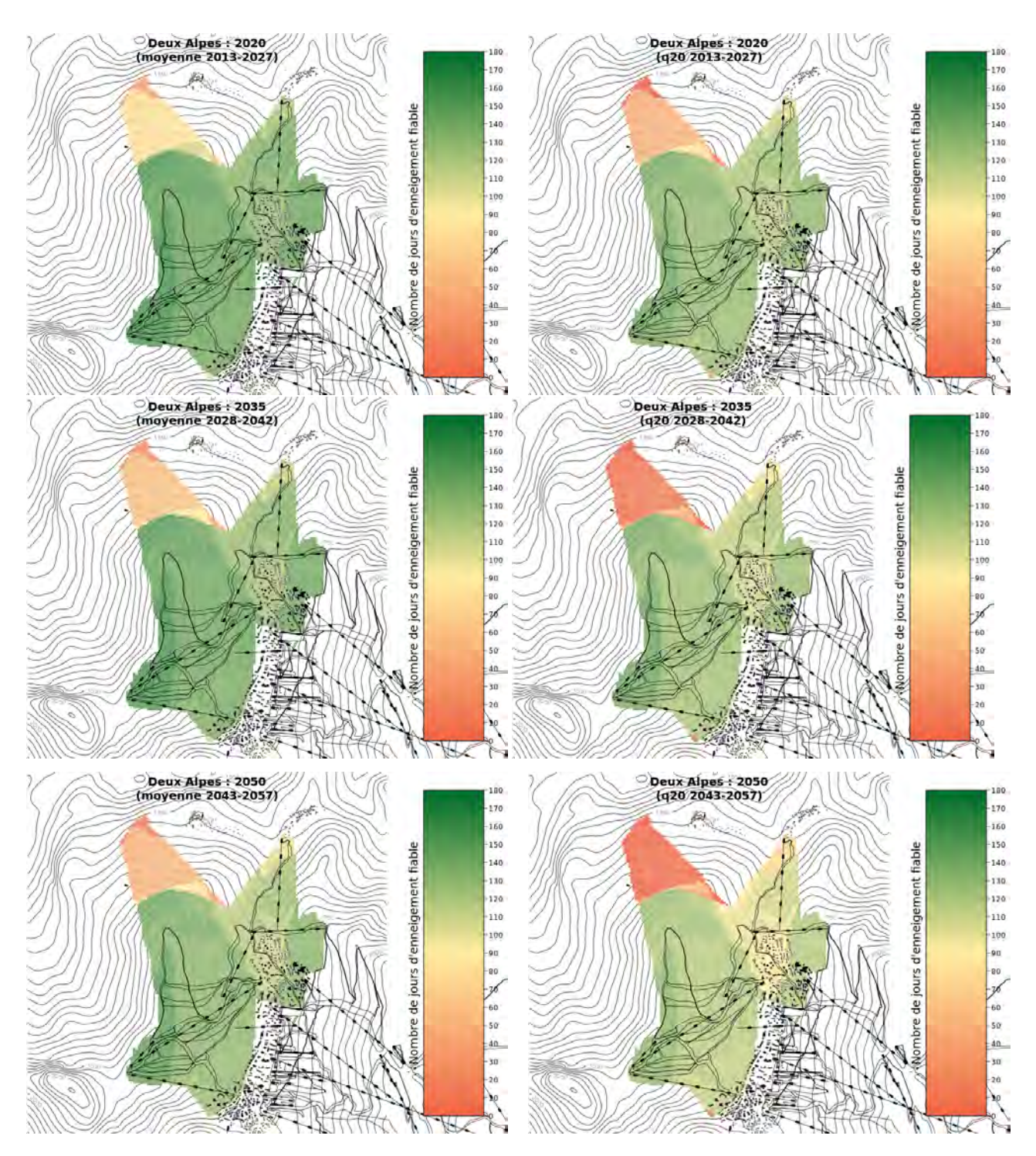


FIGURE 54 – Nombre de jours pendant lesquels la pratique du ski sera possible, en prenant en compte les projets d'aménagement futurs et en fonction de l'horizon temporel considéré (du haut vers le bas : 2020, 2035, 2050). La colonne de gauche montre les conditions d'enneigement des saisons moyennes (Q50) et celle de droite les conditions d'enneigement des saisons mauvaises (Q20).

2.6 LES-DEUX-ALPES

2.6.1 Caractéristiques du domaine : RM, pistes, neige de culture

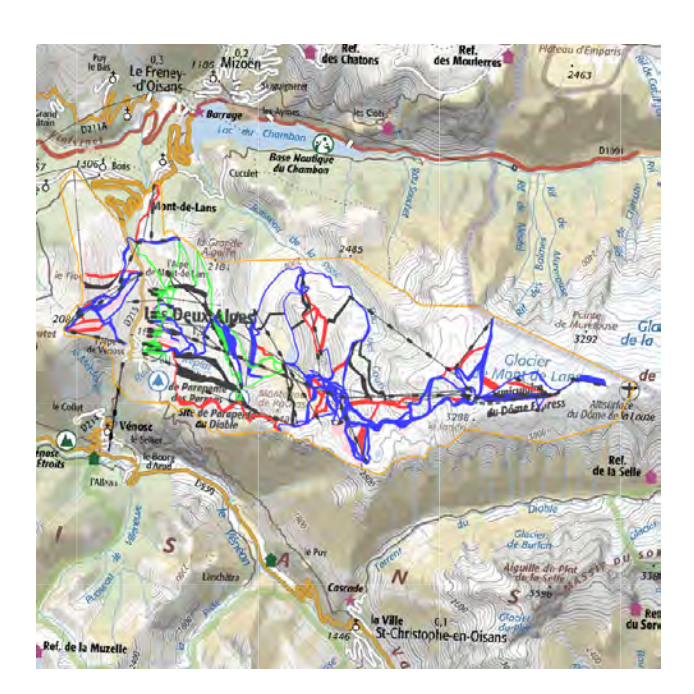




FIGURE 55 – A gauche : carte du domaine, avec ses remontées mécaniques et ses pistes (les couleurs correspondent aux niveaux de difficulté). A droite : zones couvertes par la neige de culture (comprenant les projets futurs en bleu clair).

2.6.2 Indice de fiabilité de l'enneigement

L'indice de fiabilité de l'enneigement est calculé chaque année pour l'ensemble du domaine skiable. Il traduit les conditions d'exploitation, en prenant en compte les caractéristiques topographiques des pistes et la répartition des remontées mécaniques en fonction de l'altitude. Cet indicateur peut être interprété comme la part du domaine skiable exploitable (entre 0% et 100%) et dépend donc non seulement du scénario d'émission de gaz à effet de serre, mais aussi des équipements de la station et des techniques de gestion de la neige (damage, production de neige de culture).

Les graphiques représentent l'évolution de l'indice de fiabilité de l'enneigement (pourcentage du domaine skiable qui peut être ouvert aux clients pendant toute la saison) sur une période de 15 années centrée sur l'année considérée (soit 2013-2027 pour l'année 2020). Le Q20 de l'indice de fiabilité de l'enneigement est calculé sur la période de référence passée (1986-2015) et correspond aux conditions d'enneigement qui permettent de séparer les 20 pires saisons sur un échantillon de 100. Par exemple, un Q20 de 33% signifie que, 1 saison sur 5, on a pu ouvrir moins de 1/3 du domaine. Les éléments représentés dans tous les graphiques de ce rapport sont les suivants :

- Courbes grises : analyses historiques
- Courbes noires : **observations**
- Courbes en couleurs : projections (RCP2.6, RCP4.5, RCP8.5)
- Traits en gras: 1 chance sur 2 (moyennes)
- Enveloppes: 1 chance sur 5 (meilleures et pires saisons)
- Lignes horizontales en pointillé : Q20 de la période de référence 1986- 2015

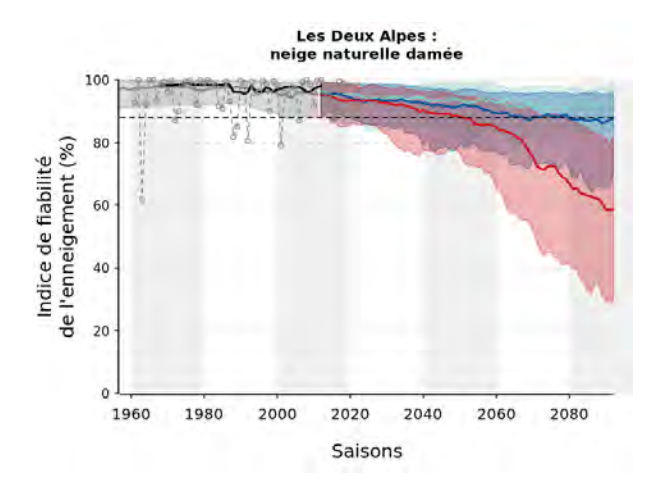


FIGURE 56 – Évolution de l'indice de fiabilité de l'enneigement en neige naturelle damée.

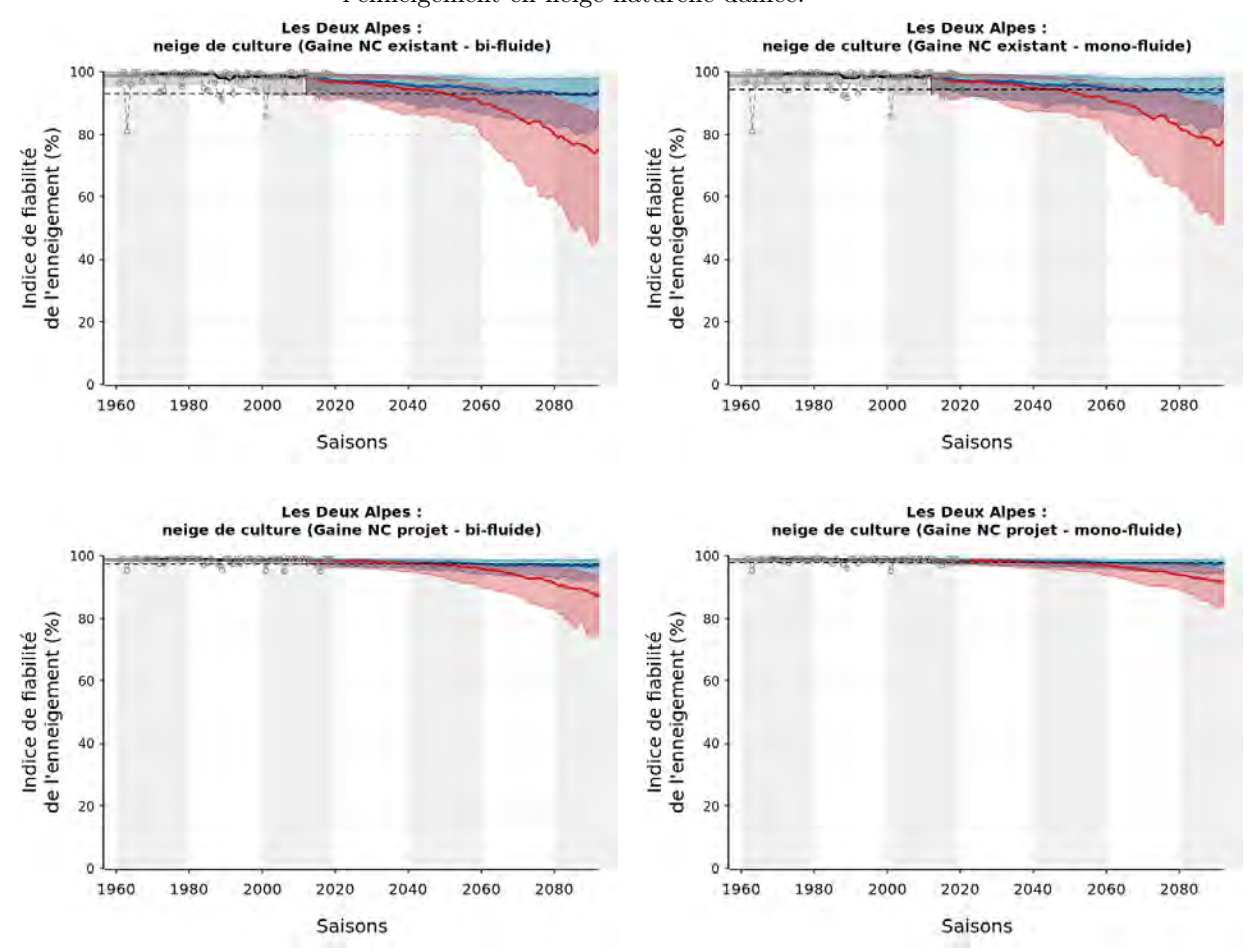


FIGURE 57 – Évolution de l'indice de fiabilité de l'enneigement avec des équipements de type "perches" (à gauche) et "ventilateurs" (à droite). Les graphiques du haut correspondent aux installations actuelles, ceux du bas aux installations prévues dans les prochaines années.

2.6.3 Taux de retour des mauvaises saisons

Plus que l'évolution de l'indice de fiabilité en tant que telle, la récurrence des saisons difficiles peut avoir un impact sur la possibilité de maintenir l'exploitation du domaine skiable. Le taux de retour des mauvaises saisons est donc un indicateur clé pour évaluer les effets du changement climatique dans les stations de ski : il représente la fréquence à laquelle les hivers faiblement enneigés (pires conditions susceptibles de se reproduire 1 année sur 5 durant la période de référence 1986-2015) vont se reproduire dans le futur.

Les graphiques représentent la probabilité de retour d'une saison avec un indice de fiabilité de l'enneigement en-dessous de celui défini, sur la période passée, par le Q20. Par exemple, si la fréquence à une certaine date est de 50%, cela signifie qu'à cette date on a 1 probabilité sur 2 de rencontrer les mêmes mauvaises conditions d'enneigement qui, dans le passé, se présentaient 1 année sur 5. Par définition, donc, l'indice de fiabilité décroit quand la fréquence de retour des mauvaises saisons augmente.

2.6.4 Fenêtres de froid

Le potentiel de froid pour la production de neige de culture est calculé à partir des températures humides pour l'altitude la plus basse du domaine skiable. Les graphiques montrent l'évolution de ce potentiel en fonction de la période de la saison (période "avant saison", du 01/11 au 20/12, et période de "confortement", du 21/12 au 31/01) et en fonction de l'intervalle de température considéré (entre -1°C et -4°C, entre -4°C et -6°C et <-6°C). Pour rappel, la courbe Q20 (la plus basse de chaque enveloppe) donne le potentiel de froid des 3 saisons les plus chaudes sur 15 centrées sur l'année considérée : si on dimensionnait une l'installation de neige de culture sur le potentiel de froid du Q20, on fiabiliserait 4 saisons sur 5.

2.6.5 Consommation en eau pour la production de neige de culture

Les volumes de consommation en eau simulés expriment un besoin pour la production de neige en fonction des pratiques actuelles et en fonction de l'évolution des conditions de production. Les simulations ne présument pas de la disponibilité de la ressource : l'eau n'est pas une contrainte et seul le climat a un impact sur l'évolution de la production. Indirectement, l'évolution de la consommation en eau traduit donc également la capacité de production. En effet, l'évolution du climat influe à la fois sur l'accroissement du besoin et sur la dégradation des facteurs de production qui dépendent également du climat (température humide, vent). Ainsi, en fin de siècle, une diminution de la consommation en eau traduit généralement une évolution vers des conditions de production défavorables plutôt qu'une diminution du besoin.

Significations d'un palier :

- hyp 1 : le potentiel froid est constant et le besoin en neige de culture est supérieur ou égal au volume permis par la capacité de production de l'installation,
- hyp 2 : le besoin en neige de culture est constant et le potentiel froid est suffisant pour produire la sous-couche et maintenir les 60 cm.

Signification d'une portion de courbe croissante :

 le besoin en neige de culture augmente et le potentiel froid est suffisant pour augmenter la production.

Signification d'une portion de courbe décroissante :

- hyp 1 : le besoin en neige de culture décroit,
- hyp 2: le besoin est stable ou croissant mais le potentiel froid diminue.

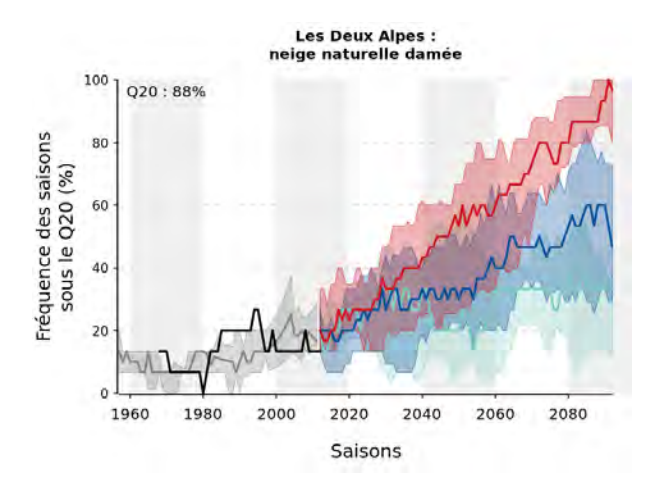


FIGURE 58 – Évolution du taux de retour des mauvaises saisons en neige naturelle damée.

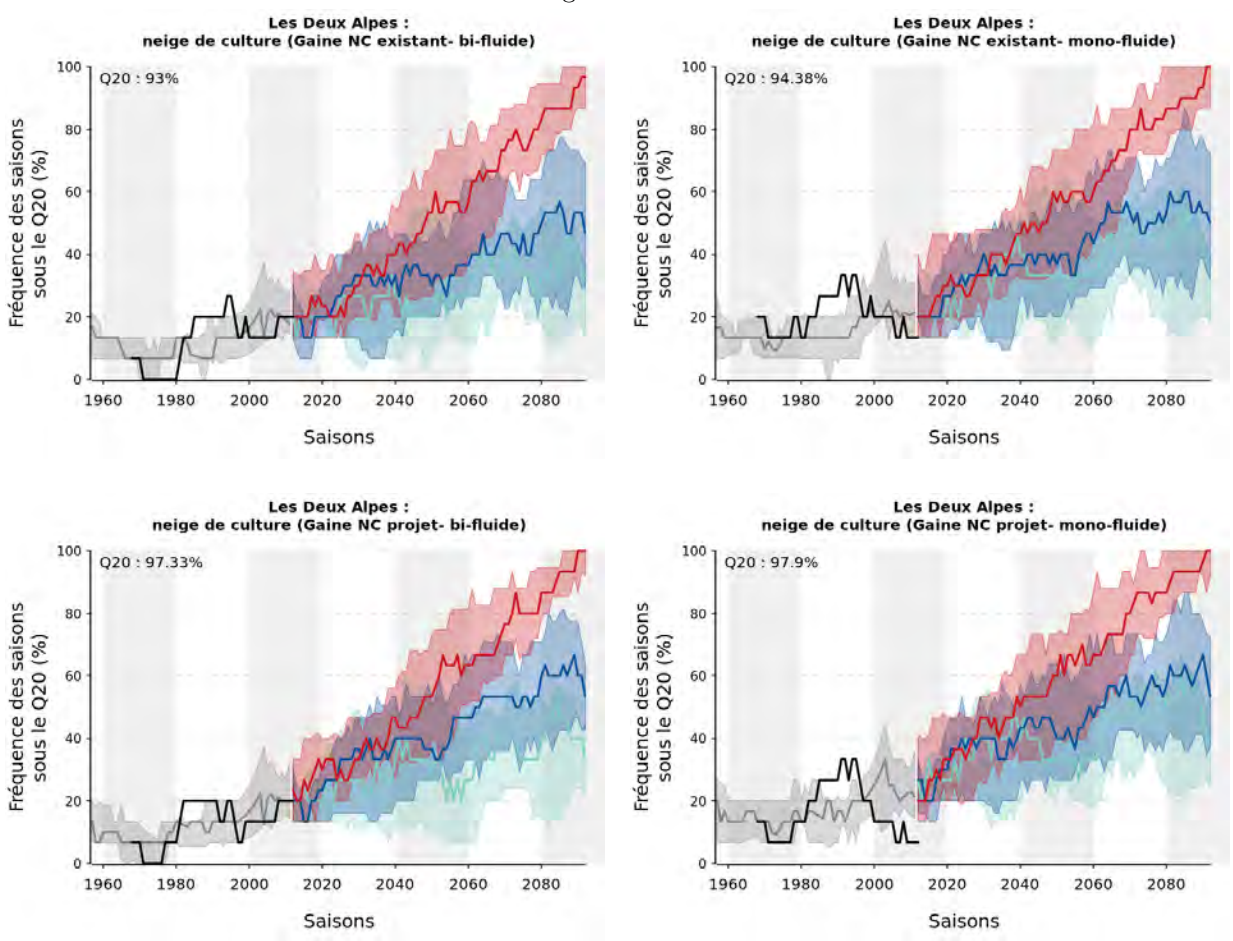


FIGURE 59 – Évolution du taux de retour des mauvaises saisons avec des équipements de type "perches" (à gauche) et "ventilateurs" (à droite). Les graphiques du haut correspondent aux installations actuelles, ceux du bas aux installations prévues dans les prochaines années.

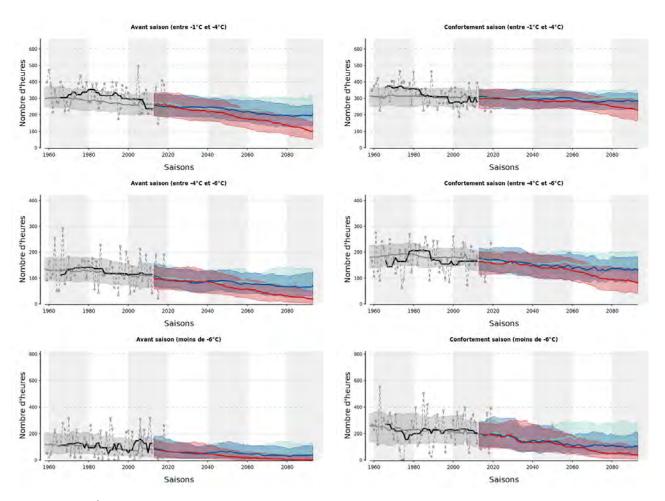


FIGURE 60 – Évolution du potentiel de froid à l'altitude la plus basse du domaine skiable, en fonction de la période de la saison (période "avant saison", du 01/11 au 20/12, et période de "confortement", du 21/12 au 31/01) et en fonction de l'intervalle de température considéré (entre -1°C et -4°C, entre -4°C et -6°C et <-6°C).

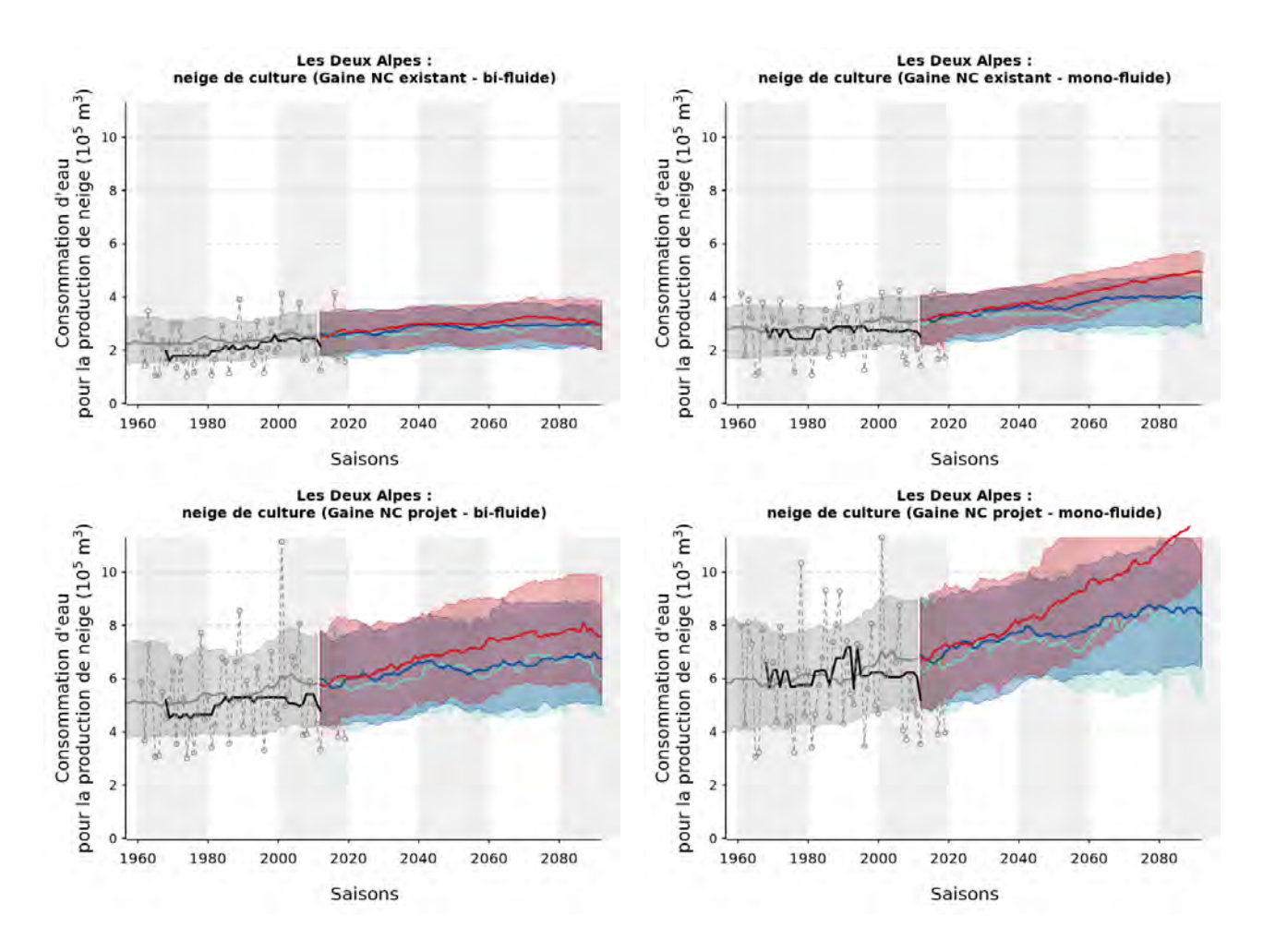


FIGURE 61 – Évolution de la consommation en eau pour la production de neige de culture avec des équipements de type "perches" (à gauche) et "ventilateurs" (à droite). Les graphiques du haut correspondent aux installations actuelles, ceux du bas aux installations prévues dans les prochaines années.

2.6.6 Durée d'enneigement

L'hétérogénéité spatiale des conditions d'enneigement est représentée à l'aide de matrices et de cartes 2D, qui montrent le nombre de jours durant lesquels le niveau d'enneigement dépasse un seuil défini comme la quantité de neige suffisante pour permettre la pratique du ski. Ce seuil est fixé à une quantité de neige équivalente à 20 cm de neige damée, quelle que soit son origine (précipitations naturelles ou production).

Les matrices permettent de comparer le nombre de jours pendant lesquels la pratique du ski sera possible, pour trois altitudes ciblées (bas, milieu et haut du domaine) et en fonction de la période future, du scénario climatique et des équipements installés. Les cartes 2D correspondent quand à elles au scénario RCP8.5 et à des installations existantes et futures de type "perches". Elles permettent de :

- comparer des dates différentes (2020, 2035 et 2050),
- comparer des conditions d'enneigement correspondant à des saisons moyennes (Q50) et à des saisons mauvaises (Q20),
- analyser la façon dont la station va faire face aux effets du changement climatique, si elle garde ses équipements actuels et avec la prise en compte des projets d'aménagement futurs.

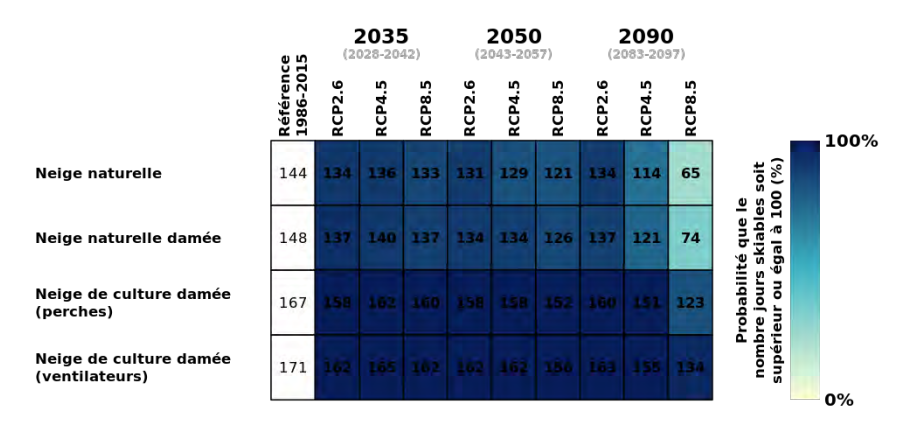
2090 2035 2050 Référence 1986-2015 RCP4.5 100% Probabilité que le nombre jours skiables soit supérieur ou égal à 100 (%) Neige naturelle Neige naturelle damée Neige de culture damée 179 (perches)

Altitude maximum (3521m)

Altitude moyenne (2332m)

0%

Neige de culture damée (ventilateurs)



Altitude minimum (1276m)

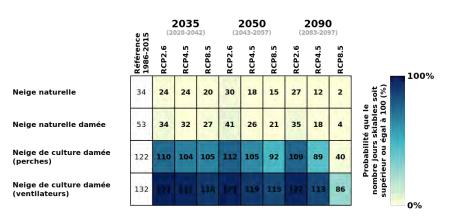


FIGURE 62 – Nombre de jours pendant lesquels la pratique du ski sera possible sur le domaine considéré, pour l'altitude minimum, moyenne et maximum (du bas vers le haut).

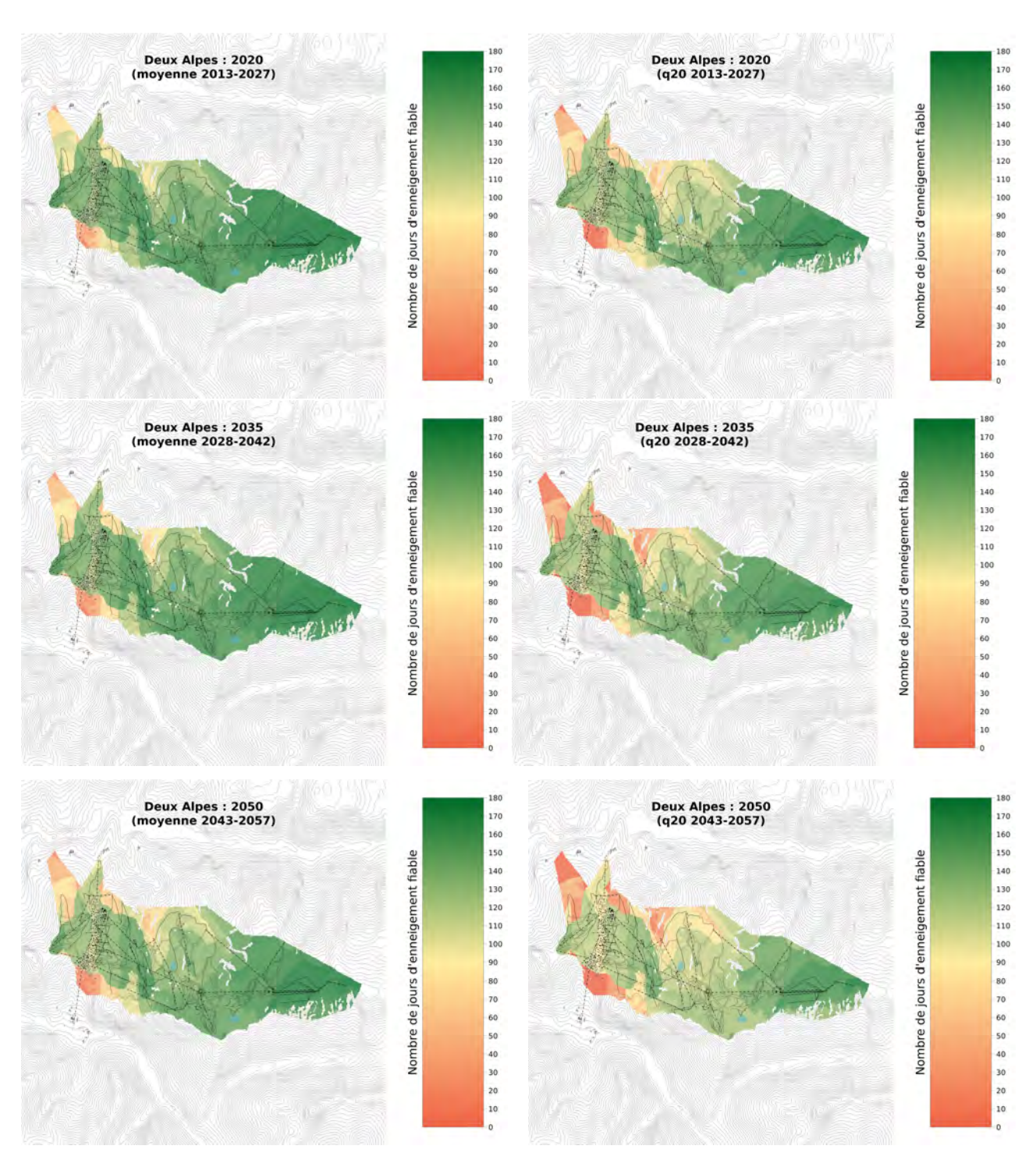


FIGURE 63 – Nombre de jours pendant lesquels la pratique du ski sera possible, en prenant en compte les équipements actuels et en fonction de l'horizon temporel considéré (du haut vers le bas : 2020, 2035, 2050). La colonne de gauche montre les conditions d'enneigement des saisons moyennes (Q50) et celle de droite les conditions d'enneigement des saisons mauvaises (Q20).

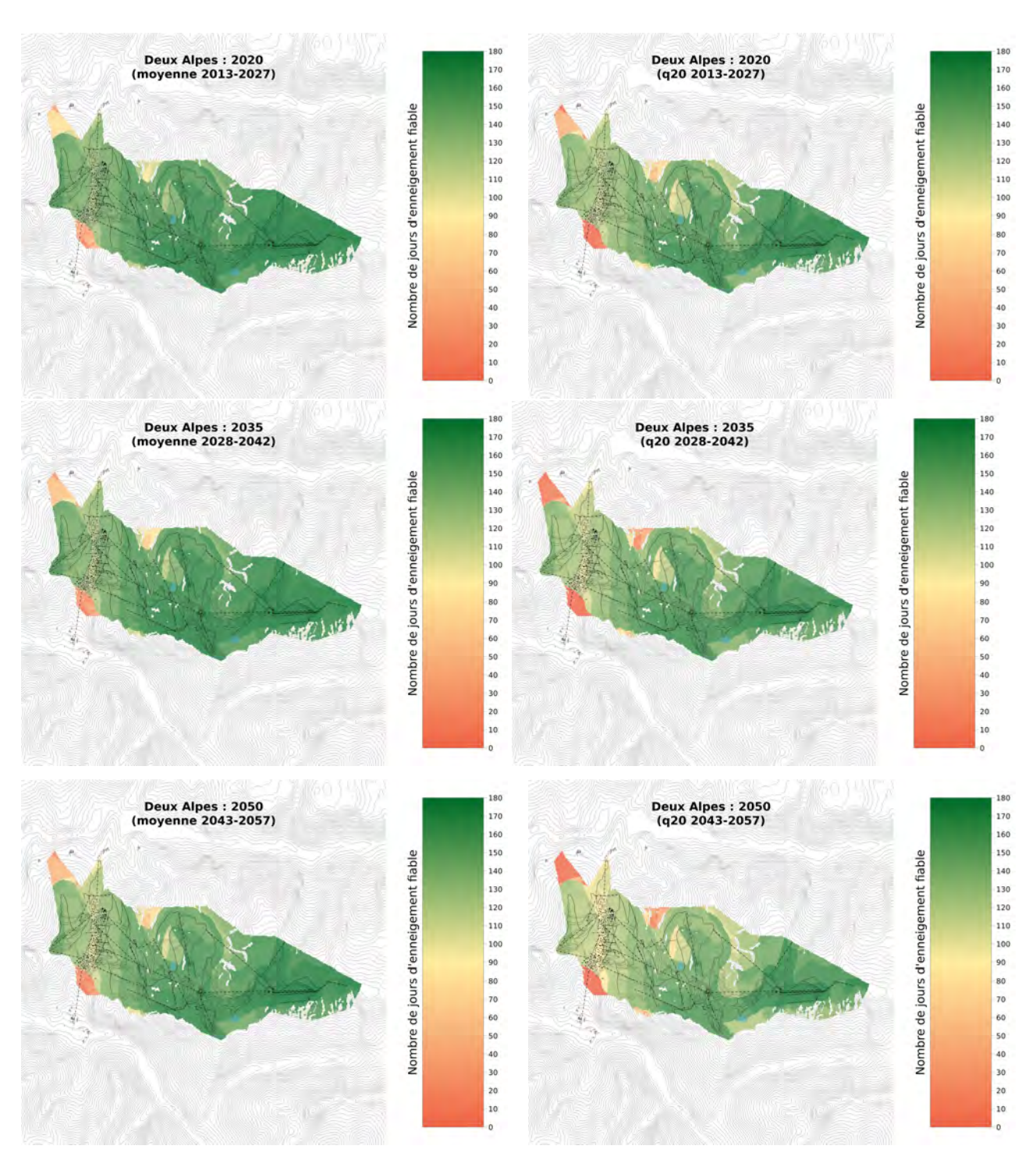


FIGURE 64 – Nombre de jours pendant lesquels la pratique du ski sera possible, en prenant en compte les projets d'aménagement futurs et en fonction de l'horizon temporel considéré (du haut vers le bas : 2020, 2035, 2050). La colonne de gauche montre les conditions d'enneigement des saisons moyennes (Q50) et celle de droite les conditions d'enneigement des saisons mauvaises (Q20).

2.6.7 Analyse

Aujourd'hui, la station des Deux Alpes dispose d'un équipement de neige de culture déployé sur deux versants diamétralement opposés (axe est-ouest), jusqu'à une altitude de 2100 m environ. 85 ha sont actuellement équipés (23% des surfaces), avec une capacité de stockage d'eau de 200.000 m³ et une production totale entre 200 et 250.000 m³.

En termes de perspectives d'évolution des équipements en neige de culture, une extension significative du réseau est prévue dans les prochaines années. Cette extension devrait inclure le sommet du secteur du Diable, les secteurs Toura, Fée et Tête Moute (Bellecombe), les pistes sous le 2ème tronçon du Jandri, la piste du Signal et le glacier entre 3200 m et 3400 m. Pour alimenter ce nouveau réseau, un projet de retenue de 300.000 m³ est à l'étude (Lac de la Mura, situé à 2800 m d'altitude).

Station	Surfaces des pistes (ha)	Surfaces des pistes équipées (ha)			
	Surfaces des pistes (na)	Existant	Projet		
Les Deux Alpes	363	85 (23%)	248 (68%)		

Table 1 – Surfaces des pistes équipées en neige de culture.

L'étude ClimSnow permet d'analyser la viabilité de ces projets d'aménagement face aux effets du changement climatique sur les conditions météorologiques et l'enneigement futur de la station.

- En ce qui concerne les volumes d'eau à consommer, l'extension du réseau neige nécessitera une production supplémentaire d'au moins 300.000 m³. De plus, d'après les modèles et en considérant des installations de type "perches", la consommation globale devra augmenter d'environ 15% entre 2020 et 2050, afin de compenser le manque progressif de neige naturelle. En parallèle, les modèles montrent que les conditions d'exploitation (températures humides et vitesses de vent) permettront, jusqu'à au moins l'horizon 2050, de faire fonctionner les installations, et ce même en considérant le scénario d'émissions de gaz à effet de serre le plus pessimiste. Ceci est d'autant plus vrai lorsqu'on prend en compte des installations de type "ventilateurs", qui ont un taux de production et des températures de démarrage plus élevés.
- En ce qui concerne les surfaces des pistes qui resteront viables et les jours d'enneigement pendant lesquels la pratique du ski sera possible, le tableau ci-après montre les différences entre les domaines au sein de la station. La valeur ajoutée liée à la production de neige de culture est assez évidente en termes de durée d'exploitation, surtout pour les domaines situés aux altitudes les plus basses.
- En ce qui concerne les différences entre les domaines, les cartes 3D ci-après permettent d'identifier la variabilité spatiale et temporelle dans les conditions d'enneigement, avec la prise en compte des projets d'aménagement futurs et en se focalisant sur des saisons moyennes et des saisons mauvaises.

La conclusion de l'étude est claire : dans les prochaines années, afin de sécuriser les pistes face à la baisse de l'enneigement naturel et de réaliser l'extension du réseau de neige de culture, il sera nécessaire d'augmenter la consommation en eau. Les évolutions des variables atmosphériques permettront de supporter cette augmentation de consommation dans les prochaines décennies, raison pour laquelle le projet d'une nouvelle retenue d'altitude et l'extension du réseau neige apparaissent viables du point de vue climatique. Aux altitudes les plus basses, la couverture nivale se fragilisera plus rapidement (voir tableau ci-après), ce qui suggère d'anticiper les investissements en déportant la capacité d'accueil en altitude et en soulageant progressivement la fréquentation des secteurs bas. Ces derniers devront pouvoir être ouverts pendant le cœur de la saison d'hiver, mais avec une agilité d'ouverture en fonction des conditions nivo-météorologiques du moment.

	Indice de fiabilité de l'enneigement en %			Jours d'enneigement fiables		
Domaine (alti min)	(RCP8.5 - Q20 - Perches - Existant)			(RCP8.5 - Neige nat. damée/Perches)		
	1986-2015	2028-2042	2043-2057	1986-2015	2028-2042	2043-2057
BAS-DES-PISTES (1637 m)	91	79	78	93/142	64/128	56/118
CRETES-TOURA-FEE (1701 m)	97	89	86	99/145	71/132	36/122
DIABLE (2132 m)	93	89	86	139/163	121/154	110/145
GLACIER (2804 m)	100	100	99	167/175	158/170	150/166
VALLEE-BLANCHE (1276 m)	90	75	70	53/122	27/105	21/92
LES-DEUX-ALPES (1276 m)	93	89	86	53/122	27/105	21/92

 ${\it TABLE~2-Indices}~de~fiabilit\'e~de~l'enneigement~et~jours~d'enneigement~fiables~\`a~l'altitude~la~plus~basse, calculés pour chaque domaine.$

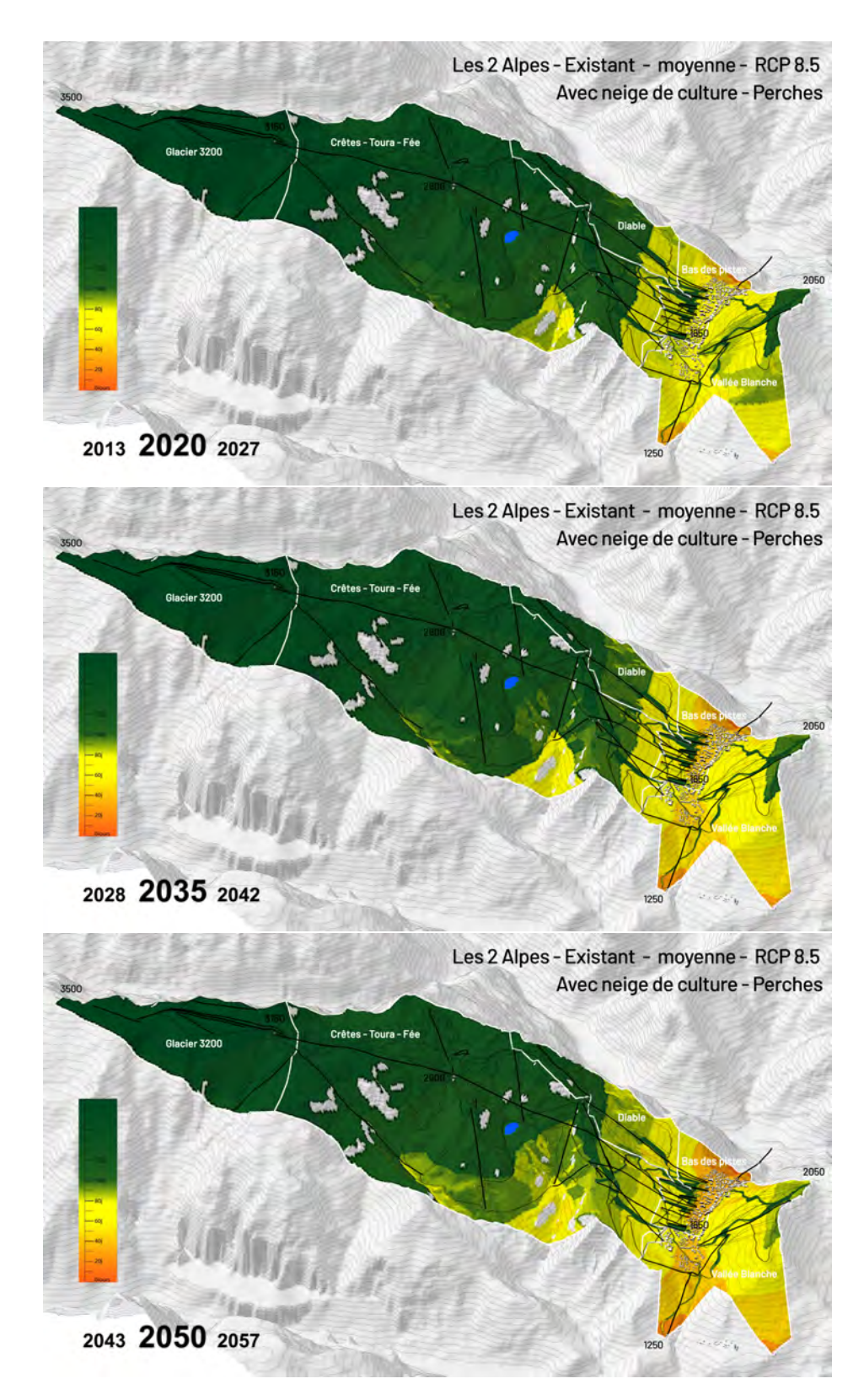


FIGURE 65 – Durées d'enneigement pour des saisons moyennes (état existant).

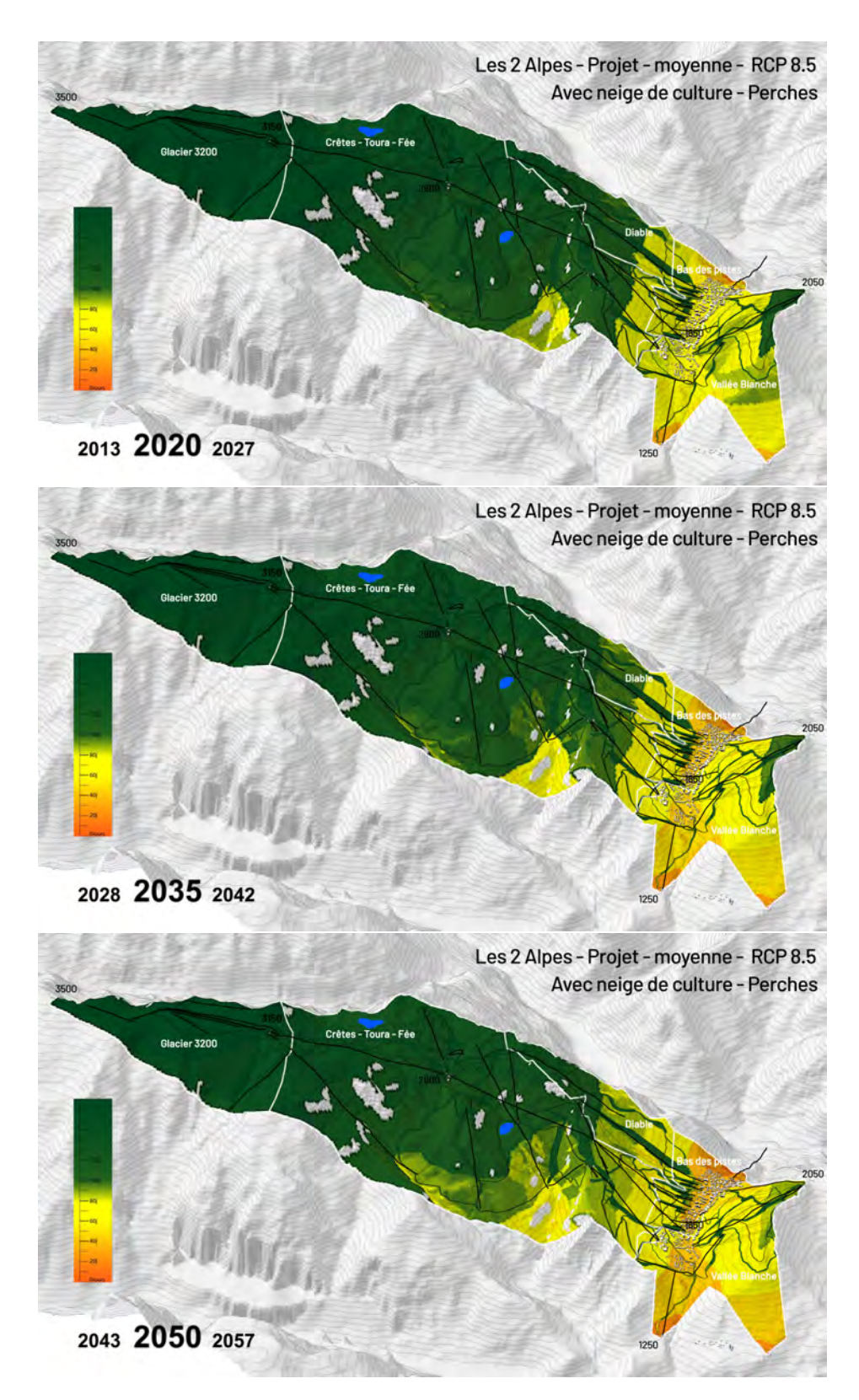


FIGURE 66 – Durées d'enneigement pour des saisons moyennes (avec projets).

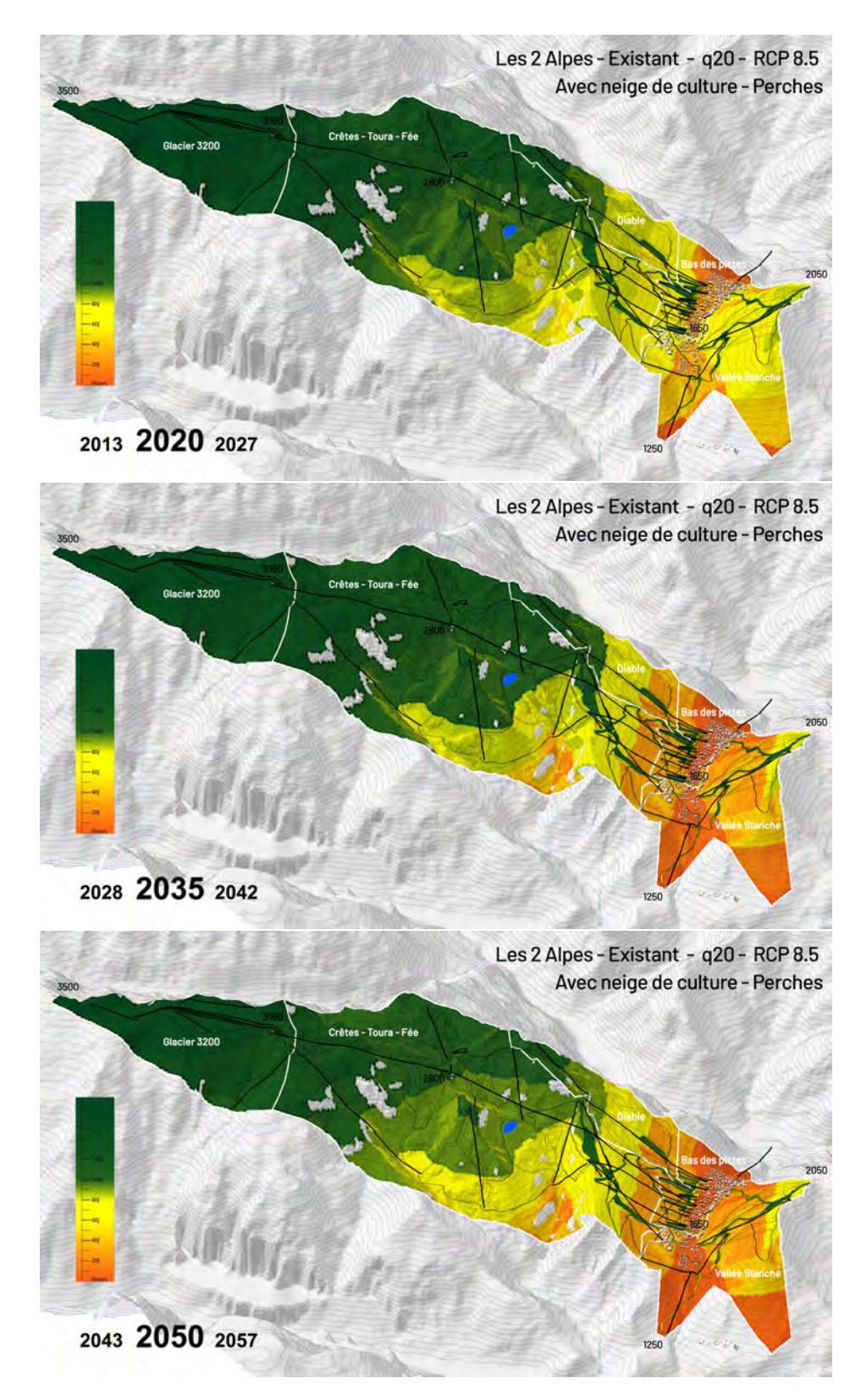


FIGURE 67 – Durées d'enneigement pour des saisons mauvaises (état existant).

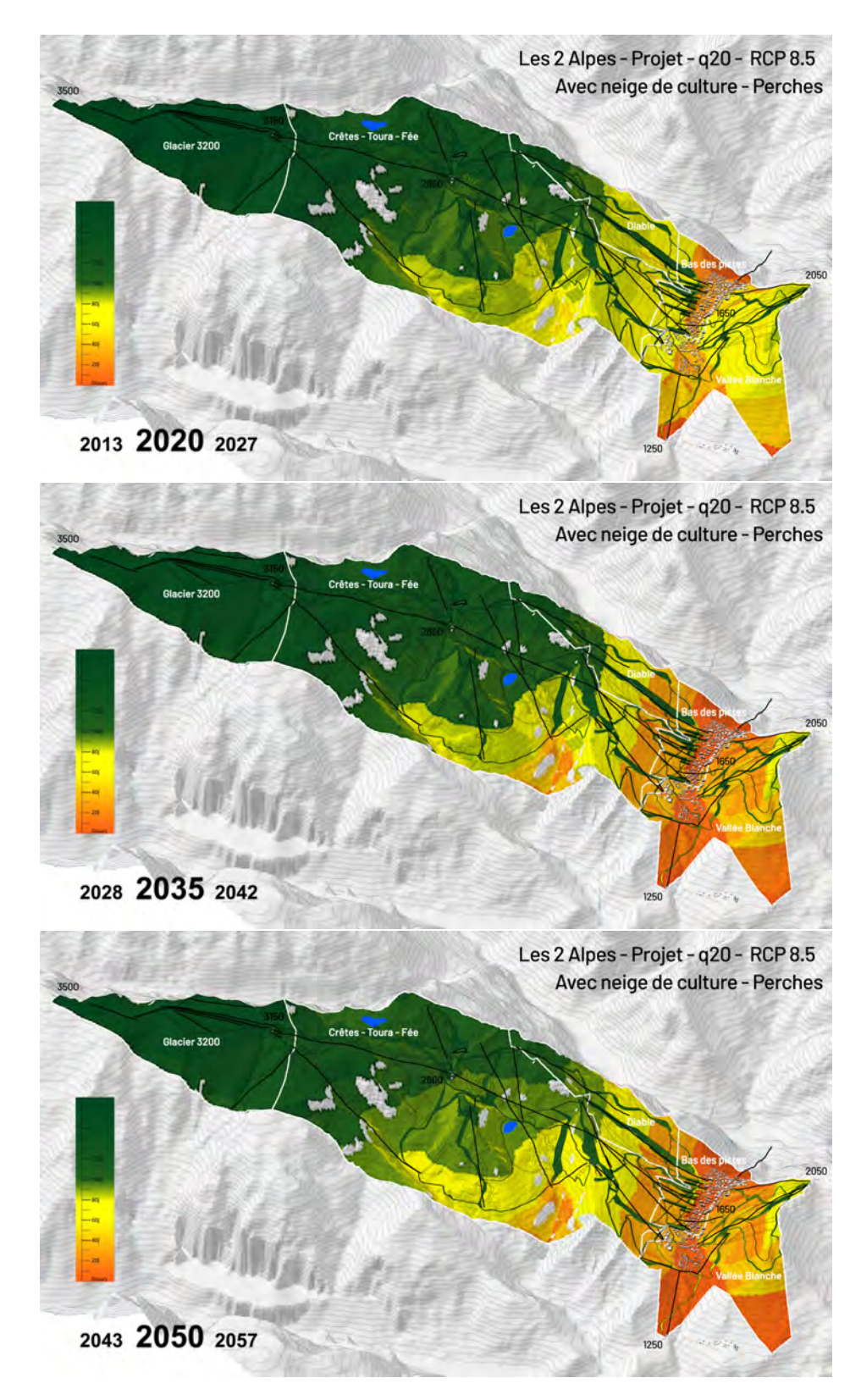


FIGURE 68 – Durées d'enneigement pour des saisons mauvaises (avec projets).